

136716

T.C.
NIĞDE ÜNİVERSİTESİ
FEN BİLİMLERİ ENSTİTÜSÜ
FİZİK ANABİLİM DALI

SAYDAM ORGANİK ALAŞIMLARIN DOĞRUSAL KATILAŞTIRILMASI
VE MİKROYAPI PARAMETRELERİNİN KATILAŞTIRMA PARAMETRELERİNE
BAĞLI OLARAK İNCELENMESİ

ERKAN ÜSTÜN

YÜKSEK LİSANS TEZİ

136716
T.C. YÜKSEK ÖĞRETİM KURULU
DOKUMANTASYON BÖLÜĞÜ

DANIŞMAN: Yrd. Doç. Dr. EMİN ÇADIRLI

ŞUBAT 2003

Fen Bilimleri Enstitüsü Müdürlüğüne;

Bu çalışma jürimiz tarafından FİZİK ANABİLİM DALI'nda YÜKSEK LİSANS TEZİ olarak kabul edilmiştir.

Başkan: Doç. Dr. Mahmut Dursun MAT

Üye: Yrd. Doç. Dr. Emin ÇADIRLI (Danışman)

Üye: Yrd. Doç. Dr. Hasan KAYA

ONAY:

Bu tez, 20./02/2003 tarihinde, Fen Bilimleri Enstitüsü Yönetim Kurulunca belirlenmiş olan juri üyeleri tarafından uygun görülmüş ve Enstitü Yönetim Kurulu' nun kararıyla kabul edilmiştir.

26./02/2003

Doç. Dr. Aydin TOPÇU

Fen Bilimleri Enstitüsü Müdürü

ÖZET

SAYDAM ORGANİK ALAŞIMLARIN DOĞRUSAL KATILAŞTIRILMASI VE MİKROYAPI PARAMETRELERİNİN KATILAŞTIRMA PARAMETRELERİNE BAĞLI OLARAK İNCELENMESİ

ÜSTÜN, Erkan

Niğde Üniversitesi
Fen Bilimleri Enstitüsü
Fizik Anabilim Dalı

Danışman : Yrd. Doç. Dr. Emin ÇADIRLI

Şubat 2003, 104 Sayfa

Bu çalışmanın amacı Succinonitrile-%3,61 ağ. Asetone ve Succinonitrile-%2 ağ. Camphor ikili organik alaşımı için katılıştırma parametreleri (G, V) ile mikroyapı parametreleri (λ_1 , λ_2 , R, d) arasında nasıl bir ilişki olduğunu araştırmaktır. İlk olarak Succinonitrile-%3,61 ağ. Asetone alaşımı deneysel düzenek için hazırlandı. Daha sonra bu alaşım sistemi yatay doğrusal katılıştırma deney sisteminde sabit büyütme hızında farklı sıcaklık gradyentlerinde ve sabit sıcaklık gradyentinde farklı büyütme hızlarında tek yönlü doğrusal olarak katılıştırları.

Katılmaştırmaya esnasında katılışma yapıları (dendrit yapıları), dijital kamera (LG-Honeywell CCD) donanumuna sahip optik mikroskop üzerine monte edilen yatay doğrusal katılıştırma sistemi vasıtasiyla fotoğrafları kaydedildi. Elde edilen fotoğraflardan bilgisayar yardımı ile $\lambda_{l_{max}}$, $\lambda_{l_{min}}$, $\lambda_{l_{ort}}$, λ_2 , R ve d ölçümleri yapıldı ve böylece mikroyapı parametrelerinin katılıştırma hızı ve sıcaklık gradyenti ile değişimi incelendi. İlgili bağıntılar Lineer regresyon analizi ile elde edildi.

Benzer olarak, Succinonitrile-%3,61 ağ. Aseton alaşımı için yapılan bu deneysel çalışmalar Succinonitrile-% 2 ağ. Camphor alaşımı içinde uygulandı. Bu çalışmada elde edilen bağıntılar artan sıcaklık gradyenti ve büyütme hızına göre mikroyapı parametrelerinin (λ_1 , λ_2 , R ve d) azaldığını göstermektedir. Elde edilen bu sonuçlar diğer deneysel sonuçlar, mevcut teoriler ve modellerle karşılaştırılmıştır. Sonuç olarak bu çalışmada elde edilen sonuçlar hem literatür hem de mevcut teorilerle uyum içindedir.

Anahtar Sözcükler: Doğrusal katılıştırma, Birincil dendrit kol mesafesi, İkincil dendrit kol mesafesi, Dendrit uç yarıçapı, Yumuşak bölge derinliği.

SUMMARY

DIRECTIONAL SOLIDIFICATION OF THE TRANSPARENT ORGANIC ALLOYS INVESTIGATION AND THE MICROSTRUCTURE PARAMETERS DEPENDING ON THE SOLIDIFICATION PARAMETERS.

ÜSTÜN, Erkan

Nigde University
The Institute of Science and Engineering
Department of Physics

Supervisor : Yrd. Doç. Dr. Emin ÇADIRLI

February 2003, 104 Pages

The aim of this work was seeking a relationship between solidification parameters (G , V) and microstructure parameters (λ_1 , λ_2 , R and d) for the binary organic alloys of Succinonitrile-3.61wt.% Acetone and Succinonitrile-2wt.% Comphor systems. Firstly, Succinonitrile-3.61wt.% Acetone alloys prepared for the experimental setup. Then it was unidirectionally solidified in a constant growth rate at different temperature gradient and in a constant temperature gradient at different growth rates in the horizontal directional solidification system.

During the solidification, photographs of solidification structures were recorded due to horizontal directional solidification system which was assembled on optical microscope which with a digital camera (LG-Honeywell CCD). $\lambda_{1\max}$, $\lambda_{1\min}$, $\lambda_{1\text{ort}}$, λ_2 , R and d measured from observed photographs with computer and so the variation of microstructure parameters with the solidification rate and the temperature gradient were investigated. The relationships between them were obtained by linear regression analysis.

Similar, experiments were carried out for Succinonitrile-2wt.% Comphor alloy. The obtained relationships showed that the values of λ_1 , λ_2 , R and d decreases as the values of G and V increase. The results compared with the other experimental works, the current theories and models. As a result, our results are in good agreement with both literature and current theories.

Keywords: Directional solidification, Primary dendrite arm spacing, Secondary dendrite arm spacing, Dendrite tip radius, Mushy zone depth.

TEŞEKKÜR

Bana bu tez çalışmasını veren, çalışmalarım boyunca yol gösteren, yakın ilgi ve yardımlarını esirgemeyen sayın hocam Yrd. Doç. Dr. Emin ÇADIRLI' ya en içten teşekkürlerimi sunarım. Ayrıca çalışmalarım süresince yardımlarını esirgemeyen Yrd. Doç. Dr. Hasan KAYA' ya teşekkür ederim.

Hayatım boyunca her zaman bana maddi ve manevi yönden destek olan aileme ve çalışmalarım boyunca her konuda yardımcı olan arkadaşım Keziban' a en içten teşekkürlerimi sunarım.

İÇİNDEKİLER

ÖZET	iii
SUMMARY	iv
TEŞEKKÜR.....	v
İÇİNDEKİLER.....	vi
TABLOLAR DİZİNİ.....	x
ŞEKİLLER DİZİNİ	xii
SİMGİ VE KISALTMALAR	xv
BÖLÜM 1. TEMEL KAVRAMLAR.....	1
1.1. Giriş.....	1
1.2. Faz Dönüşümleri.....	1
1.3. Aşırı Soğumalar.....	3
1.3.1. Çözünen yayınımdan ileri gelen aşırı soğuma.....	3
1.3.2. Eğrilik yarıçapından ileri gelen aşırı soğuma.....	4
1.3.3. Kinetik aşırı soğuma	5
1.3.4. Yapısal aşırı soğuma	5
1.4. Çekirdeklenme.....	8
1.4.1. Homojen çekirdeklenme	9
1.4.2. Heterojen çekirdeklenme.....	10
1.5. Katılıştırma	11
1.6. Doğrusal Katılıştırma	12
1.6.1. Saf metallerin katılıştırılması	14
1.6.2. Alaşımların katılıştırılması	15
1.6.2.1. Alaşımların düzlemsel cephede katılıştırılması	16
1.6.2.2. Hücresel katılıştırma.....	17
1.6.2.3. Dendritik katılıştırma.....	19
1.7. Sonuç.....	24

BÖLÜM 2. DENDRİTİK KATILAŞTIRMA İLE İLGİLİ LİTERATÜR ARAŞTIRMASI..

2.1. Giriş	25
2.2. Ivantsov Modeli.....	25
2.3. Kılcallık Etkisi (Modife Edilmiş Ivantsov Modeli).....	27
2.4. Birincil Dendrit Kol Mesafesi İçin Teorik Modeller.....	28
2.4.1. Hunt modeli (Minimum dendrit ucu aşırı soğması kriteri)	28
2.4.2. Kurz-Fisher modeli (Marjinal kararlılık kriteri).....	29
2.4.3. Trivedi modeli	29
2.4.4. Hunt-Lu modeli	30
2.5. İkincil Dendrit Kol Mesafesi İçin Yaklaşımlar	30
2.6. Dendrit Uç Yarıçapı (R) İçin Teorik Modeller	30
2.7. Yumuşak Bölge Derinliği (d) İçin Varsayımlar	31
2.8. Kararlılık Analizi (Marjinal Kararlılık Kriteri)	32
2.9. Literatür Taraması.....	34
2.9.1. Birincil dendrit kollar arası mesafeleri ile ilgili çalışmalar.....	35
2.9.2. İkincil dendrit kollar arası mesafeleri ile ilgili çalışmalar	36
2.9.3. Dendrit uç yarıçapı ile ilgili çalışmalar.....	37
2.9.4. Yumuşak bölge derinliği ile ilgili çalışmalar	38
2.9.5. λ_2/R oranının teorik değeri ve bazı deneysel çalışmalar.....	38
2.9.6. σ^* değerinin teorik değeri ve bazı deneysel çalışmalar.....	39
2.10. Sonuç.....	39
BÖLÜM 3. DENEY SİSTEMİ VE DENEYSEL ÇALIŞMA	40
3.1. Giriş.....	40
3.2. İkili Organik Alaşım Seçimi.....	40
3.3. Sıcaklık Gradyenti Sistemi.....	41
3.3.1. Isıtıcı sistem.....	41
3.3.2. Soğutucu sistem.....	43
3.3.3. Numune tutucu ve sürücü sistem.....	44
3.4. Termokupl (Termal Çiftler)' lar ve Kullanılışı	46
3.5. Sıcaklık Dağılımı	48
3.6. Numune Hazırlama	49
3.6.1. İkili organik alaşımın hazırlanması.....	49
3.6.2. Numune kalibinin hazırlanması.....	50

3.6.3. Numune kalibinin doldurulması	51
3.7. Deney Sisteminin Kuruluşu ve Deneyin Yapılışı.....	53
3.7.1. Succinonitrile-%3.61 ağ. Aseton alaşımının doğrusal katılaştırma deneyinin yapılması	56
3.7.2. Succinonitrile-%2 ağ. Camphor alaşımının doğrusal katılaştırma deneyinin yapılması	57
3.8. Katılaştırma ve Mikroyapı Parametrelerinin Ölçümü	57
3.8.1. Katılaştırma parametrelerinin ölçümü	57
3.8.1.1. Sıcaklık gradyentinin ölçümü	57
3.8.1.2. Katılaşma hızının ölçümü.....	58
3.8.2. Mikroyapı parametrelerinin ölçülmesi.....	58
3.8.2.1. Birincil dendrit kolları arası mesafe ve ölçümü.....	59
3.8.2.2. İkincil dendrit kolları arası mesafe ve ölçümü	60
3.8.2.3. Dendrit uç yarıçapı ve ölçümü.....	61
3.8.2.4. Yumuşak bölge derinliği ve ölçümü	61
3.9. Hesaplamalar	62
BÖLÜM 4. SONUÇLAR VE HESAPLAMALAR	63
4.1. Giriş.....	63
4.2. Succinonitrile-%3.61 ağ. Aseton için ölçülen mikroyapı parametreleri ve değerlendirilmesi	63
4.3. Succinonitrile-%2 ağ. Camphor için ölçülen mikroyapı parametreleri ve değerlendirilmesi	72
4.4. Sonuç.....	79
BÖLÜM 5. TARTIŞMA VE YORUM	81
5.1. Giriş.....	81
5.2. Elde Edilen Sonuçların Literatürdeki Sonuçlarla Karşılaştırılması.....	81
5.2.1. Birincil dendrit kol mesafeleri ile karşılaştırmalar	82
5.2.2. İkincil dendrit kol mesafeleri ile karşılaştırmalar	82
5.2.3. Dendrit uç yarıçapı ile karşılaştırmalar	83
5.2.4. Yumuşak bölge derinliği ile ilgili karşılaştırmalar	83
5.3. Teorik Modellerle Deneysel Sonuçların Karşılaştırılması	85
5.3.1. Birincil dendrit kol mesafelerinin teorik modellerle karşılaştırılması	85

5.3.2. İkincil dendrit kol mesafeleri ile Trivedi-Somboonsuk yaklaşımının karşılaştırılması.....	86 .
5.3.3. Dendrit uç yarıçapının teorik modellerle karşılaştırılması.....	87
5.3.4. Yumuşak bölge derinliğinin yapısal aşırı soğuma kriteri ile karşılaştırılması.....	88
5.4. Farklı Malzeme ve Alaşım Sistemleri İçin Oran ve Sabitlerin Karşılaştırılması	88
5.5. Sonuçlar	92
KAYNAKLAR.....	95
EK.1.....	101



TABLOLAR DİZİNİ

<u>Tablo No</u>	<u>Tablo Üst Yazısı</u>	<u>Sayfa</u>
Tablo 3.1.	$\times 2.5$, $\times 5$, $\times 10$ ve $\times 20'$ lik objektiflerle yatay ve dikey eksende çekilen gratiküla fotoğraflardan ölçülen değerler ile gerçek değerlerinin karşılaştırılmasından hesaplanan büyütme faktörleri (CCD kamera için)	56
Tablo 4.1a.	Succinonitrile-%3.61 ağ. Aseton organik alaşımı için sabit katılıştırma hızında farklı sıcaklık gradyentlerinde oluşan dendritlerden ölçülen mikroyapı parametrelerinin değerleri ve mikroyapı parametrelerinin katılıştırma parametrelerine göre üstel bağıntıları.....	69
Tablo 4.1b.	Succinonitrile-%3.61 ağ. Aseton organik alaşımı için sabit sıcaklık gradyentinde farklı katılıştırma hızlarında oluşan dendritlerden ölçülen mikroyapı parametrelerinin değerleri ve mikroyapı parametrelerinin katılıştırma parametrelerine göre üstel bağıntıları.....	70
Tablo 4.2a.	Succinonitrile-%3.61 ağ. Aseton alaşımında artan sıcaklık gradyenti G' ye karşılık gelen λ_1/λ_2 , R^2V , λ_2/R ve $\lambda_{1(\text{Max})}/\lambda_{1(\text{Min})}$ oranlarının değerleri	71
Tablo 4.2b.	Succinonitrile-%3.61 ağ. Aseton alaşımında artan katılıştırma hızı V' ye karşılık gelen λ_1/λ_2 , R^2V , λ_2/R ve $\lambda_{1(\text{Max})}/\lambda_{1(\text{Min})}$ oranlarının değerleri	71
Tablo 4.3a.	Succinonitrile-%2 ağ. Camphor organik alaşımı için sabit katılıştırma hızında farklı sıcaklık gradyentlerinde oluşan dendritlerden ölçülen mikroyapı parametrelerinin değerleri ve mikroyapı parametrelerinin katılıştırma parametrelerine göre üstel bağıntıları.....	76
Tablo 4.3b.	Succinonitrile-%2 ağ. Camphor organik alaşımı için sabit sıcaklık gradyentinde farklı katılıştırma hızlarında oluşan dendritlerden ölçülen mikroyapı parametrelerinin değerleri ve mikroyapı parametrelerinin katılıştırma parametrelerine göre üstel bağıntıları.....	77
Tablo 4.4a.	Succinonitrile-%2 ağ. Camphor alaşımında artan sıcaklık gradyenti G' ye karşılık gelen λ_1/λ_2 , R^2V , λ_2/R ve $\lambda_{1(\text{Max})}/\lambda_{1(\text{Min})}$ oranlarının değerleri	78

Tablo 4.4b. Succinonitrile-%2 ağ. Camphor alaşımında artan katılıştırma hızı V' ye karşılık gelen λ_1/λ_2 , R^2V , λ_2/R ve $\lambda_{1(\text{Max})}/\lambda_{1(\text{Min})}$ oranlarının değerleri	78
Tablo 5.1 Bu çalışma için mikroyapı parametrelerinin katılıştırma hızı ve sıcaklık gradyentine göre üstel bağıntıları	82
Tablo 5.2 Farklı malzeme ve alaşım sistemlerinde mikroyapı parametrelerinin, katılmaştırmaya hızı ve sıcaklık gradyentine göre değişimini inceleyen deneysel çalışmaların sonuçları	84
Tablo 5.3. Farklı malzeme ve alaşım sistemleri için elde edilmiş orantı ve sabitleri a) λ_2/R oran sabitleri b) VR^2 sabit değerleri c) σ^* kararlılık sabiti değerleri	89-90

ŞEKİLLER DİZİNİ

<u>Sekil No</u>	<u>Sekil Alt Yazısı</u>	<u>Sayfa</u>
Şekil 1.1.	Çözünen alt soğumasına neden olan faktörlerin şematik gösterimi	4
Şekil 1.2.	Alaşım katılaştırılmasında yapısal aşırı soğuma a) Sıvı-katı arayüzeyinin önündeki çözünence zengin tabaka b) Faz diyagramı c) Kararlı arayüzey d) Kararsız arayüzey	6-7
Şekil 1.3.	$\Delta G'$ nin r' ye bağlı olarak değişimi (Verhoeven, 1975).....	9
Şekil 1.4.	Küre kabuğu biçimli çekirdeğin şematik gösterimi (Elliot, 1983).....	10
Şekil 1.5.	Katı ve sıvı fazların serbest enerjilerinin sıcaklıkla değişimi (Robert, 1965)	12
Şekil 1.6.	Doğrusal katılıştırma (Billia ve Trivedi, 1993)	12
Şekil 1.7.	V hızı G sıcaklık gradyentine maruz kalan başlangıç C_0 çözünen konsantrasyonundaki eriyiğin doğrusal katılıştırma şekli (Billia ve Trivedi, 1993)	13
Şekil 1.8.	Saf bir metal için sıcaklık ile molar serbest enerjinin değişimi (Elliott, 1983)	15
Şekil 1.9.	Eşeksenli dendritik tane yapısı	15
Şekil 1.10.	Düzlemsel arayüzey	16
Şekil 1.11.	Düzlemsel katılışmadan hücresel katılışmaya geçiş (Porter ve Easterling, 1984)	17
Şekil 1.12.	Kararlı hücresel katılışma yapısına geçiş	18
Şekil 1.13.	Hücresel katılışma ile ilgili sıcaklık ve çözünen dağılımı (Porter ve Easterling, 1984)	19
Şekil 1.14.	Katılışma hızı artarken hücresel arayüzey yapısının dendritik yapıya geçisi, $V_a < V_b < V_c < V_d$ a) Düşük hızlarda büyuyen düzgün hücre, b) $<100>$ dendritik yönelimde büyuyen hücresel-dendritik yapı, c) Köşeli hücre yapısı, d) Yana doğru ikincil kolların başlangıcını gösteren dendrit (Flemings, 1974).	20
Şekil 1.15.	Dendritik katılışma yapısı	20
Şekil 1.16.	Bir kalıp içinde dendritik katılışma modeli (Hughel ve Bolling, 1971)...	21
Şekil 1.17.	Katılışma hızının, $G=3 \text{ K/mm}^2$ de doğrusal katılıştırılan Pivalik asit-Etanol sisteminde oluşan hücresel, hücresel-dendritik ve dendritik yapılara etkisi (Trivedi, 1990)	22
Şekil 1.18.	Yapısal aşırı soğumaya bağlı olarak katılışma biçimlerinin değişimi (Edwards ve Endean, 1990)	23
Şekil 1.19.	a) Dendritik yapı parametreleri olan (λ_1 , λ_2 , d) gösterimi	24
Şekil 1.19.	b) Dendritik yapı parametresi olan dendrit uç yarıçapının (R) gösterimi..	24
Şekil 2.1.	R uç yarıçapında ve V sabit hızla z yönünde büyuyen İvantsov' un parabolik dendrit şekli (Esaka ve Kurz, 1985)	26

Şekil 2.2.	Lineer kararlılık analizinden beklenen dendrit uç yarıçapının fonksiyonu olarak dendrit uç aşırı soğumasında kararlı ve kararsız bölgeler (Langer ve Müller-Krumbhaar, 1977).....	32
Şekil 3.1.	Isıtıcı bloğu oluşturan parçaların şekilleri a) Üst ve alt ısıtıcı tel yatağı b) Isıtıcı yan duvar tutucu (sağ) c) Isıtıcı yan duvar tutucu (sol) d) Isıtıcı blok.....	42
Şekil 3.2.	a) Soğutucu yan duvar tutucu (sağ) b) Soğutucu yan duvar tutucu (sol) c) Soğutucu blok diyagramı.....	44
Şekil 3.3.	Numune tutucu sisteminin şematik gösterimi.....	45
Şekil 3.4.	a) Sıcaklık gradyenti sisteminin şematik görünüsü..... b) Sıcaklık gradyenti sisteminin fotoğrafı	46
Şekil 3.5.	Termal çiftleri sıfır noktasına (Cold junction) sabitlemek için kullanılan termos	47
Şekil 3.6.	Beş termal çiftli numune kalibinin numune ile dolmuş hali.....	48
Şekil 3.7.	Numune sıcaklık dağılım grafiği.....	49
Şekil 3.8.	Numune kalibinin hazırlanma safhaları.....	52
Şekil 3.9.	a) Deney düzeneğinin şematik diyagramı..... b) Deney düzeneğinin fotoğrafı	53
Şekil 3.10.	Gerçekte daire şeklinde olan alümina borunun görüntü analiz sistemiyle çekilen fotoğrafı	54
Şekil 3.11.	5'lik objektif için, X ve Y doğrultularındaki büyütme faktörünün hesabında kullanılan gratikulanın fotoğrafları.....	55
Şekil 3.12.	Dendrit yok olması ve dendrit uç yarılmaması.....	59
Şekil 3.13.	İkincil koldan üçüncü kol oluşması.....	59
Şekil 3.14.	Birincil dendrit kolları arası mesafenin ölçümlü a) Şematik b) Organik malzemedeki görüntüsü	60
Şekil 3.15.	İkincil dendrit kolları arası mesafenin ölçümlü a) Şematik b) Organik malzemedeki görüntüsü	60
Şekil 3.16.	Dendrit uç yarıçapının gösterimi a) Şematik b) Organik malzemedeki görüntüsü	61
Şekil 3.17.	Yumuşak bölgenin görünümü a) Şematik b) Organik malzemedeki görüntüsü	62
Şekil 4.1.	Succinonitrile-%3.61 ağ. Aseton alaşım sisteminde sabit katılıştırma hızında ($V=6.5 \mu\text{m/s}$) farklı sıcaklık gradyentlerinde elde edilen katılışma yapılarının fotoğrafları a) $G=3.53 \text{ K/mm}$ b) $G= 4.10 \text{ K/mm}$ c) $G=4.60 \text{ K/mm}$ d) $G=5.10 \text{ K/mm}$ e) 5.70 K/mm	64
Şekil 4.2.	Succinonitrile-%3.61ağ. Aseton alaşım sisteminde sabit sıcaklık gradyenterinde ($G=5.70 \text{ K/mm}$) farklı katılıştırma hızlarında elde edilen katılışma yapılarının fotoğrafları a) $V=6.5 \mu\text{m/s}$ b) $V=12.5 \mu\text{m/s}$ c) $V=34.2 \mu\text{m/s}$ d) $V=60 \mu\text{m/s}$ e) $V=120 \mu\text{m/s}$	65
Şekil 4.3.	a) Dendrit uç yarılmaması (tip splitting) [Bu çalışma] b) Dendrit yok olması (dendrit elimination) [Bu çalışma] c) Üçüncü kol büyümesi (growth of tertiary arm) (Akamatsu ve ark., 1995).....	66
Şekil 4.4.	Sabit katılıştırma hızında ($V=6.5 \mu\text{m/s}$) ve bileşimde ($C_o=\text{SCN}-\%3.61 \text{ ağ. Aseton}$) organik alaşımın doğrusal katılıştırılmasında oluşan dendritlerin mikroyapı parametrelerinin sıcaklık gradyenti G ile değişimi. a) Birincil dendrit kol mesafesinin G' ye göre değişimi b) Mikroyapı parametrelerinin G' ye göre değişimi	68
Şekil 4.5.	Sabit sıcaklık gradyenti ($G=5.70 \text{ K/mm}$)ve bileşimde ($C_o=\text{SCN}-\%3.61 \text{ ağ. Aseton}$) organik alaşımın doğrusal katılıştırılmasında oluşan dendritlerin mikroyapı parametrelerinin katılıştırma hızına bağlı değişimi a) Birincil	

dendrit kol mesafesinin V' ye göre değişimi b) Mikroyapı parametrelerinin V' ye göre değişimi	68
Şekil 4.6. Succinonitrile-%2 ağ. Camphor alaşım sisteminde sabit katılıştırma hızında ($V=6.5 \mu\text{m/s}$) farklı sıcaklık gradyentlerinde elde edilen katılışma yapılarının fotoğrafları a) $G=1.93 \text{ K/mm}$ b) $G= 2.13 \text{ K/mm}$ c) $G=2.40 \text{ K/mm}$ d) $G=2.74 \text{ K/mm}$ e) 3.01 K/mm	73
Şekil 4.7. Succinonitrile-%2 ağ. Camphor alaşım sisteminde sabit sıcaklık gradyenterinde ($G=3.1 \text{ K/mm}$) farklı katılıştırma hızlarında elde edilen katılışma yapılarının fotoğrafları a) $V=6.5 \mu\text{m/s}$ b) $V=12.5 \mu\text{m/s}$ c) $V=34.2 \mu\text{m/s}$ d) $V=60 \mu\text{m/s}$ e) $V=120 \mu\text{m/s}$	74
Şekil 4.8. Sabit katılıştırma hızında ($V=6.5 \mu\text{m/s}$) ve bileşimde ($C_o=\text{SCN}-\%2$ ağ. Camphor) organik alaşımın doğrusal katılıştırılmasında oluşan dendritlerin mikroyapı parametrelerinin sıcaklık gradyentine göre değişimi. a) Birincil dendrit kol mesafesinin G' ye göre değişimi b) Mikroyapı parametrelerinin G' ye göre değişimi	75
Şekil 4.9. Sabit sıcaklık gradyenti ($G=3.01 \text{ K/mm}$) ve bileşimde $C_o=\text{SCN}-\%2$ ağ. Camphor) organik alaşımın doğrusal katılıştırılmasında oluşan dendritlerin mikroyapı parametrelerinin katılıştırma hızına göre değişimi a) Birincil dendrit kol mesafesinin V' ye göre değişimi b) Mikroyapı parametrelerinin V' ye göre değişimi	75
Şekil 5.1a,b Deneysel birincil dendrit kol mesafesinin teorik modeller (Hunt, 1979, Kurz ve Fisher, 1981, Trivedi, 1984) ile karşılaştırılması	85
Şekil 5.1c,d Deneysel birincil dendrit kol mesafesinin Hunt-Lu nümerik modeli (Hunt ve Lu, 1996) ile karşılaştırılması	86
Şekil 5.2. Deneysel ikincil dendrit kol mesafesinin Trivedi-Somboonsuk yaklaşımı ile karşılaştırılması	87
Şekil 5.3. Deneysel dendrit üç yarıçapının teorik modellerle karşılaştırılması	87
Şekil 5.4. Deneysel yumuşak bölge derinliğinin yapısal aşırı soğuma kriteri ile karşılaştırılması	88
Şekil 5.5. SCN-%3.61 ağ. Aseton ve SCN-%2 ağ. Camphor alaşımlarında sıcaklık gradyentine bağlı olarak elde edilen λ_2/R değerlerinin diğer sonuçlarla karşılaştırılması	91
Şekil 5.6. SCN-%3.61 ağ. Aseton ve SCN-%2 ağ. Camphor alaşımlarında katılıştırma hızına bağlı olarak elde edilen λ_2/R değerlerinin diğer sonuçlarla karşılaştırılması	92

SİMGE VE KISALTMALAR

<u>Simgeler</u>	<u>Anlamları</u>	<u>Birimleri</u>
a,b,c	Üstel katsayılar	---
C	Bileşim	(% ağ. veya % at.)
C_o	Çözünen bileşimi	(% ağ. veya % at.)
C_1	Sıvının çözünen bileşimi	(% ağ. veya % at.)
C_1^*	Dengedeki sıvının bileşimi	(% ağ. veya % at.)
C_s^*	Dengedeki katının bileşimi	(% ağ. veya % at.)
C_s	Katının çözünen bileşimi	(% ağ. veya % at.)
C_p	Öz ısı	erg/g.K
D	Difüzyon sabiti	cm ² /s
D_L	Sıvı içindeki çözünen dağılım katsayısı	cm ² /s
d	Yumuşak bölge derinliği	cm
d_o	Kılcallık uzunluğu	cm
D_{th}^i	i fazının sıcaklık difüzyon sabiti	cm/s
E	Sistemin iç enerjisi	erg/mol
F	Helmoltz serbest enerjisi	erg/mol
G	Sıcaklık gragyenti	K/cm
G	Gibbs serbest enerjisi	erg/mol
G_c	Çözünen gradyenti	%mol/cm
G_v^L	Birim hacimdeki sıvının serbest enerjisi	erg/mol.cm ³
G_v^S	Birim hacimdeki katının serbest enerjisi	erg/mol.cm ³
H	Entalpi	erg/mol
I_v	Ivantsov sabiti	---
k	Boltzman sabiti	erg/cm ³
k	Çözünen dağılım sabiti	---
K_L	Sıvının ısisal iletkenliği	W/K.cm
K_S	Sıvının ısisal iletkenliği	W/K.cm
L	Erime gizli ısısı	erg/mol
L_V	Birim hacimdeki erime gizli ısısı	erg/mol.cm ³
l	Hücrenin uzunluğu	cm
l_s	Çözünen difüzyon uzunluğu	cm
m_L, m	Likudus eğimi	(K/ % ağ. veya K/ % at.)
n	Arayüzey normali	---
n^*	Kritik yarıçaplı çekirdek sayısı	---
n_1	Toplam birincil dendrit kollar sayısı	---
n_2	Toplam ikincil dendrit kollar sayısı	---
P	Basınç	atm.
Pe_R	Dendrit ucunun peclet sayısı	---

<u>Simgeler</u>	<u>Anlamları</u>	<u>Birimleri</u>
R	Dendrit uç yarıçapı.....	cm
$r_1...r_n$	Korelasyon katsayıları.....	---
r^*	Yarıçap	cm
r^*	Kritik yarıçap	cm
r_1, r_2	Eğrilik yarıçapı	cm
S	Entropi.....	erg/mol.K
T	Sıcaklık.....	K
T_c	Kritik sıcaklık	K
T_e	Denge erime sıcaklığı.....	K
t_f	Bölgesel katilaştırma süresi.....	s
V	Katilaştırma hızı.....	cm/s
V	Hacim	cm ³
V_ϕ	Faz sınırından sıvıya yönelmiş büyümeye hızı	cm/s
V_{cr}	Kritik hız	cm/s
X	Boyuna kesit üzerindeki N adet ikincil dendrit kol arasındaki toplam mesafe.....	cm
α	Arayüzeyin difüze edebilirlik kabiliyeti	---
γ	Arayüzey enerjisi	erg/cm ² .mol
Γ	Gibbs-Thomson katsayısı	K.cm
θ	Temas açısı	°
Ω	Boyutsuz aşırı doyma.....	---
σ^*	Kararlılık sabiti	---
λ	Hücreler arası mesafe.....	cm
λ_1	Birincil dendrit kollar arası mesafe	cm
λ_2	İkincil dendrit kollar arası mesafe	cm
ΔG	Gibbs serbest enerjisi	erg/mol
ΔG_v	Oluşan katının birim hacmi başına düşen serbest enerjisi	erg/mol
ΔG_D	Difüzyon için gerekli aktivasyon enerjisi.....	erg/mol
ΔH_f	Ergime entalpisi	erg/cm ³
ΔT	Aşırı soğuma.....	K
ΔT_c	Eğrilik aşırı soğuması.....	K
ΔT_k	Kinetik aşırı soğuması.....	K
ΔT_s	Çözünen aşırı soğuma	K

Kısaltmalar Anlamları

ACE	Aseton
CAMP	Camphor
PVA	Pivalik asit
SCN	Succinonitrile
ETH	Etanol
ağ.	Ağırlıkça
at.	Atomik olarak
mV	Milivolt
μV	Mikrovolt

BÖLÜM 1

TEMEL KAVRAMLAR

1.1. Giriş

Katılışma, sıvıdan katıya bir faz dönüşüm olayıdır. Katılışma olayında katılaştırılan malzemenin bileşimi (C_o), sıcaklık gradyenti (G) ve katılaştırma hızı (V) kontrol edilebilmektedir. C_o , G , V parametreleri “**Katılaştırma parametreleri**” olarak bilinir. Katılaştırma parametrelerine bağlı olarak λ_1 (birincil dendrit kollar arası mesafe), λ_2 (ikincil dendrit kollar arası mesafe), R (dendrit uç yarıçapı) ve d (yumuşak bölge derinliği) değerleri değişmektedir. Bu değerler de “**Mikroyapı parametreleri**” olarak bilinmektedir.

Bu çalışmanın amacı katılaştırma parametreleri olan G ve V ' yi değiştirmek malzemeye ait olan mikroyapı parametreleri (λ_1 , λ_2 , R , d)' nin değişimini incelemek ve aralarında nasıl bir ilişki olduğunu açığa çıkarmaktır. Katılışma oyununu daha iyi anlayabilmek için, katılaştmayı yakından ilgilendiren faz dönüşümleri, aşırı soğumalar, çekirdeklenme ve katılıştırma kavramlarını incelemek gereklidir. Şimdi bunları kısaca görelim.

1.2. Faz Dönüşümleri

Faz dönüşümü, sistemdeki bir yada birkaç fazın yeni bir faza dönüşümü ile ilgilidir. Faz dönüşümünün gerçekleşmesinin nedeni, alaşımın ilk durumunun son durumuna göre daha kararsız olmasıdır. Yani; malzemedeki basınç, bileşim ve sıcaklıktaki herhangi bir değişim faz dönüşümünün oluşumuna neden olabilir. Faz dönüşümü için malzeme içindeki sıcaklık değişimleri en önemli faktördür.

Bir fazın kararlılığının ölçüyü termodinamik yoldan belirlenebilir. Sabit bir sıcaklık ve basınçta oluşan faz dönüşümlerinde sistemin bağıl kararlılığı Gibbs serbest enerjisi (G) ile bulunur (Porter, 1992).

Bir sistemin Gibbs serbest enerjisi,

$$G = H - TS \quad (1.1)$$

bağıntısı ile tanımlanır. Burada H sistemin entalpisi, T mutlak sıcaklığı ve S entropisidir. H daha açık yazılsa,

$$H = E + PV \quad (1.2)$$

Burada E sistemin iç enerjisi, P basınç ve V hacimdir. İç enerji sistemdeki atomların toplam kinetik ve potansiyel enerjilerinden oluşur. Kinetik enerji, katı yada sıvıdaki atomik titreşimlerden ve katı yada gazdaki atom veya moleküllerin öteleme ve dönme enerjilerinden meydana gelir. Buna karşın potansiyel enerji, etkileşimlerden ve sistemdeki atomların bağ enerjilerinden oluşur. Eğer bir dönüşüm yada kimyasal reaksiyon oluşursa, soğurulan veya verilen ısı sistemin iç enerjisindeki değişime bağlıdır. Bununla birlikte, denklem (1.2)' de görüldüğü üzere PV terimine de bağlı olacaktır ancak katılıştırma işlemi yoğun fazları (katı, sıvı) kapsadığından PV terimi çok küçük olacağından ihmali edilebilir, başka bir deyişle $H \approx E$ alınabilir.

Bir sistem en kararlı olduğu yani uzun bir müddet bir değişim isteği göstermediği zaman “dengededir” denir. Klasik termodinamik kanunlarının bir sonucu olarak sabit sıcaklık ve basınçta kapalı bir sistem (yani sabit kütle ve bileşim) Gibbs serbest enerjisinin mümkün olan en küçük değerine sahip olduğunda kararlı dengede olacaktır ($\Delta G = 0$). Denklem (1.1)' de G ' nin tanımında görüldüğü üzere bir durumun en kararlı hali, en düşük entalpi değerinin yüksek entropi değerleri ile uyuşmasında elde edilir. Düşük sıcaklıklarda, katı faz daha kararlıdır. Çünkü katı fazda kuvvetli bağlar mevcut olduğundan düşük iç enerjiye (entalpiye) sahip olur. Buna karşın yüksek sıcaklıklarda, fazlardaki atomların hareketinin daha serbest olması, $-TS$ terimini daha etkin kılacagından sıvı veya gaz fazlar daha kararlı olur. Eğer ısırma veya soğutma süreçleri çok yavaş olarak gerçekleşirse, denge sıcaklığına yakın sıcaklıkta faz dönüşümü gerçekleştirilir. Sıvı-katı faz dönüşümünün başlaması ve devam etmesi için gerekli kriter;

$$\Delta G = G_2 - G_1 < 0 \quad (1.3)$$

olarak verilir. Burada G_1 ve G_2 ilk ve son durumun serbest enerjileridir. Diğer bir ifadeyle denklem (1.3)' ün gerçekleşmesi için; sıvı fazdan katı faza geçen atomların sayısı, katı fazdan sıvı faza geçen atomların sayısından büyük olması gereklidir. Bu durumda katı-sıvı arayüzeyi sıvı içine doğru ilerler.

1.3. Aşırı Soğumalar

Sıvıdan katıya dönüşüm için, bir metalin sıcaklığı dengedeki erime sıcaklığı (T_m)'nin altındaki herhangi bir T sıcaklığına kadar indirmek gereklidir. Bu esnada sistemin toplam aşırı soğuması ΔT ile gösterilir ve ifade olarak

$$\Delta T = T_m - T \quad (1.4)$$

yazmak mümkündür. Alasılımlarda ΔT 'nin değeri arayüzey eğriliğine, sıvının bileşimine ve sıvıdan katıya geçen atomların enerji engeline bağlıdır (Gündüz, 1984). Yani ΔT bu etkilerden gelen aşırı soğumaların toplamına eşittir. İfade olarak yazarsak ,

$$\Delta T = T_m - T = \Delta T_s + \Delta T_c + \Delta T_k \quad (1.5)$$

Burada;

ΔT_s : Sıvıdaki çözünen yayınımdan ileri gelen aşırı soğuma

ΔT_c : Sıvı-katı arayüzeyinin eğriliğinden ileri gelen aşırı soğuma

ΔT_k : Kinetik aşırı soğuma

Bu aşırı soğumaları şimdî sırayla görelim.

1.3.1. Çözünen yayınımdan ileri gelen aşırı soğuma

Eğer, katı-sıvı arayüzeyi kararlı ise bu durumda katı-sıvı önünde bulunan sıvıdaki çözünen elementin artma veya azalmasına ve likudusun eğimine (m) bağlı olarak bir alt soğuma meydana gelir. Bu alt soğuma difüzyon (çözünen yayınımı) aşırı soğuması olarak da adlandırılır (Flemings, 1974, Kaplan, 1987). Difüzyon aşırı soğuması kütle iletimine sebebiyet vermektedir. Bu olay faz arayüzeyinin büyümesine sebep olmaktadır. Kisaca bu soğuma malzemedeki mevcut çözünen sayesinde meydana gelen alt soğumadır (Fuchs, 1982).

Eğer C_o bileşimindeki alaşımın katılaşan sıcaklığı T_o ise ve likudus eğimi m ise Şekilde görüldüğü gibi çözünenin katı-sıvı arayüzeyinden geri dönüp sıvı içine yayılmasıyla C_o hacim bileşimi arayüzey bileşiminden sapma gösterir.

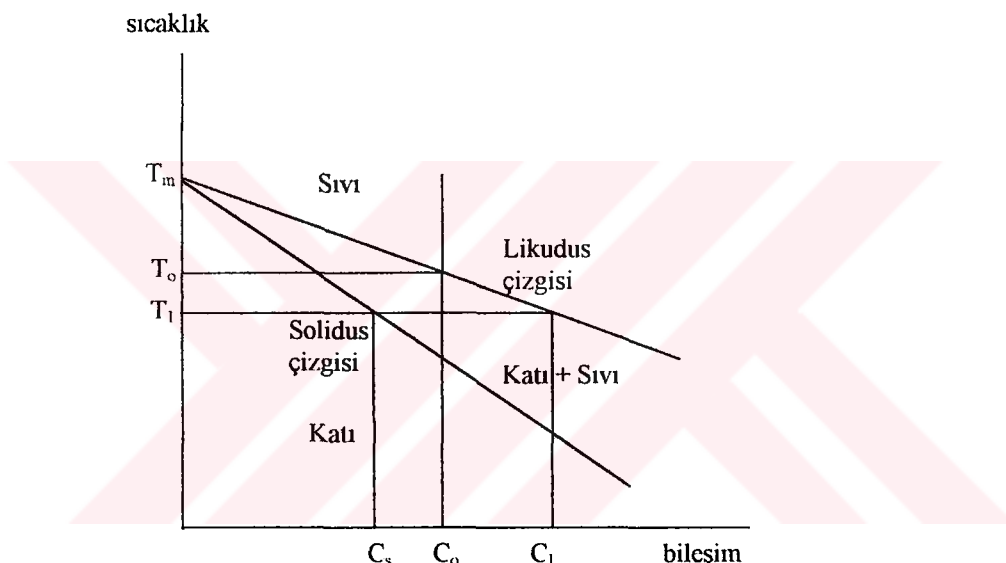
$$\Delta T_s = m (C_o - C_1) \quad (1.6)$$

Burada;

m : Likudus eğimi

C_o : Çözünenin bileşimi

C_1 : Arayüzey bileşimi



Şekil 1.1. Çözünen alt soğumasına neden olan faktörlerin şematik gösterimi

1.3.2. Eğrilik yarıçapından ileri gelen aşırı soğuma

Eğrilik yarıçapından ileri gelen aşırı soğuma Gibbs-Thomson etkisi olarak da bilinir. Katı ve sıvı fazlardaki basınç farkından dolayı arayüzey bükündüğü zaman katı-sıvı arayüzeyinde bir yüzey enerjisi oluşur. Bu da eşdeğer olarak katı içindeki atomların kimyasal potansiyellerinin artması olarak düşünülebilir (Kaplan, 1987).

İzotropik yüzey etkileri için eğrilik alt soğuması aşağıdaki gibi verilmiştir.

$$\Delta T_c = \Gamma \left(\frac{1}{r_1} + \frac{1}{r_2} \right) \quad (1.7)$$

Γ : Gibbs-Thomson katsayısı

r_1, r_2 : Arayüzeyin eğrilik yarıçapıdır.

1.3.3. Kinetik aşırı soğuma

Bütün maddelerde, katı fazdan sıvı faza doğru atomların iletimi için bir enerji engeli vardır. Bunun tersi de doğrudur. Bu ancak, arayüzey sıcaklığının altına düşürülmesi ile mümkündür. Böylece sınırlı bir büyümeye hızı, denge sıcaklığının altında bir aşırı soğumaya ihtiyaç gösterir (Fuchs, 1982).

Eğer bir sıvı metal, katılaşmadan önce denge erime sıcaklığı (T_e)'nın altında aşırı soğutulursa, katılaşma serbest enerjideki azalmayla ilgili olacaktır. Serbest enerjideki azalma katılaşmayı sağlayacaktır (Porter ve Easterling, 1984).

Bir katı-sıvı sistemde, katı fazdan sıvı fazaya geçen atomların sayısı, sıvı fazdan katı fazaya geçen atomların sayısına eşit ise dengededir, katı-sıvı arayüzeyi sabittir. Eğer, katı fazdan sıvı fazaya geçen atomların sayısı, sıvı fazdan katı fazaya geçen atomların sayılarından fazla ise, erime olayı olur. Bir katı-sıvı sisteminde, eğer sıvı fazdan katı fazaya geçen atomların sayısı, katı fazdan sıvı fazaya geçen atomların sayılarından fazla ise, katılışma olayı meydana gelir. Bununda olabilmesi için, arayüzeydeki sıvinin denge erime sıcaklığı T_e 'nın altında olması gerekmektedir. Yani,

$$\Delta T_k = T_e - T_i \quad (1.8)$$

olmalıdır. Burada T_i , katı-sıvı arayüzey sıcaklığıdır. Bu aşırı soğuma, atomların faz geçişini sürdürmesi için gereklidir. Kinetik aşırı soğuma, erime noktası yüksek olan kristallerde fazladır. Kinetik aşırı soğumanın büyüklüğü, yüzey doğrultusunun değişimi ve ΔT_k ile büyümeye hızı arasındaki bağıntının formunu içine alan, katı-sıvı arayüzey dinamiğine bağlıdır (Kaplan, 1987).

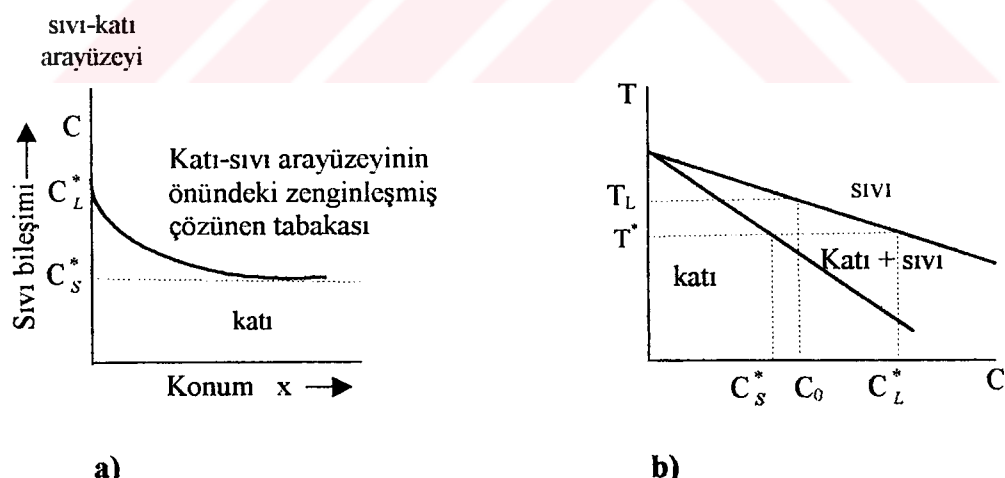
1.3.4. Yapısal aşırı soğuma

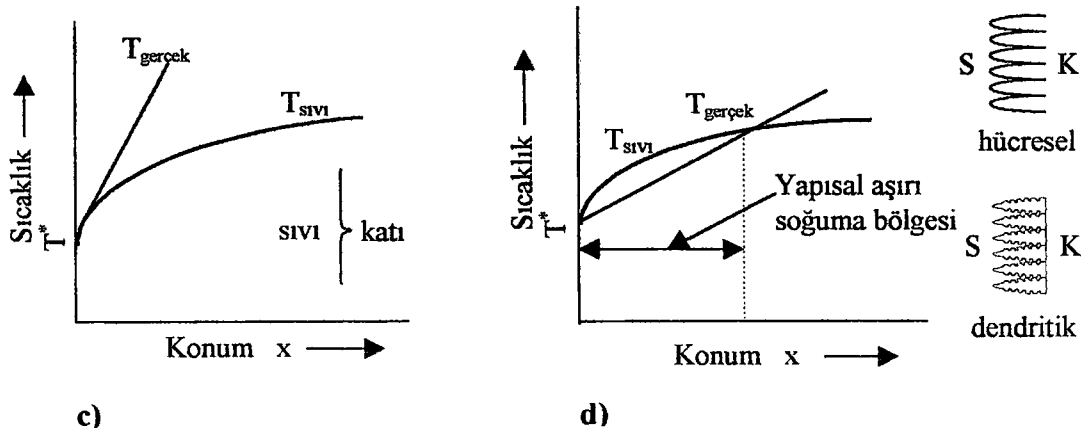
Şekil (1.2), düzlemsel cepheyi kararsız yapan serbest enerji değişiminin nasıl meydana geldiğini göstermektedir. İlerleyen arayüzey önünde, arayüzeydeki sıvı bileşimi C_L^* maksimumunda olan ve arayüzeyden uzaklaşıkça azalan çözünence zengin bir sıvı

tabakası bulunmaktadır (Şekil 1.2a). Çözünen miktarı azaldıkça sıvı sıcaklığı artacağından dengesel sıvı sıcaklığı arayüzeyden uzaklaşıkça artar. Katı-sıvı arayüzeyinde denge olduğu kabul edildiğinden, $x' = 0$ arayüzeyinde bu eğri T^* sıcaklığından geçmelidir. T^* , gerçek arayüzey sıcaklığıdır (Şekil 1.2b).

Faz diyagramı yardımıyla, sıvının dengesel sıvı sıcaklığını arayüzeyden uzaklığın fonksiyonu olarak çizmek kolaydır [Şekil (1.2c) ve Şekil(1.2d)]. Şekil (1.2c)'deki eğriler öyle bir şartı gerçeklemedektedir ki arayüzey tam dengesel sıvı sıcaklığının üzerindedir. Bu şekil, düzlemsel cephede kararlı bir katılıştırma için gerekli şartı göstermektedir. Şayet bir kararsızlık, düz arayüzeyde bir çıkıştı oluşturursa, bu çıkıştı kendini aşırı soğumuş bir ortam içerisinde bulacak ve tekrar eriyecektir. Şekil (1.2d)'de ise kararsız durumu göstermektedir.

Burada arayüzeyin hemen önünde, sıvının gerçek sıcaklığı kendi dengesel sıvı sıcaklığının altındadır. Bu nedenle, bu sıvı aşırı soğumuş durumdadır. Chalmers ve arkadaşları buna “Yapısal Aşırı Soğuma” demişlerdir (Rutter ve ark., 1953).





Şekil 1.2. Alaşım katılaştırılmasında yapısal aşırı soğuma **a)** Sıvı-katı arayüzeyinin önündeki çözünence zengin tabaka **b)** Faz diyagramı **c)** Kararlı arayüzey **d)** Kararsız arayüzey.

Yapısal ifadesi, aşırı soğumanın bileşim değişiminden ileri geldiğini gösterir. Yapısal aşırı soğuma teorisine göre, arayüzeyde teşekkül eden bir çıktı, kendini aşırı soğumus bir sıvı içinde bularak kaybolmayacak ve dolayısıyla bu aşırı soğuma, arayüzeyde kararsızlık meydana getirecektir. Mullins ve Sekerka (1963) ve diğer birçok araştırmacının daha sonra arayüzey kararlılığı üzerine yaptıkları teorik çalışmalarında belirtilen birçok faktörün yukarıda basit teoride ihmali edilmiş olmasına rağmen bu teoriyle deney arasında tam bir uygunluk mevcuttur (Mullins ve Sekerka, 1963).

$$\frac{G_L}{V} \geq -\frac{m_L C_S^*(1-k)}{kD_L} \quad (1.9)$$

olduğu zaman düzlemsel cephe kararlıdır. Burada;

G_L : Sıvının sıcaklık gradyenti

V : Büyütme hızı

m_L : Likidus eğimi

C_S^* : Katının maksimum bileşimi

D_L : Sıvıdaki difüzyon katsayısı

k : Dengesel taksim oranı (dağılım katsayısı)

Yapısal aşırı soğuma teorisinin 1953 yılında formüle edilmesinden beri, en iyi ispatlar saydam organik maddelerle yapılmış olup, burada düzlemsel arayüzeylerin G_L / V oranı azaldıkça, kıvrılarak “hücresel” hale geçtiği görülmüştür. Yapısal aşırı soğuma teorisi,

başlangıçta düzlemsel cephede olan arayüzeyin önünde, termodinamik olarak sıvı ve katıdan hangisinin kararlı olduğu sorusu ile uğraşır.

1.4. Çekirdeklenme

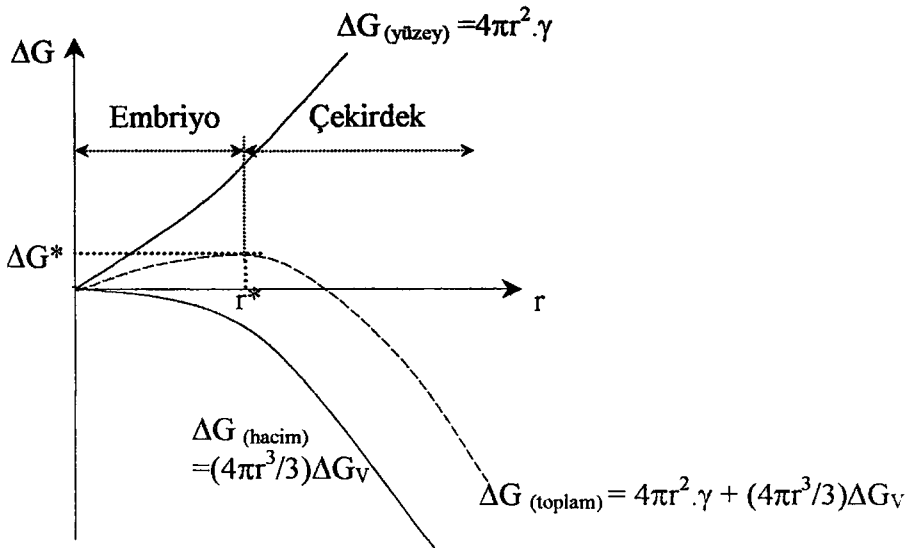
Eğer bir sıvı dengesel erime sıcaklığı (T_e)'nin altındaki bir sıcaklık (T) değerine kadar aşırı soğutulursa, ΔG gibi bir enerji değişimi oluşur ve sıvı fazın kendiliğinden katılmasını beklenir. Katılışma esnasında atomik düzenleme, kısa - mesafeli düzenden, uzun - mesafeli düzene dönüşür. Diğer bir ifade ile katılışma olayı, çekirdeklenme ve büyümeye olmak üzere iki aşamada gerçekleşir. Sıvı, erime sıcaklığının altına kadar aşırı soğutulduğunda, sıvı içerisindeki atomlar katiya benzer küçük bir bölge oluşturmak için bir araya gelirler. Bu oluşan, r , yarıçapındaki küçük katımsı bölgeye embriyo (nucleus) denir. Embriyonun büyümesi ile toplam serbest enerji azalır ve r^* (kritik yarıçap) yarıçaplı katımsı bir parçacık oluşur. Bu katı parçacığa çekirdek denir. Bu oluşum sırasında serbest enerji, Şekil (1.3)'de gösterildiği gibi hacim serbest enerjisi ile yüzey serbest enerjinin toplamından oluşur (Askeland, 1990).

Saf malzemelerde, dengesel katılıştırma sıcaklığının altında soğutulmuş saf bir sıvı, içerisinde küresel bir katı parçacığın oluşması ile malzemenin serbest enerjisindeki değişimi,

$$\Delta G = \left(\frac{4\pi r^3}{3} \right) \Delta G_V + (4\pi r^2) \gamma \quad (1.10)$$

şeklinde verilir (Verhoeven, 1975).

Burada r çekirdeğin yarıçapıdır, $\Delta G_V = \Delta H_f \Delta T / T_e$ ifadesi, oluşan katının birim hacmi başına düşen serbest enerjisindeki değişimdir ve negatiftir. ΔH_f Ergime entalpisindeki değişimi, T_e denge erime sıcaklığını ifade etmektedir. İkinci terim ise parçacık başına düşen yüzey enerjisindeki toplam artışıtır. Burada γ birim alan başına düşen katı-sıvı yüzey enerjisidir.



Şekil 1.3. $\Delta G'$ nin r' ye bağlı olarak değişimi Verhoeven, 1975)

Şekil (1.3)' de görüldüğü gibi ΔG^* , r^* kritik yarıçaplı çekirdeğin oluşması için gerekli olan enerji engelidir. Parçacık başına serbest enerji, r^* kritik yarıçapında ΔG^* değerine kadar artış gösterir. Kritik yarıçap, r^* değerine eriştiğinde serbest enerji maksimum olmaktadır. Eğer embriyo çok küçükse, yani $r < r^*$ ise, embriyonun daha fazla büyümesi için serbest enerji azalacak, büyümeye yerine yeniden eriyerek serbest enerjisi düşecektir. Erime sıcaklığının altında bulunan böyle bir sıvı aşırı soğumuş sıvı olarak bilinir. $r = 0$ da, $d(\Delta G) = 0$ dir. Kritik yarıçap, r^* civarındaki çok küçük parçacıkların sahip olduğu toplam yüzey enerjisi, toplam hacimsel serbest enerji değişiminden daha büyüktür ve birim parçacık başına düşen enerji parçacık büyülüğu ile orantılıdır. $r > r^*$ için toplam serbest enerji azalır. Bu durumda oluşan katımsı parçacık kararlıdır ve büyütürek daha düşük serbest enerjili hale geçme eğilimindedir. $r > r^*$ olan katımsı parçacık çekirdek olarak bilinir (Askeland, 1990). Çekirdeklenme homojen ve heterojen çekirdeklenme olmak üzere iki kısımda incelenmektedir. Şimdi sırasıyla bunları tanımlayalım.

1.4.1. Homojen çekirdeklenme

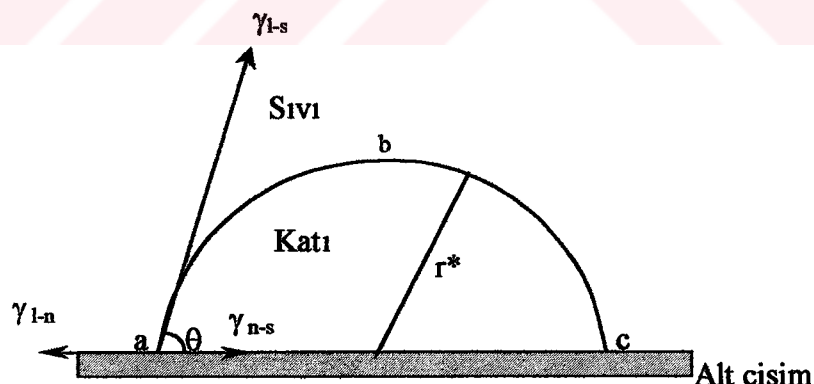
Herhangi bir sıvı denge erime sıcaklığı altına kadar aşırı soğutulursa, kritik yarıçaptan daha büyük yarıçapaya sahip bir çekirdek oluşturmak için atomların bir araya gelme ihtimali artar. Yüksek aşırı soğumalarda sıvı ve katı fazlar arasındaki Gibbs serbest enerji farkı artacağından kritik yarıçap azalır. Böyle bir durumda Homojen çekirdeklenmenin, ancak

kritik yarıçaptan daha büyük bir çekirdeğin oluşmasına sebep olan aşırı soğumalarla oluşabileceği görülür. Çok özel hazırlanan laboratuar deneyleri dışında nadir görülen homojen çekirdeklenme, eriyik içerisinde herhangi bir safsızlık maddesi bulunmaksızın gerçekleşir ve homojen çekirdeklenme için çok yüksek aşırı soğumalara gerek vardır (Askeland, 1990).

1.4.2. Heterojen çekirdeklenme

Homojen çekirdeklenmede, kritik yarıçaplı bir çekirdeğin oluşması için gerekli olan aktivasyon enerjisi, arayüzey enerjisine (γ) ve oluşan katının birim hacim başına düşen serbest enerjisindeki (ΔG_v), değişime bağlıdır. Çekirdeklenme genellikle dislokasyonlarda, tane sınırlarında yabancı kütlelerde veya çekirdeklenme süreci için gerekli yüzey enerjisinin azaldığı veya hacim serbest enerji değişiminin arttığı yerlerde heterojen olarak meydana gelir. Bu nedenle heterojen çekirdeklenme, içerisinde safsızlıkların bulunduğu kataklı bir çekirdeklenmedir ve homojen çekirdeklenmeye göre daha düşük aşırı soğumalarda meydana gelir (Woodruff, 1973).

Soğutucu bir yüzey üzerinde (çekirdekleyici madde veya alt cisim) çekirdek oluşumunu tanımlamak amacıyla, Şekil (1.4)' de soğutucu bir yüzey üzerine, küre kabuğu biçimli çekirdek oluşumu gösterilmiştir.



Şekil 1.4. Küre kabuğu biçimli çekirdeğin şematik gösterimi (Elliot, 1983)

Şekil (1.4)' de γ_{1-n} , çekirdek-sıvı arayüzey enerjisi, γ_{n-s} çekirdek-katı arayüzey enerjisi ve γ_{1-s} ' de katı-sıvı arayüzey enerjisini göstermektedir. ac çizgisi boyunca kararlı alt cisim üzerindeki abc çizgisinin küre kabuğu biçimindeki embriyo yüzeyinin genişlemesiyle kümeye çekirdeklenmeye uğrar (Elliot, 1983). Sonuçta, küre kabuğu biçimindeki heterojen çekirdeklenme için gerekli olan aşırı soğuma, homojen çekirdeklenmedeki kadar büyük olmayacağı, yani daha küçük aşırı soğumalarla heterojen çekirdeklenme sağlanacaktır. Her

iki durumdaki çekirdeklenme için gerekli olan kritik yarıçap aynıdır, fakat alt cisimden dolayı sürücü kuvvet ve enerji engeli heterojen çekirdeklenme için daha düşüktür. Metal ve metal alaşımlarının tamamında, katılışma başlangıcı, heterojen çekirdeklenme sonucu oluşur (Woodruff, 1973, Elliot, 1983).

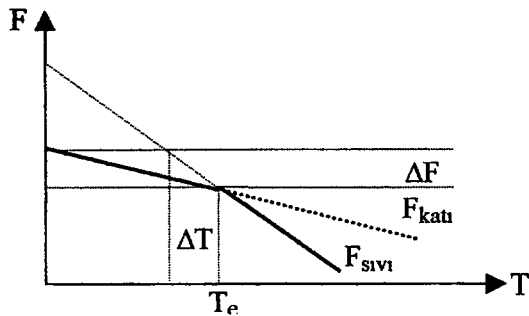
1. 5. Katılıştırma

Bir fazın başka bir faza göre kararlı olup olmadığı mol başına düşen serbest enerji ile belirlenir ve bu serbest enerji Helmholtz serbest enerjisi olarak ifade edilir.

$$F = E - TS \quad (1.11)$$

Burada E , fazın iç enerjisidir. Enerjinin miktarına göre atomlar faz değiştirebilirler. Atomlar arasındaki kohesif (yapıcı) kuvvetler büyütür ve iç enerji negatiftir. Denklem (1.11)' de ikinci terim sıcaklık (T) ve entropidir (S). Entropi tanım olarak herhangi bir fazdaki atomların sıralanmasındaki düzensizlik ölçüsüdür. Kati bir kristalde atomların termal titreşimlerinden dolayı entropi artışı gösterir. Sıvıda ise yapısal düzensizlik ve termal titreşimin her ikisinden dolayı entropi yüksek olup düzensiz atomik yapı oluşmaktadır.

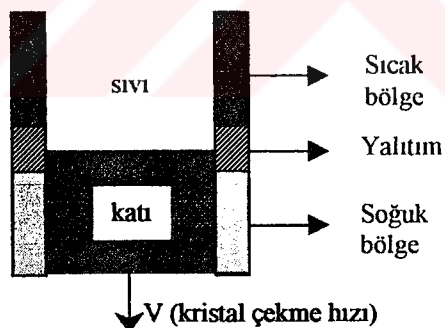
Şekil (1. 5)' de sıcaklık ile bir metalin katı ve sıvı fazlarının serbest enerjilerinin değişimi şematik olarak gösterilmektedir. $T=0\text{ K}$ ' de $F=E$ ve katı atomlar arası kohezyon kuvveti büyük olduğundan dolayı iç enerji küçük olup, bu nedenden dolayı serbest enerjide küçük olacaktır. Sıcaklık artışıyla TS terimi nispeten önemli olmaya başlar ve $S>0$ olduğundan dolayı serbest enerji azalır. Ancak sıvının entropisi katının entropisinden daha büyütür ve sıvı fazın serbest enerjisindeki azalış artan sıcaklıkla katı fazından daha hızlıdır. Bu nedenden dolayı iki fazın serbest enerji eğrileri denge erime sıcaklığında kesişir. Yüksek sıcaklıklarda ise katı faz, sıvı fazdan daha düşük enerjiye sahip olduğundan katı faz kararlı durumdadır. Eğer sistem dengede ise, sıvı ve katının serbest enerjileri birbirine eşittir (Robert, 1965).



Şekil 1.5. Katı ve sıvı fazlarının serbest enerjilerinin sıcaklıkla değişimi (Robert, 1965)

1.6. Doğrusal Katılıştırma

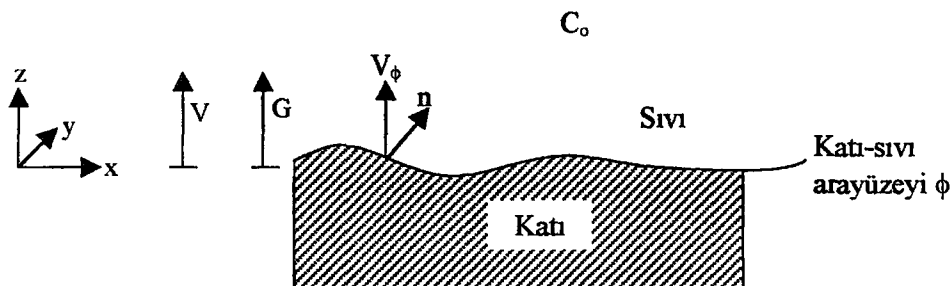
Bir alaşımın doğrusal katılıştırılmasında, numune sabit sıcaklıktaki sıcak ve soğuk bölgelerle temasa maruz kalarak oluşan sabit sıcaklık gradyentinde yerleştirilir (Şekil 1.6). Numune, sabit hızla soğuk bölgeye çekilerek yada termal düzeneğin hareketi ile katılıtırılır. Katılan malzemenin özelliklerini etkileyen mikroyapı parametrelerinin kontrolü, doğrusal katılıştırma yönteminde mümkündür (Billia ve Trivedi, 1993). Bu nedenle doğrusal katılıştırma teknolojide önemli bir yere sahiptir. Şimdi ikili alaşımların doğrusal katılıştirılmasındaki temel bağıntıları ve bu bağıntılar elde edilirken yapılan kabulleri inceleyelim.



Şekil 1.6. Doğrusal katılıştırma (Billia ve Trivedi, 1993).

Katı ve eriyik, katılanmanın gerçekleştiği katı-sıvı arayüzeyi ile ayrılır Şekil (1.7). Bu durumda, katı ve sıvı fazı için çözünen ve ısı korunumu denklemlerinin ve faz sınırı için yüzey dengesinin ve katılıştırma yüzeyinin ilerleme şeklinin tanımlanması gerekmektedir. Bu tanımlar yapıılırken arayüzeyin matematiksel olarak keskin, katı ve sıvı fazlarının eşit yoğunlukta olduğu, katı içerisinde çözünen difüzyonunun ihmal edildiği ve arayüzeyde sıcaklığın sürekli olduğu kabulleri yapılır.

Ayrıca tüm fiziko kimyasal katsayıların sabit nicelik olduğu ve katıdaki elastik ve plastik etkilerin ihmali edilebilir derecede olduğu varsayılmıştır. Daha etkili varsayımlar ise, gerçek deneysel ortamlarda uygulanabilirliği kısıtlı olan, sıvı fazda konveksiyonun olmadığı kabulüdür.



Şekil 1.7. V hızı G sıcaklık gradyentine maruz kalan başlangıç C_0 çözünen konsantrasyonundaki eriyiğin doğrusal katılışı (Billia ve Trivedi, 1993).

Sabit V hızı ile ilerleyen katılışı yüzeyine ilişkin referans sisteminde korunum denklemleri şöyledir;

a) Katı (s) ve sıvı (l) fazında ısı dengesi:

$$\frac{\partial T_i}{\partial t} = D_{th}^i \nabla^2 T_i + V \frac{\partial T_i}{\partial z}, \quad (1.12)$$

burada $i=s$ yada l olabilir, T_i ve D_{th}^i sırasıyla i fazındaki sıcaklık ve difüzyon güçüdür.

b) Sıvıdaki çözünen dengesi:

$$\frac{\partial C}{\partial t} = D \nabla^2 C + V \frac{\partial C}{\partial z}, \quad (1.13)$$

burada C ve D sıvıdaki çözünen konsantrasyonu ve difüzyon sabitidir.

c) Arayüzeydeki termal akı dengesi:

Katılma yüzeyinde; ısı korunum denklemi, sıvı ve katıdaki normal sıcaklık gradyentleri ile bölgesel erime gizli isının oluşumu ile ilgilidir;

$$\left[K_s \vec{\nabla} T_s - K_l \vec{\nabla} T_l \right]_{\phi} \hat{n} = L \vec{V}_{\phi} \hat{n}, \quad (1.14)$$

burada L birim hacimdeki erime gizli ısısı, \vec{V}_{ϕ} ve \hat{n} faz sınırlarından sıvıya yönelik büyümeye hızı ve normal, K_s ve K_l ise sırayla katı ve sıvının termal iletkenliğidir. İlgili niceliklerin katilaştırma yüzeyinde değerlendirilmesi gerektiğinden ϕ indisi kullanılmıştır.

d) Arayüzeyde çözünen akı dengesi:

Çözünen korunumu, katilaştırmada eriyiğe serbest bırakılan çözünen ($k < 1$) yada çözücü ($k > 1$) difüzyonla sıvıya taşınmasını gerektirir,

$$[C_s - C]_{\phi} \vec{V}_{\phi} \hat{n} = D [\vec{\nabla} C]_{\phi} \hat{n}, \quad (1.15)$$

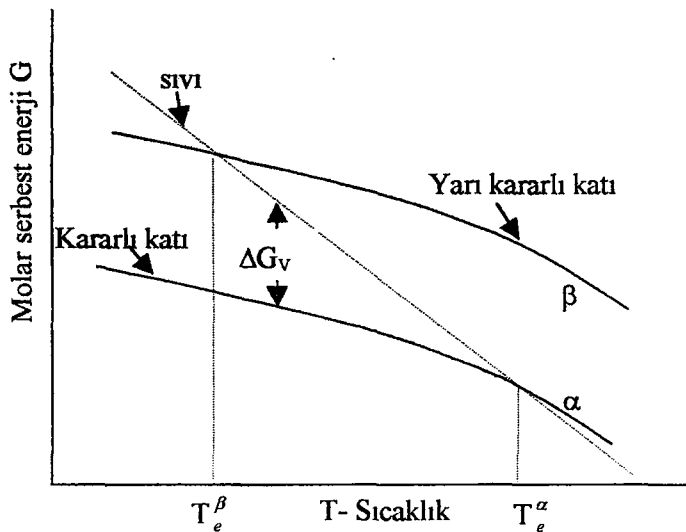
burada C_s katıdaki çözünen konsantrasyonudur.

1.6.1. Saf metallerin katilaştırılması

İlk olarak dengedeki saf metali ele alalım. Bir saf metalin sıvı-katı fazlarının sıcaklık ile serbest enerji değişimleri Şekil (1.8)' de gösterilmektedir. Düşük serbest enerjiye sahip fazda belirli sıcaklık bölgesinde (katının sıcaklığı $< T_e$ ve sıvının sıcaklığı $> T_e$) katı ve sıvı faz bir arada dengede ise serbest enerjileri eşit olup bu iki fazın sıcaklıklarını dengesel erime sıcaklığı (T_e)' dir. Bu dengesel erime sıcaklığı (T_e)' nin basıncı göre değişimini veren bağıntıya "Clapeyron eşitliği" adı verilir.

$$\frac{\Delta T_e}{\Delta P} = T_e \frac{\Delta V}{\Delta H} \quad (1.16)$$

Burada, ΔP basıncındaki değişimi, ΔH , entalpideki değişimi, ΔT_e , basınç değişiminden ileri gelen sıcaklık değişimi, ΔV ise, sıvı ve katı fazları arasındaki molar hacim farkıdır (Edwards, Endean, 1990). Eriyik metalin çok yavaş soğutulması durumunda, bütün metalde sıcaklık uniform şeklinde ise, katilaşma bölgesinin tam ortasındaki bir noktada katilaşma başlar ve çekirdekler sıvı içine dağılır. Her bir çekirdek tercihli bütün yönlerde büyüterek irileşir ve sonuçta eşeksenli dendritik tane yapısını oluşturur.



Şekil 1.8. Saf bir metal için sıcaklık ile molar serbest enerjinin değişimi (Elliott, 1983).

Eğer sıvı tamamen uniform şekilde hızlı bir şekilde soğutulursa, aşırı soğuma büyük olacak ve eriyikte çok daha fazla çekirdek oluşacaktır. Şekil (1.9)' da bu durumda eşeksenli dendritik tane yapısı şematik olarak gösterilmiştir. Saf metallerin katlaştırılmasında olduğu gibi değişik bileşimdeki alaşım sistemlerinde doğrusal olarak katlaştırılabilmektedir.



Şekil 1.9. Eşeksenli dendritik tane yapısı

1.6.2. Alaşımların katlaştırılması

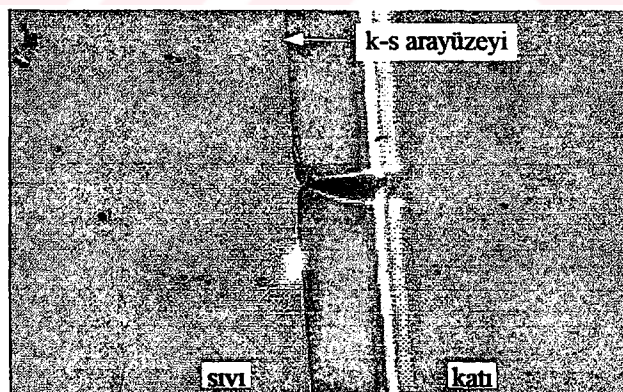
Metaller ve metalik alaşımlar daha fazla işlenebilirlik (ısıl işlem, haddelenme, dövülme vs.) iyi ısıl ve elektriksel iletim özelliğine sahiptir. Mühendislik uygulamalarında en çok kullanılan ve üzerinde durulan malzemeler alaşım sistemleridir. Katlaşırma yapılarına göre alaşımların (organik, metalik, komposit vs.) katlaşmasını

- a- Düzlemsel cephede katlaşırma b- Hücresel katlaşırma c- Dendritik katlaşırma
- olarak üç kısımda inceleye biliriz.

1.6.2.1. Alaşımların düzlemsel cephede katılştırılması

Alaşımların düzlemsel cephede kontrollü olarak katılştırılması pratikte tek kristallerin büyütülmesinde, malzemeleri saflaştırılmış (örneğin; bölgesel arıtma) ve kontrollü büyütülen malzeme de homojen bileşim elde etmede kullanılır. Bu cins katılışmanın en önemli ticari uygulaması, yarı iletken kristallerin büyütülmesidir. Diğer bir uygulama ise, oksit lazer sistemleri ve diğer optik uygulamalar için büyütülmesidir. Örneğin alüminyum oksitler, tantal oksitler.

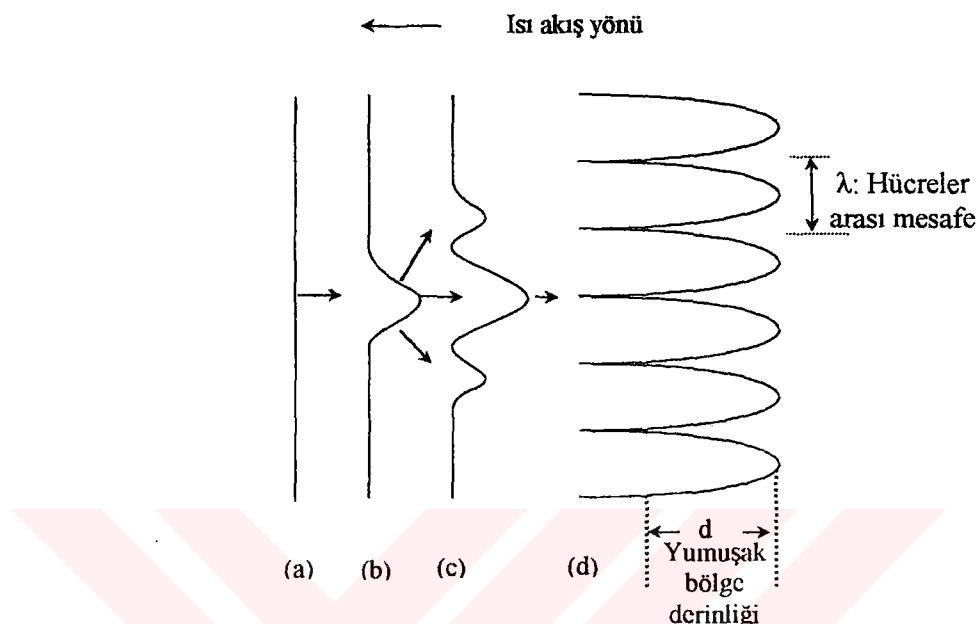
Metal-metal alaşımların düzlemsel cephede katılıştırılmış kristalleri araştırmada çok geniş olarak kullanılmaktadır. Bir çok metalin ve metalsel olmayan inorganiklerin sıvı eriyiklerinden katılıştırılması esnasında arayüzeyin dengede olduğunun kabul edilmesi iyi bir yaklaşılıktır. Yani katılıştırmada, katı-sıvı içinde büyük bileşim gradyentleri olabilir, fakat arayüzeyden geçişte atomların aktarılmasına karşı sadece ihmali edilebilir bir direnç mevcuttur. Yapısal aşırı soğuma teorisi, başlangıçta düzlemsel cephede, arayüzeyin önünde katı ve sıvının hangisinin termodinamik olarak kararlı olduğu sorusu ile ilgilenir. Kararlı olan sıvı ise arayüzeyin düzlemsel kaldığı, kararlı olan katı ise arayüzeyin bozulduğu kabul edilir. Şekil (1.10)' da kararlı bir arayüzeyin düzlemsel olarak katılıştırılması görülmektedir.



Şekil 1.10. Düzlemsel arayüzey

Düzlemsel cephede katılıştırmada başlıca üzerinde durulan problem, başlangıçta arayüzeyin nerede düzlemsel olduğu ve sonradan küçük bir dalgalanmanın nerede teşekkür ettiğidir. Bu dalgalanmanın büyüp büyümeyeceği katı-sıvı yüzey enerjisine, arayüzey kinetiğine, çözünen ve ıslık alanlarının karşılıklı etkileşmesine bağlıdır. Şekil (1.11)' de

arayüzey yapısının bozularak hücresel biçimde değişimi gösterilmiştir. Sıcaklık gradyentinin artırılmasıyla bu bozulma eğilimi azalma göstermektedir. Kararlı arayüzeyin detaylı analizi Mullins ve Sekerka (1963) tarafından yapılmıştır.

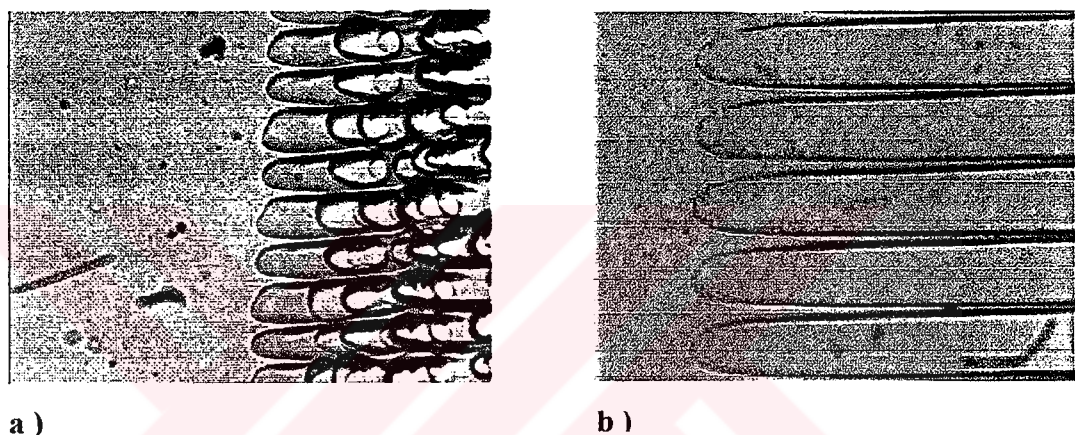


Şekil 1.11. Düzlemsel katılışmadan hücresel katılışmaya geçiş (Porter, Easterling, 1984).

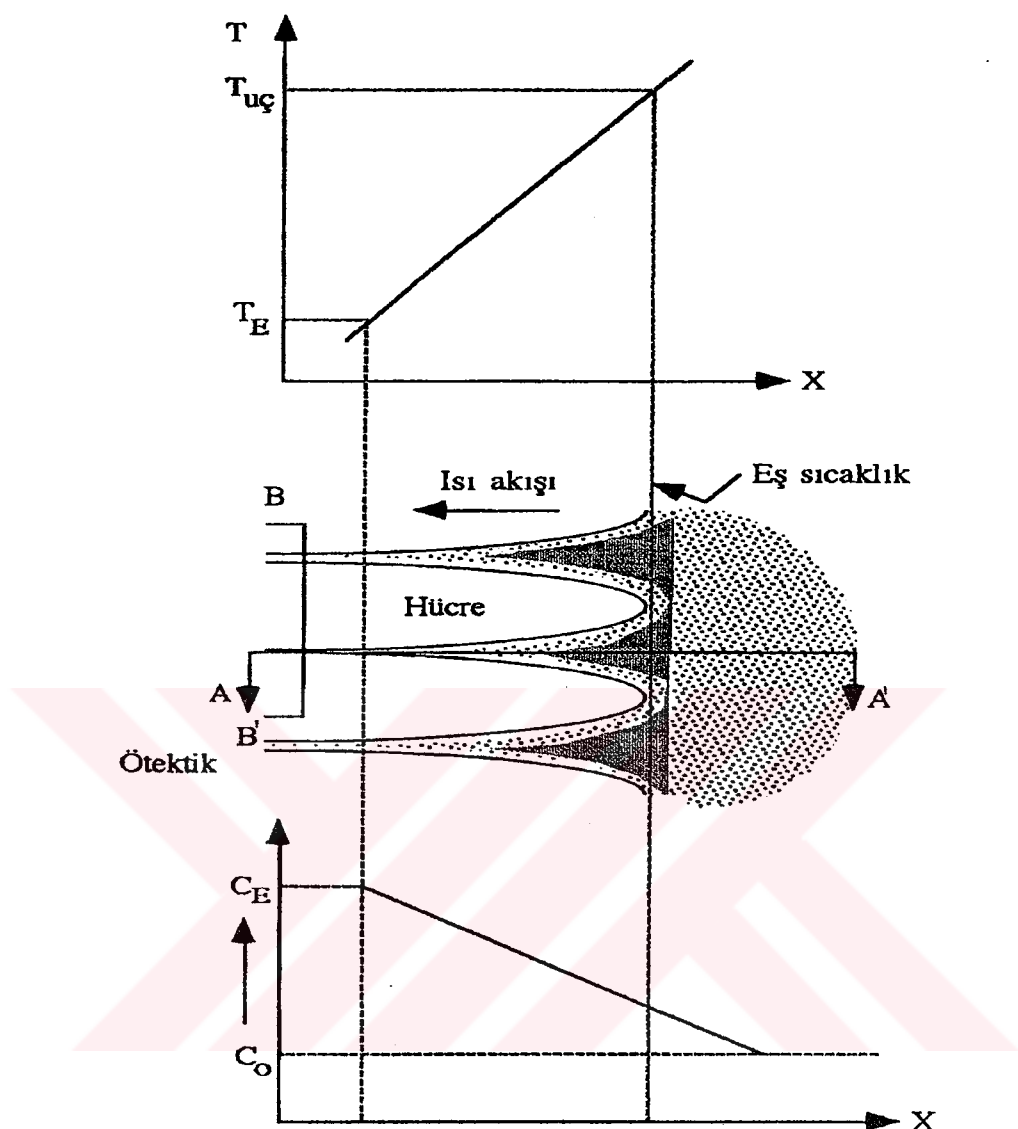
1.6.2.2. Hücresel katılışturma

Şekil (1.11)' de olduğu gibi, düzlemsel arayüzey ile katılan bir alaşım düşünelim. İlk katılan kısımın konsantrasyonu, ortalama C_o konsantrasyonunun altında olur, dolayısıyla bir kısım çözünen madde sıvı içine itilir. Katılışma ilerledikçe sıvı içine itilmiş çözünen madde arayüzeyde artar. Çözünence zenginleşen arayüzeyde, arayüzey sıcaklığı düşer. Eğer arayüzeydeki sıcaklık gradiyenti kritik sıcaklık gradiyentinden düşük ise katılan arayüzeyin önündeki sıvı katılışma denge sıcaklığının altında olur. Eğer arayüzeyin önündeki sıcaklık gradiyenti kritik sıcaklık gradiyentinden daha büyük ise arayüzey sıcaklığı normal sıcaklığın üstünde olacak ve katılan kısım tekrar erimeye başlayacaktır. Eğer düzlemsel arayüzeyin önündeki sıcaklık gradiyenti yavaş yavaş kritik sıcaklığın altına düşürülsse düzlemsel arayüzeyde ilk çıkışlıkların (dalgalanmaların) oluştuğu görülür. Şekil (1.11b)' de görüleceği üzere çıkışılardan sıvının içine doğru itilen çözünen maddeler, çıkışının ön ve yanlarında toplanıp bu bölgeleri çözünen maddelerce zenginleştirerek arayüzey sıcaklığını likudus denge sıcaklığının altına düşürürler.

Bu sebepten katı-sıvı arayüzeyi kararsız hale gelir ve arayüzey sıcaklığının en düşük olduğu yerlerden yeni çıktılar oluşur (Şekil 1.11d). Bu çıktılar tarafından itilen çözünen maddeler çıktılar arasında toplanırlar ve bu bölgeleri çözünen maddelerce zenginleştirirler bu durumda çıktılar sıvının içine doğru hücreler halinde ilerler ki bu katılışma biçimine “**Hücresel katkılaşma**” denir (Şekil 1.12 a-b). Hücrenin uçlarındaki sıcaklık, hücrenin gerisinden daha yüksektir, bu sebepten dolayı hücrenin gerisi ön kısmına nazaran çözünen madde yönünden daha zengindir. Bu durum sıcaklığın ve bileşimin bir fonksiyonu olarak Şekil (1.13)' de gösterilmiştir.



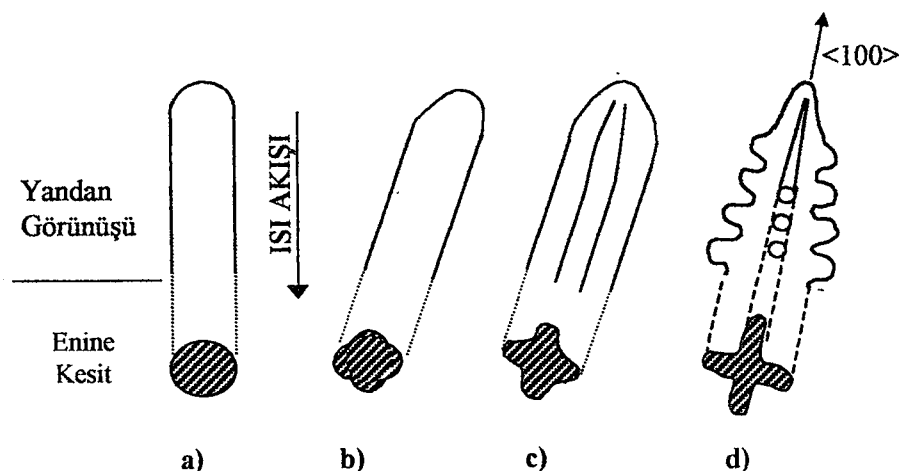
Şekil 1.12a-b. Kararlı hücresel katkılaşma yapısına geçiş



Şekil 1.13. Hücresel katılaştırma ile ilgili sıcaklık ve çözünen dağılımı (Porter ve Easterling, 1984).

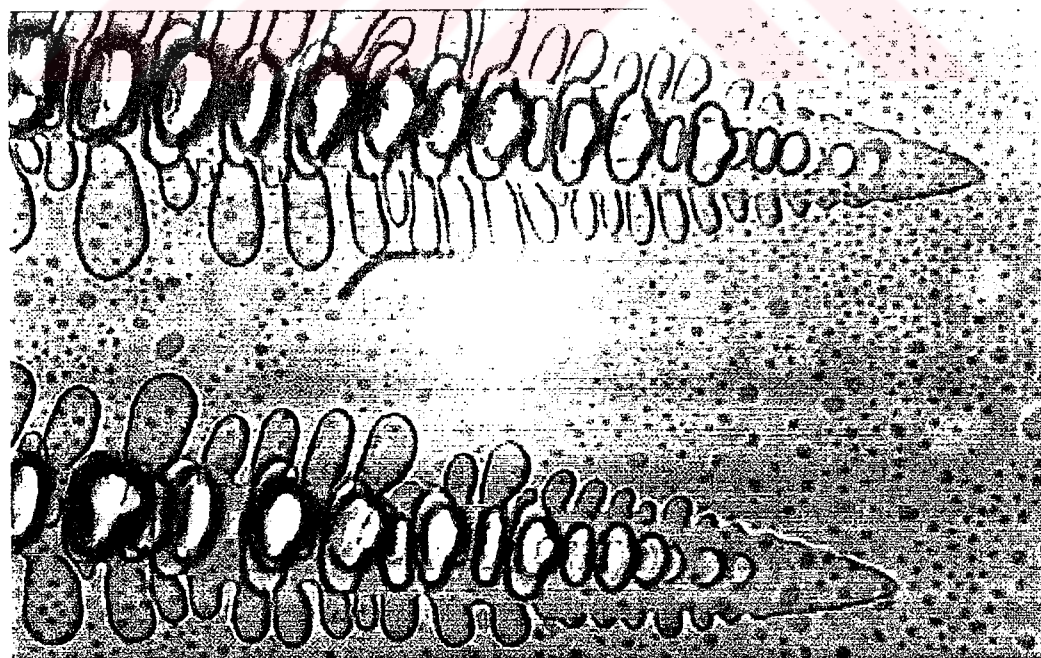
1.6.2.3. Dendritik katılaştırma

Alaşımların katılaştırılmasında dendritik büyümeye çok yaygın görülmektedir. Dendritik yapılar genellikle katılaştırma hızının kritik hızdan büyük olduğu durumlarda oluşur. Alaşımda çözünen miktarının artması kritik hız değerini düşürür, dolayısı ile katılaştırılarak üretilen çoğu ticari malzeme de dendritik yapı gözlemlenir. Dendritik katılaştırma, hücresel katılaştırmanın bir sonraki aşamasıdır, yani eriyik içindeki bileşim gradiyentleri yapısal aşırı soğumaya neden olur. Bu aşırı soğuma ise arayüzeyin bozularak hücresel hale geçmesine bu durumda çözünen miktarının yanlara doğru itilmesine imkan tanığından yapısal aşırı soğumayı daha da artırır (Şekil 1.14).



Şekil 1.14. Katılışma hızı artarken hücresel arayüzey yapısının dendritik yapıya geçisi, $V_a < V_b < V_c < V_d$ a) Düşük hızlarda büyüyen düzgün hücre, b) $<100>$ dendritik yönelimde büyüyen hücresel-dendritik yapı, c) Köşeli hücre yapısı, d) Yana doğru ikincil kolların başlangıcını gösteren dendrit (Flemings, 1974).

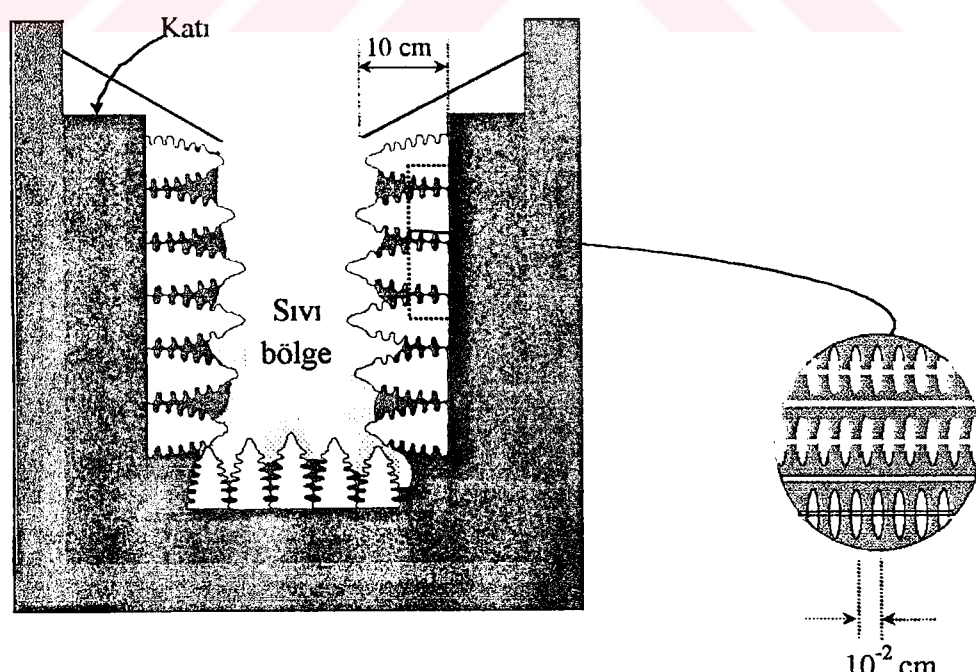
Neticede birincil (ana) kollara dik ikincil kollar oluşur ve büyür. Bu çam ağacına benzer yapı “**Dendritik katılışma yapısı**” olarak bilinir (Şekil 1.15).



Şekil 1.15. Dendritik katılışma yapısı

Katılışma sıcaklığının üzerinde eritilen bir alaşım eriyiğinin uygun bir kalıp içinde dendritik olarak katılıştığını düşünelim (Şekil 1.16). Solidus sıcaklığının üzerinde kalıp kenarında alaşım tamamen katılışmıştır. Likudus sıcaklığının üzerinde merkezi bölgede ise alaşım tamamen sıvı durumdadır. Bu iki bölge arasındaki solidus ve likudus sıcaklığı arasında kalan bölge ise, hem katı hem de sıvı özellik taşıdığınından “Yumuşak (hamur) bölge” olarak bilinir. Dendrit uçlarına yakın bölgede bulunan sıvı hacmi içerisindeki bileşim katılışma süresince sıvinin başlangıçtaki bileşimine oldukça yakın değerdedir. Dendrit kolları arasında ve özellikle yumuşak bölgenin soğumuş kısımlarında çözünen miktarı artmıştır yani bu bölgeler çözünen maddelerce zenginleşmiştir. Buna sebep olan şey daha önce bahsedildiği gibi büyüyen katı tarafından çözünen miktarının sıvı içersine geri itilmesidir.

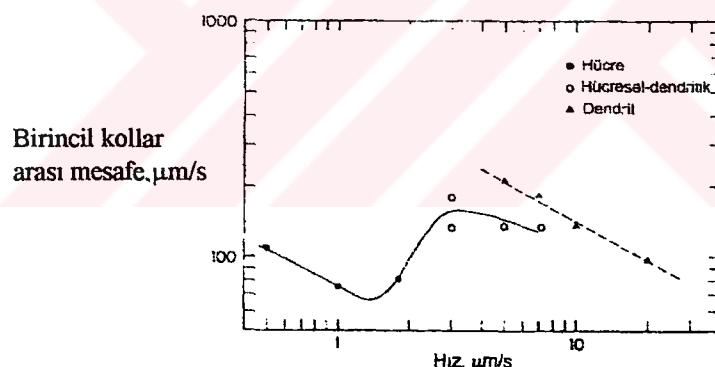
Şekil (1.16)' da görülen dendritler gerçekte mikro skalada daha çok sayıda fermuar dişleri gibi birbirine çok yakın ve sıkı durumdadır. Gerçek ölçekte küçük dendritler arası sıvı içinde önemli olmayan konsantrasyon farklılıklarını olmaktadır ve bu mesafe boyunca difüzyonun olacağı düşünülmektedir. Diğer tarafta yumuşak bölgenin genişliği, ikincil dendrit kol mesafesinden çok daha büyük olduğundan bu mesafeler boyunca difüzyon ihmali edilebilir (Hughel ve Bolling, 1971, Becherman ve Wang, 1994).



Şekil 1.16. Bir kalıp içinde dendritik katılışma modeli (Hughel ve Bolling, 1971)

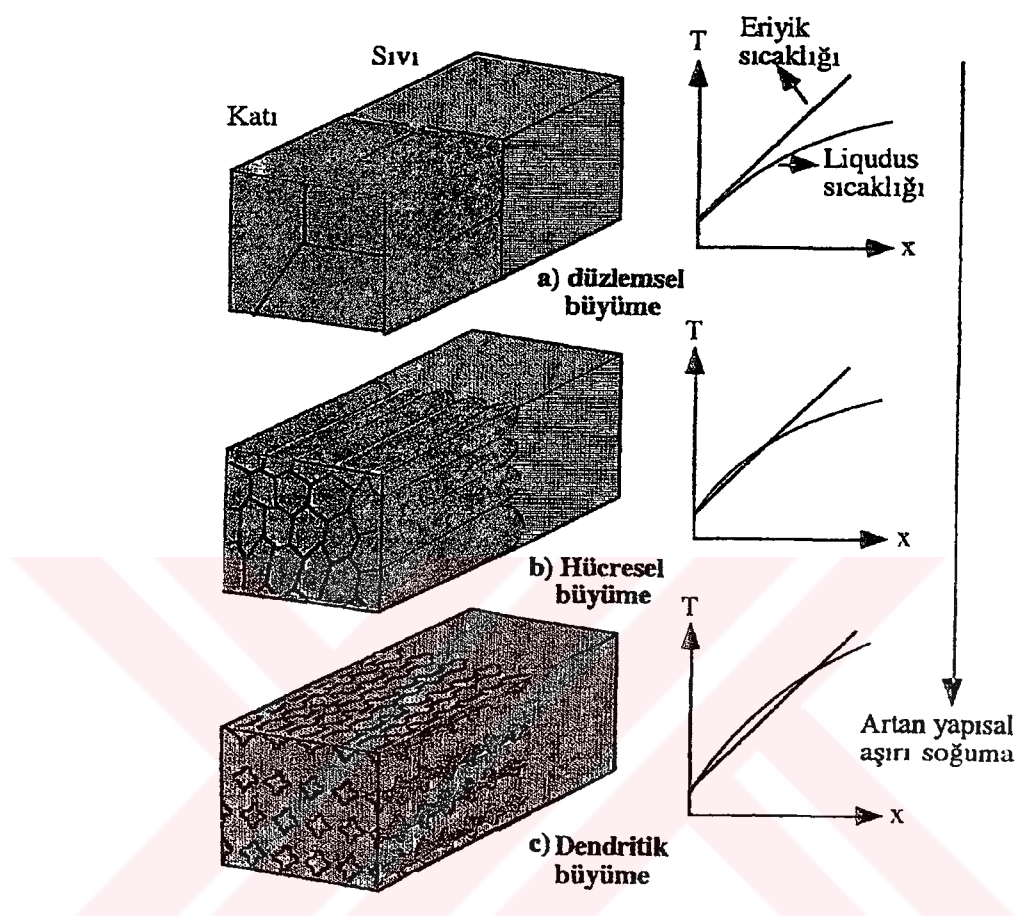
Dendritik katılışma yapısında birincil kollardan çok daha fazla sayıda ikincil kollar mevcuttur. Eğer katılışma tamamlanmışsa bütün dendritler verilen bir çekirdekten tek bir tane biçiminde örüllerken dendritik yapıyı oluşturur. Dendrit kolları arasındaki düzensiz kristolografik yönelimler genellikle sadece birkaç derecedir ve bu yüzden düşük açılı tane sınırlarıyla çevrelenir. Kristolografik yönelimler eğer 10° den daha fazla ise o zaman bizzat kristallerin kendisi yapıdan ayrılr bu esnada kristalde dislokasyon oluşur (Edwards ve Endean, 1990).

Katılma yapısı bölgesel katılıştırma hızına ve sıcaklık gradyentine göre değişmektedir. Bunun anlamı şudur; eğer uygulanan katılıştırma hızı yeterince düşükse çözünen madde zamanla arayüzeyden sıvı içine itilir, bunun neticesinde arayüzey düzlemleştiği için katılıştırma düzlemsel olur. Diğer taraftan yüksek büyütme hızlarında çözünen maddesi arayüzeyde yiğilir, yapısal aşırı soğuma için potansiyel oluşturur ki bu durumda yapısal aşırı soğuma şiddetine bağlı olarak oluşan yapı hücresel veya dendritik biçimde olur (Şekil 1.17).



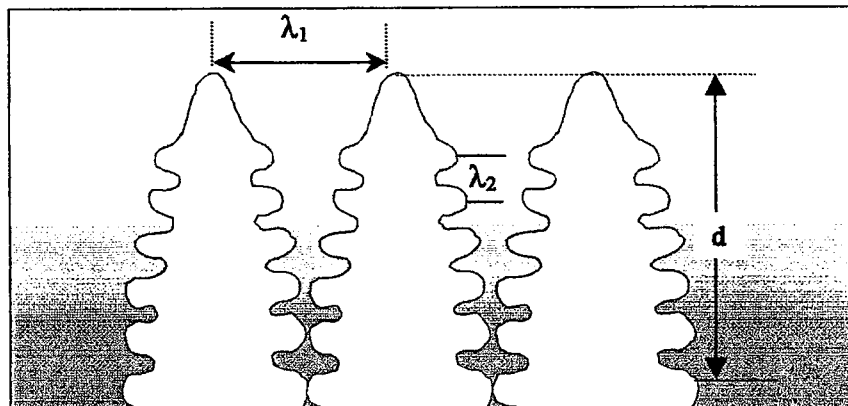
Şekil 1.17 Katılma hızının, $G=3 \text{ K/mm}^2$ de doğrusal katılıştırılan Pivalik asit - Etanol sisteminde oluşan hücresel, hücresel-dendritik ve dendritik yapılara etkisi (Trivedi, 1990)

Şekil (1.18)' de arayüzeyden uzaklık (x) ile değişen likudus sıcaklığına göre çözünen birikiminin bir sonucu olarak üç farklı durum görülmektedir. Şekil (1.18a)' da sıcaklık gradiyenti yüksektir ve likudus sıcaklığı eriyik sıcaklığından daha düşük olduğundan dolayı yapısal aşırı soğuma yoktur ve büyümeye düzlemsel biçimdedir. Şekil (1.18b)' de sıcaklık gradiyenti yeteri kadar düşük olduğundan sıvı içine doğru küçük miktarda soğuma oluşmakta ve sonuçta hücresel büyütme oluşturmaktadır. Şekil (1.18c)' de ise sıcaklık gradiyenti çok düşük olduğundan yapısal aşırı soğuma büyktür ve bu durumda **dendritik katılışma** olmaktadır (Edwards ve Endean, 1990).

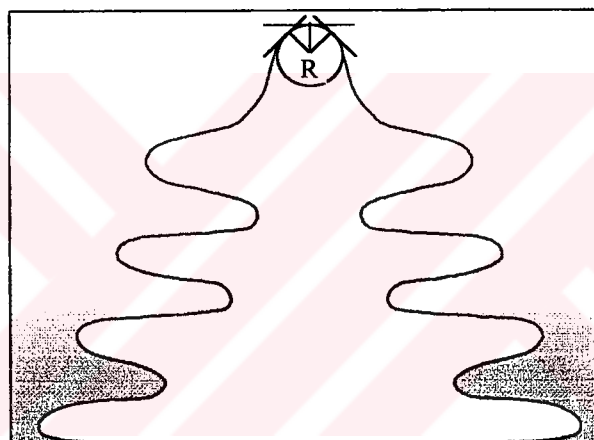


Şekil 1.18. Yapısal aşırı soğumaya bağlı olarak katılışma biçimlerinin değişimi (Edwards ve Endean, 1990).

Eğer uygulanan katılıştırma hızı yüksek ise ince dendritik yapı elde edilir, tane yapısı küçülür, bu yüzden malzemenin sertliği ve mukavemeti artar (Edwards ve Endean, 1990). Katılıştıralarak üretilen malzemelerin fiziksel ve mekaniksel özellikleri mikroyapı parametreleri (λ_1 , λ_2 , R ve d)' ne şiddetli bir biçimde bağlıdır (Edwards ve Endean, 1990). Doğrusal katılıştırmada dendritik yapı (Birincil kollar arası mesafe λ_1 , ikincil kollar arası mesafe λ_2 , dendrit uç yarıçapı R ve yumuşak bölge derinliği d, alaşımın bileşimine (C_o), büyütme hızına (V) ve sıcaklık gradyentine (G) bağlı olarak değişmektedir (Şekil 1.19a-b). Bu özellik ise malzemeye yeni kullanım alanları yaratmaktadır. Bu sebeplerden dolayı son yıllarda dendritik katılıştırma konusu önem kazanmış ve pek çok çalışma yapılmıştır.



Şekil 1.19a. Dendrit yapı parametreleri olan (λ_1 , λ_2 , d) gösterimi



Şekil 1.19b. Dendrit yapı parametresi olan dendrit uç yarıçapının (R) gösterimi

1.7. Sonuç

Bu bölümde katıllaşma ve katılıştırma ile ilgili temel kavramlar, düzlemsel, hücresel ve dendritik katılıştırmayı kısaca açıkladık. İkinci bölümde ise dendritik katılıştırma ile ilgili literatürde yer alan teorik ve deneysel çalışmalar hakkında bilgi verilecektir.

BÖLÜM 2

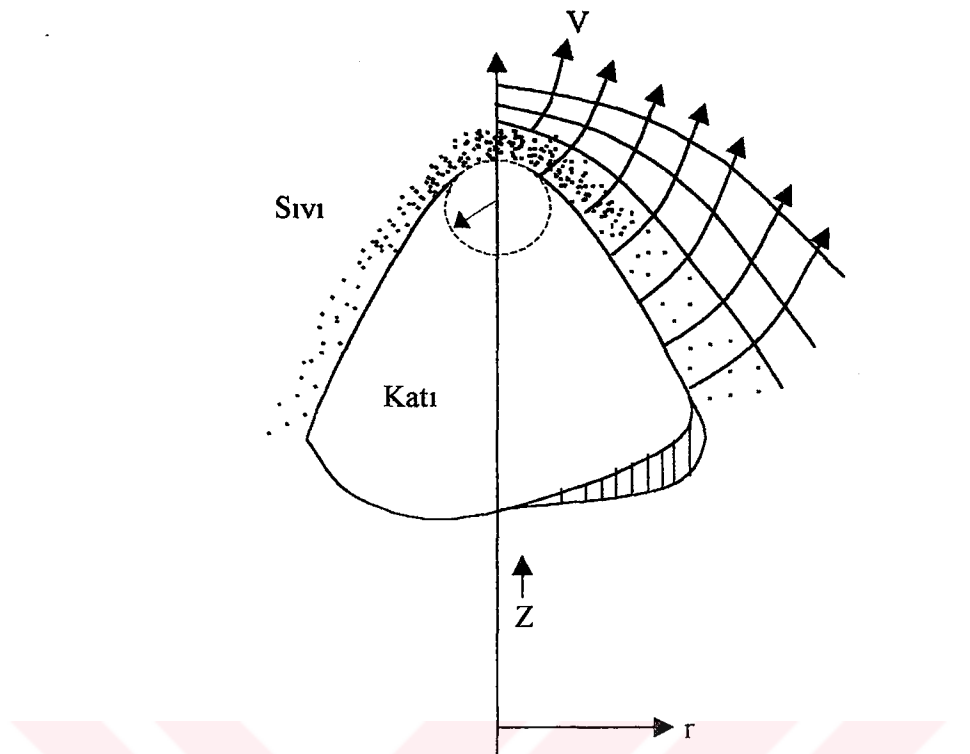
DENDRİTİK KATILAŞTIRMA İLE İLGİLİ LİTERATÜR ARAŞTIRMASI

2.1. Giriş

Bu bölümde denritik katilaştırma ile ilgili literatürde yer alan dendrit büyümeye modelleri, dendritik mikroyapı parametreleri (λ_1, λ_2, R ve d) ile katilaştırma parametreleri (V, G ve C_o) arasında nasıl bir bağlantı olduğunu tespit etmek için ileri sürülen teorik modelleri ve deneysel çalışmaları ele alacağız.

2.2. Ivantsov Modeli

Dendritik büyümeyenin şekil koruyan çözümünü ilk olarak Papapetrou geometrik tartışmaları kullanarak parabolik arayüzeyin izotermal bir şekilde sabit hızda büyüğünü göstermiştir (Billia ve Trivedi, 1993). Buna müteakip olarak Ivantsov parabolik iğne şeklindeki dendritin izotermal sınır koşulları altında detaylı nitel bir model geliştirerek dendrit probleminin kararlı çözümünü elde etmiştir (Billia ve Trivedi, 1993), (Şekil 2.1).



Şekil 2.1. R uç yarıçapında ve V sabit hızla z yönünde büyüyen Ivantsov' un parabolik dendritik şekli (Esaka ve Kurz, 1985).

Dendrit uç hızı ile aşırı doyma arasındaki bağıntı aşağıdaki şekilde verilir.

$$\Omega = \left(\frac{1}{2} Pe_R \right) \exp \left(\frac{1}{2} Pe_R \right) E_1 \left(\frac{1}{2} Pe_R \right), \quad (2.1)$$

Burada Ω boyutsuz aşırı doyma olup $(C_t - C_o)/[C_t(1-k)]$ ' ya eşittir. $E_1(Pe_R)$ üstel integral fonksiyonudur ve Pe_R dendrit ucunun çözünen Peclet sayısı olup değeri VR/D 'ye eşittir. Bundan sonraki incelemelerde basitlik açısından Ivantsov fonksiyonunu, (denklem 2.1), $Iv(\frac{1}{2} Pe_R)$ olarak göstereceğiz. Denklem (2.1)' de Ω ' nin değeri yerine koyularak, dendrit uç konsantrasyonu elde edilir (Billia ve Trivedi, 1993).

$$C_t = \frac{C_o}{1 - (1-k) Iv(\frac{1}{2} Pe_R)} \quad (2.2)$$

Faz diyagramı kullanılarak, boyutsuz uç aşırı soğuması (alt soğuma) elde edilir.

$$\Delta T^* = \frac{kIv\left(\frac{1}{2}Pe_R\right)}{1 - (1-k)Iv\left(\frac{1}{2}Pe_R\right)} \quad (2.3)$$

Yukarıdaki sonuç dendrit aşırı soğumasının VR çarpımı ile orantılı olan Peclet sayısının bir fonksiyonu olduğunu gösterir. Böylece, hızın sabit olduğu doğrusal katilaştırma deneyinde, Ivantsov modelinden dendrit uç aşırı soğuması ile dendrit uç yarıçapının çoklu (katmerli) çözümleri elde edilir (Billia ve Trivedi, 1993). Ivantsov denkleminde sadece çözünen etkisi göz önüne alındığından, bulunan tüm çözümler kararsız arayüzeylere sebep olur, dolayısıyla difüzyon denkleminin çözümü kararlı dendrit büyümeye problemini tam olarak açıklamakta yetersiz kalır (Billia ve Trivedi, 1993). Çünkü, çözünen etkisi araryüzeyi kararsız hale getirir ve dendritlerin uç bölünmesine neden olur. Bu nedenle, dendrit büyümeye modeli arayüzeyi kararlı hale getiren etkileri de göz önünde bulundurması gereklidir. Arayüzeyin kararlı olmasını sağlayan kılcallık ve arayüzey ekleme kinetiği etkileri ile Ivantsov difüzyon modelinin birleştirilmesi gereklidir.

Geçmiş 50 yıl boyunca çok sayıda kararlı hal dendrit kristal büyümeye teorileri ileri sürülmüştür. Bu teorilerin çoğu Ivantsov'un formülünü modifiye etmiştir. Buna ilaveten belirli arayüzey şartlarında hem zamana hem de kararlı hal büyümeye bağlı ısı transferini de içeren numerik simülasyonlar geliştirilmiştir (Mc Fadden ve ark., 1993, Karma ve Rappel, 1996, Bennett ve Brown, 1989, Pines ve ark., 1990).

2.3. Kılcallık Etkisi (Modifiye Edilmiş Ivantsov Modeli)

Dendrit uç bölgesinin eğriliğinden dolayı kılcallık etkisi denge uç sıcaklığını ve uç kompozisyonunu önemli derecede değiştirebilir. Mullins ve Sekerka tarafından kılcallığın arayüzey morfolojisini kararlı hale getirici etkisi olduğu gösterilmiştir (Billia ve Trivedi, 1993). Dendrit büyümeye problemine kılcallık etkisi paraboloid arayüzeyde sınır koşulu ile dahil edilir. İsotropik γ arayüzey enerjisine sahip arayüzeyde sınır koşulu;

$$\Delta T_\phi = m(C_o - C_\phi) - \Gamma(K_1 - K_2) \quad (2.4)$$

olarak yazılabilir.

Burada Γ kılcallık sabiti (Gibbs-Thomson sabiti) olup değeri $\gamma/\Delta S'$ ye eşittir. Kılcallık etkisi Ivantsov çözümüne dahil edilirken iğne şeklinin kılcallık etkisinden fazla etkilenmediği kabul edilir. Ayrıca parabol boyunca konsantrasyon değişiminin dendrit ilerisindeki konsantrasyon değişimine nazaran küçük olduğu kabulü yapılarak, parabolün uç bölgesi ile dendrit ucundaki konsantrasyonların aynı olduğu varsayımda bulunmuştur. Bu çözüm, Sekerka ve arkadaşları (1967) tarafından önerilmiş olup “modifiye edilmiş Ivantsov çözümü” olarak adlandırılır. Dendrit uç alt soğumasına kılcallık aşırı soğumasının dahil edilmesi ile aşağıdaki ifade elde edilir.

$$\frac{\Delta T}{\Delta T_o} = \frac{kIv\left(\frac{1}{2}Pe_R\right)}{1 - (1-k)Iv\left(\frac{1}{2}Pe_R\right)} + \frac{2\Gamma}{R\Delta T_o} \quad (2.5)$$

Denklem (2.5)' in sağ tarafındaki birinci terim çözünen difüzyonu etkisinden, ikinci terim kılcallık etkisinden kaynaklanan dendrit uç aşırı soğumasıdır. Verilen bir hız için, birinci terimdeki aşırı soğuma, dendrit uç yarıçapının büyümesiyle artarken ikinci terim yarıçapının büyümesi ile azalır.

Mikroyapı parametrelerini($\lambda_1, \lambda_2, R, d$) hesaplamak için bir çok teorik ve deneyel çalışmalar yapılmıştır. Bu çalışmaları kısaca inceleyelim.

2.4. Birincil Dendrit Kol Mesafesi İçin Teorik Modeller

Literatürde birincil dendrit kollar arası mesafe(λ_1) için başlıca teorik modeller; Hunt (1979), Kurz-Fisher (1981), Trivedi (1984) ve Hunt-Lu (1996) tarafından sunulmuştur. Birincil dendrit kol mesafesi(λ_1) için verilen bu modelleri sırayla inceleyelim.

2.4.1. Hunt modeli (Minimum dendrit ucu aşırı soğuması kriteri)

Hunt, Bower ve arkadaşları (1996) tarafından ileri sürülen komşu hücreler arasındaki difüzyon alanın karşılıklı etkileşimi yaklaşımını kullanarak küresel bir dendrit cephesinde katilaştırma parametreleri (G, V, C_o) ile λ_1 arasındaki ilişkiyi minimum aşırı soğuma kriteri ile tanımlanan dendritler için aşağıdaki şekilde verilmiştir (Hunt, 1990, Hunt, 1991, Burden ve Hunt, 1974, Laxmanan, 1985, Laxmanan, 1985).

Hunt modeline göre;

$$\lambda_1 = 2.83[m(k-1)D\Gamma]^{0.25} C_o^{0.25} V^{-0.25} G^{-0.5} \quad (2.6)$$

burada, m likudus eğimi, k çözünen dağılım katsayısı, D sıvıdaki difüzyon katsayısı, Γ ise Gibbs-Thomson (kılcallık sabiti) katsayısidır.

2.4.2. Kurz-Fisher modeli (Marjinal kararlılık kriteri)

Bir başka model, λ_1 ' in G , V ve C_o ' in fonksiyonu olarak Kurz-Fisher tarafından ileri sürülmüştür. Kurz-Fisher (1981), izole edilmiş dendrit yada hücre için marjinal denge kriterini kullanarak, hücrenin yada dendritin şeklinin elipsoid olduğu tahmininde bulunup, düşük hız ($V < V_{cs}/k$) ve yüksek hız ($V > V_{cs}/k$) bölgeleri için kendi sonuçlarını daha basit forma getirmiştirlerdir.(Burada V_{cs} , düzlemsel arayüzeyin kararsız hale geçiş hızıdır.)
 $V > V_{cs}/k$ değeri için;

$$\lambda_1 = 4.3[m(k-1)D\Gamma/k^2]^{0.25} C_o^{0.25} V^{-0.25} G^{-0.5} \quad (2.7)$$

ifadesi elde edilmiştir.

2.4.3. Trivedi modeli

Diğer bir teorik model Trivedi (1984) tarafından geliştirilmiş ve λ_1 ' i G , V ve C_o ' in fonksiyonu olarak elde etmiştir. Trivedi modeli, Hunt modelinin düzeltilmiş halidir ve bu modelde marjinal (sınırsal) kararlılık kriteri kullanılmıştır.

Bu modele göre λ_1 ;

$$\lambda_1 = 2.83[m(k-1)D\Gamma L]^{0.25} C_o^{0.25} V^{-0.25} G^{-0.5} \quad (2.8)$$

biçiminde ifade etmiştir. Burada L harmonik paturbasyona bağlı olan bir sabittir.

λ_1 için yüksek büyümeye hızlarında bu modeller birbirine benzerdir ve bunlar arasındaki tek fark önlerindeki sabittir. Bizim yaptığımız deneyler $V > V_{cs}$ hızlarında olduğu için bu modellerle kıyaslama yapılacaktır.

2.4.4. Hunt-Lu modeli

Son zamanlarda Hunt ve Lu, nümerik bir model kullanarak hücresel veya dendritik düzendeki büyümeler için incelemelerde bulunmuşlar ve elde ettikleri analitik ifadeleri nümerik sonuçlara uygun hale getirmiştir.

Hunt-Lu (1996), modeline göre konveksiyonun yokluğunda, boyutsuz birincil dendrit kol mesafesi aşağıdaki şekilde verilmiştir.

$$\lambda_1 = 0.07798 V^{(a-0.75)} (V' - G')^{0.75} G'^{-0.6028} \quad (2.9)$$

Burada; $\lambda' = \lambda \Delta T_o / \Gamma k$, $G' = G \Gamma k (\Delta T_o)^2$, $V' = V \Gamma k / D \Delta T_o$ boyutsuz parametrelerdir.

$$\Delta T_o = m C_o (k-1) / k \quad \text{ve} \quad a = 1.131 - 0.1555 \log G - 0.007589 (\log G')^2.$$

2.5. İkincil Dendrit Kol Mesafesi İçin Yaklaşımlar

İkincil dendrit kol mesafesi için modeller bulunmayıp tahminler bulunmaktadır. Bu tahminler Langer ve Müller-Krumbhaar (1980), Huang ve Trivedi-Somboonsuk (1984) tarafından ileri sürülmüştür.

Langer ve Müller-Krumbhaar (1980), bir dendrit gövdesinin her iki kenarı boyunca oluşan kararsızlıkların (çıkıntılarının) detaylı bir nümerik analizini yapmışlar ve $\lambda_2/R = 2$ oranını kestirmiştirlerdir. Trivedi ve Somboonsuk bu teorik değeri kullanarak göz önüne alınan durum için (küçük peclet sayıları için) λ_2 'nin değişimini aşağıdaki bağıntıyla ifade etmişlerdir.

$$\lambda_2 = (8 \Gamma D L / k V \Delta T_o)^{0.5} \quad (2.10)$$

2.6. Dendrit Uç Yarıçapı (R) İçin Teorik Modeller

Önceki kısımda göz önüne alınan kriterler hesaba katılarak dendrit uç yarıçapı'ının katilaştırma hızı(V) ve alaşımın bileşimi(C_o) arasındaki ilişkiyi bulmak için başlıca üç model geliştirilmiştir. Bunlar sırasıyla aşağıda verilmiştir.

Hunt modeline (Hunt, 1979) göre;

$$R = [2\Gamma D / m(k - 1)]^{0.5} C_o^{-0.5} V^{-0.5} \quad (2.11)$$

Kurz-Fisher modeline (Kurz ve Fisher, 1981) göre;

$$R = 2\pi [\Gamma D / m(k - 1)]^{0.5} C_o^{-0.5} V^{-0.5} \quad (2.12)$$

ve Trivedi modeline (Trivedi, 1984) göre;

$$R = [2k\Gamma D / m(k - 1)]^{0.5} C_o^{-0.5} V^{-0.5} \quad (2.13)$$

İfadeleri bulunmuştur. Bu ifadelerden de görüleceği üzere teorik modeller benzerdir ve bunlar arasındaki fark önlerindeki sabit kadardır.

2.7. Yumuşak Bölge Derinliği (d) İçin Yaklaşımlar

Yumuşak bölge derinliği d , dendrit ucu ve gövdesinin kökü arasındaki mesafe olarak tanımlanır. Konveksiyonun olmadığı ikili alaşım sistemleri için (Rutter ve Chalmers, 1953, Tiller ve ark., 1953) yapısal aşırısoğuma kriterinin kullanılmasıyla d aşağıdaki formda verilir.

$$d \equiv m(C_E - C_O) / G \quad (2.14)$$

Burada, kaynak (Kurz ve Fisher, 1989, Gündüz ve Çadırlı, 2002)'deki faz diyagramında görüleceği gibi $G > C_{SE}$ iken C_L 'nin C_E 'ye eşit olduğu ve bu bileşime karşı gelen sıcaklığın solidus sıcaklığı T_s ve $C_t (C_t \equiv C_o)$ 'ye karşılık gelen sıcaklığın likudus sıcaklığı T_L olduğu görülebilir. Bundan dolayı d' nin T_L ile T_s arasındaki mesafeyle orantılı olduğu kabul edilir. Bu sıcaklık farkının kullanılmasıyla,

$$\Delta T_o = -m\Delta C_o = T_L - T_s \quad (2.15)$$

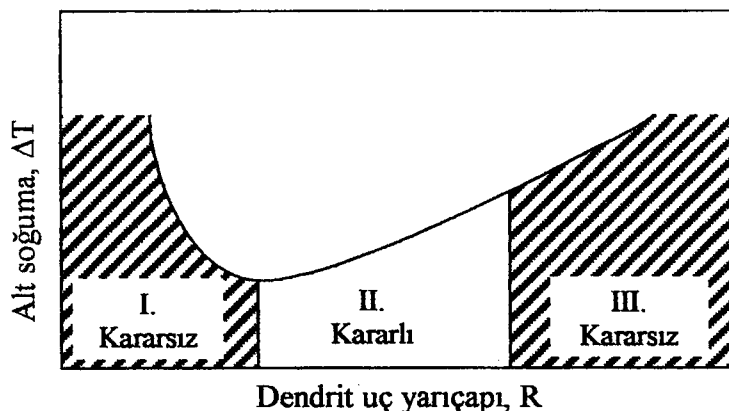
olarak yazılır. 2.14 ve 2.15 deklemleri kullanılarak yumuşak bölge derinliği d ,

$$d = \frac{\Delta T_o}{G} \quad (2.16)$$

olarak elde edilir.

2.8. Kararlılık Analizi (Marjinal Kararlılık Kriteri)

Deneysel gözlemlerde verilen bir hız için dendrit uç yarıçapı, Ivantsov modelinin sonucu olan çoklu çözümlerin aksine, belirli bir değer aldığı bulunmuştur. Bununla kararlı çözümlerin biri hariç kararsız arayüzey verdiği sonucuna varılır. Langer ve Müller-Krumbhaar (1977) dendrit uç bölgесine lineer kararlılık analizini uygulamışlardır. Langer ve Müller- Krumbhaar, dendrit ucuna yakın bölgelere birinci derece düzeltmeli Ivantsov parabolüne etkiyen perturbasyonların amplifikasyon hızı üzerinde çalışarak elde ettikleri kararlı arayüzeyin yarıçapını belirlemişlerdir. Şekil (2.2)' de elde ettikleri kararlı ve kararsız arayüzeyin yarıçapları şematik olarak aşırı soğumanın fonksiyonu olarak verilmiştir. I. Bölgede tüm yarıçap değerleri, aşırı soğumanın minimum olduğu yarıçap değerinden küçük olduğu sonucunu bulmuşlardır. III. Bölgede ise kritik değerden yüksek dendrit uç yarıçap değerinin kılcıllık etkisinin oldukça azalmasından dolayı dendrit ucunun bölünmesine neden olmasıyla kararsız olduğunu göstermişlerdir. Böylece, kararlı büyüyen dendrit arayüzeyinin yarıçap değerleri belirli bir aralıkta olacağı sonucuna varmışlardır. Aynı zamanda, kararlı aralık içerisinde yan kolların etkisinden dolayı yarıçap değerlerinin kararsız olabileceğini tartışmışlardır. Yan kolların oluşumu, dendrit ucunun kararlılığını etkiler ve uç yarıçapı en yüksek kararlı değeri alana dek artar. Dendrit ucu en yüksek kararlı yarıçap değerini seçer ve bu seçim işlemi marjinal kararlılık kriteri olarak adlandırılır.



Şekil 2.2. Lineer kararlılık analizinden beklenen dendritik uç yarıçapının fonksiyonu olarak dendrit uç aşırı soğomasında kararlı ve kararsız bölgeler (Langer ve Müller- Krumbhaar (1977)).

Langer ve Müller-Krumbhaar marjinal olarak dendritik büyümeye için düşük hızdaki dendrit uç yarıçapının;

$$R = \left[\frac{I_D d_o}{2\sigma^*} \right]^{\frac{1}{2}} \quad (2.17)$$

olduğunu bulmuşlardır. Burada σ^* kararlılık sabiti (selection constant), d_o kılcallık uzunluğu (Capillarity lenght) ve I_D çözünen difüzyon uzunluğunu ifade etmektedir. Çözünen difüzyon uzunluğu ;

$$I_D = \frac{2D}{V} \quad (2.18)$$

ifadesine eşittir (Trivedi ve Somboonsuk, 1985, Akamatsu ve ark., 1995). Yine burada D, Çözünen difüzyon katsayısı ($\mu\text{m}^2/\text{s}$), V, Büyütme hızı ($\mu\text{m}/\text{s}$)'dır. Çözünen kılcallık uzunluğu ise;

$$d_o = \frac{\gamma}{\Delta S k \Delta T_o} \quad (2.19)$$

eşittir. Burada ΔT_o aşırı soğuma sıcaklığı ($\Delta T_o = \frac{mc_o(1-k)}{k}$) ve Γ ise Gibbs-Thomson katsayı ($\Gamma = \frac{\gamma}{\Delta S}$)'dır (Bayender ve ark., 1998). ΔT_o ve Γ ifadelerinin açık şekli denklem (2.19)'da yerine yazılırsa;

$$d_o = \frac{\Gamma}{mc_o(1-k)} \quad (2.20)$$

olur (Trivedi ve Somboonsuk, 1985, Akamatsu ve ark., 1995). Denklem (2.17)'nin her iki tarafının da karesi alınır daha sonra denklem (2.18) ve (2.20) bu ifade de yerine yazılırsa, kararlılık sabiti ifadesi;

$$\sigma^* = \frac{D\Gamma}{VR^2 mc_o(1-k)} \quad (2.21)$$

olarak bulunur (Billia ve Trivedi, 1993). Yukarıdaki denklem marjinal kararlılık teorisinin temelini teşkil eder ve verilen bir sistemde VR^2 'nin belirli bileşim ve sıcaklık gradyentinde sabit değer alması beklenir. Dendrit ucunda çözünen akı dengesinin (Denklem 1.15) uygulanması ile

$$mG_c = -(V/D)mC_i(1-k) \approx -(V/D)k\Delta T_o, \quad (2.22)$$

elde edilir. Burada akı denkleminin her iki yanı m ile çarpılmış ve terimdeki yaklaşımada üç aşırı soğumasının küçük olduğu varsayılmıştır. Bu yaklaşım sadece düşük hızlarda dendritik büyümeye için geçerlidir. Yukarıdaki ifadenin denklem (2.21)'de yerine koyulması ile,

$$mG_c = \frac{\Gamma}{\sigma^* R^2} \quad (2.23)$$

elde edilir. Bu sonuç Mullins ve Sekerka tarafından düzlemsel arayüzey kararlılığı için elde ettikleri ifadeye benzer. Çözünen etkisinde elde edilen nötral kararlılık koşulu yukarıdaki eşitliğin sol tarafına eşit olup sağ tarafta kılcallık etkisi ile dengelenmiştir. Denklem (2.23)'ün sol tarafının daha genel ifadesi $mG_c - G'$ dir. Bununla birlikte, düşük hızlarda dendrit büyümesinde, $mG_c \gg G$, sıcaklık gradyenti terimi ihmal edilebilir. Fakat oldukça yüksek hızlarda sıcaklık gradyenti terimi önemli olur.

Marjinal kararlılık kriteri deneysel sonuçları iyi bir şekilde açıklamasına rağmen, marjinal kararlı durumun diğer kararlı durumlar içinde neden seçildiğine bir gerekçe vermez (Billia ve Trivedi, 1993). İsotropik kılcallık etkisinden dolayı birinci derece düzeltme bulunan parabolik dendrit cephe şekli kabulu ile dendrit ucunun lineer kararlılık analizine dayanması, marjinal kararlılık kriterinin en büyük eksikliğidir. Arayüzey izotermal ise parabolik dendrit ucu için kararlı bir çözüm verir. Langer ve Müller-Krumbhaar (Langer ve Müller-Krumbhaar, 1977) parabolik dendrit şecline kararlılık analizini uygulamak için birinci derece düzeltmeleri ele almışlardır. İsotropik arayüzeysel enerji kabulünde kılcallık etkisinin dahil edilmesi tekil perturbasyon problemine dönüşür. Dolayısı ile küçükte olsa isotropik kılcallık etkisi bu modelde eklenirse kararlı dendrit büyümeye probleminin çözümü yoktur. Bu nedenle, anisotropik arayüzey özelliği de dahil edilerek kararlı büyümeye modeli elde edilmeye çalışılmaktadır (Billia ve Trivedi, 1993).

2.9. Literatür Taraması

Düzlemsel olarak katılan bir ara yüzey kararsız hale geldiğinde hücresel ve daha sonra da dendritik katlaşma başlar. Bu katlaşmalar bir çok araştırmacı tarafından incelenmektedir. Araştırmacıların amacı, kontrol edilebilen katlaşma hızı (V), sıcaklık gradyenti (G), ve alaşımın bileşimi (C_o) parametreleri yardımıyla; birincil kollar arası mesafesi (λ_1), ikincil kollar arası mesafesi (λ_2), dendrit uç yarıçapı (R) ve yumuşak bölge derinliği (d) parametrelerini ölçmek ve bunlar arasında ilişkiler kurabilmektir. Bu alanda pek çok deneysel ve teorik çalışmalar yapılmıştır (Somboonsuk ve ark., 1984, Huang ve ark., 1993, Taha, 1979, Grugel ve Zhou, 1989, Seetheraman ve ark., 1989, Trivedi ve Mason, 1991, Cattaneo ve ark., 1994, Tewari ve ark., 1994, Clyne, 1984, Han ve Trivedi, 1994, Schmidbauer ve ark., 1993, De Cheveigne ve ark., 1985, Taha, 1979, Dey ve Sekhar, 1993, Liu ve Kikaldy, 1994, Billia ve Trivedi, 1993, Çadırlı ve ark., 2000, Trivedi ve Somboonsuk, 1984, Huang ve Glicksman, 1981, Glicksman ve Sing, 1986).

2.9.1. Birincil dendrit kollar arası mesafeleri ile ilgili çalışmalar

Somboonsuk, Mason ve Trivedi (1984), Succinonitrile- %5.5 mol Aseton maddeleri ile sabit bir sıcaklık gradyenti ve kontrol edilmiş büyümeye hızlarında incelemeler yapmışlar ve birincil dendrit kollar arası mesafe ile büyümeye hızı arasında $\lambda_1 \propto V^{0.37 \pm 0.01}$ bağıntısının olduğunu bulmuşlardır. Hızın $1\mu\text{m}/\text{s}$ ' den daha küçük olduğu durumlarda, hız azalırken birincil dendrit kollar arası mesafelerin de aniden azaldığını görmüşler. Sıcaklık gradyentinin birincil dendrit kollara olan etkisini incelemişler ve birincil dendrit kollar ile sıcaklık gradyenti arasında $\lambda_1 \propto G^a$ bağıntısı olduğunu ve G arttıkça λ_1 ' in azaldığını gözlemişler. Hız değeri değişikçe a 'nın değerinin değiştiğini (Hız $10 \mu\text{m}/\text{s}$ ' de iken $a = 0.53 \pm 0.02$ değerini, hız $65 \mu\text{m}/\text{s}$ ' de iken $a = 0.43 \pm 0.02$ değerini) bulmuşlar.

Huang ve ark. (1993), Succinonitrile-%2.5 ağ. Ethanol maddelerini kullanarak üç farklı sıcaklık gradyentinde ve bunlara bağlı olarak farklı katılışma hızlarında yatay doğrusal katılıştırma metodunu kullanarak çalışmalar yapmışlar. Birinci durumda sıcaklık gradyentini $4.8 \text{ K/mm}'$ de sabit tutarak ve $3-54.2 \mu\text{m}/\text{s}$ aralığında değişen katılıştırma hızlarında ölçümler yaparak birincil dendrit kollar arası mesafeleri ölçmüştür ve $\lambda_1 \propto 470 V^{-0.421}$ bağıntısını bulmuşlardır. Bu bağıntı diğerleriyle pek uyum sağlamamaktadır. İkinci durumda bu defa sıcaklık gradyentini $10.8 \text{ K/mm}'$ de sabit tutarak ve $3-50 \mu\text{m}/\text{s}$ aralığında değişen katılıştırma hızlarında ölçümler yaparak birincil dendrit kollar arası mesafeleri ölçmüştür ve $\lambda_1 \propto 470 V^{0.254}$ bağıntısını bulmuşlardır. Üçüncü durumda ise sıcaklık gradyentini $7.8 \text{ K/mm}'$ de sabit tutarak ve $3-50 \mu\text{m}/\text{s}$ aralığında değişen katılıştırma hızlarında ölçümler yaparak yine birincil dendrit kollar arası mesafeleri ölçerek ve bu defada $\lambda_1 \propto 470 V^{0.331}$ bağıntısını bulmuşlardır.

Taha (1979), Succinonitrile-%2.5 ağ. Benzil maddeleri ile yatay doğrusal katılıştırma metodunu kullanarak, $1.6-9.5 \text{ K/mm}$ aralığındaki sıcaklık gradyentlerini ve $56-92 \mu\text{m}/\text{s}$ aralığındaki değişen büyümeye hızlarında birincil dendrit kollar arası mesafeleri ölçmüştür ve $\lambda_1 \propto k G^{-0.5} V^{-0.25}$ ($k=25 \pm 6 ; 17 \pm 2 \mu\text{m}^{3/4} \text{K}^{1/2} \text{s}^{-1/4}$) bağıntısını bulmuştur.

Grugel-Zhou (1989), Succinonitrile-%1.4 ağ Su maddeleri ile yatay doğrusal katılıştırma metodunu kullanarak $140 \mu\text{m}/\text{s}$ sabit katılıştırma hızında çalışmalar yaparak birincil dendrit kollar arası mesafeler ile sıcaklık gradyenti arasında $\lambda_1 \propto G^{0.5}$ bağıntısı ile belirtildiği gibi bir ilişki bulunduğu tespit etmişlerdir.

Taha (1979), Pivalik asit-%0.076 ağ. Aseton maddeleri ile 0.3 K/mm sabit sıcaklık gradyentinde yatay doğrusal katılaşırma metodunu kullanarak, 1.5-20 μm /s aralığındaki değişen katılaşırma hızlarında ölçümler yaparak ikincil dendrit kollar arası mesafeleri olmuş ve $\lambda_1 \propto kG^{-0.5} V^{-0.25}$ ($k=23 \pm 3 \mu\text{m}^{3/4} \text{K}^{1/2} \text{s}^{-1/4}$) bağıntısını bulmuştur.

Birincil dendrit kollar arası mesafeler, λ_1 , üzerine yapılan bütün incelemelerde artan sıcaklık gradyenti ve büyümeye hızıyla dendrit mesafelerinin azaldığı gözlenmiştir. Kısaca, bütün çalışmaların yaklaşık olarak birbirleriyle uyum içinde oldukları görülmüştür.

2.9.2. İkincil dendrit kollar arası mesafeleri ile ilgili çalışmalar

Trivedi ve Somboonsuk (1984), Succinonitrile-%4 ağ. Aseton sisteminde doğrusal katılaşırma metodunu kullanılarak, 6.7 K/mm sabit sıcaklık gradyentinde hızı aniden 0' dan 3.4 $\mu\text{m}/\text{s}$ ' ye çıkarmışlar ve arayüzeyin düzlemsel yapıdan dendritik yapıya geçtiğini gözlemişlerdir. Daha sonra hızı 5.8 $\mu\text{m}/\text{s}$ ' ye çıkararak ikincil dendrit kollar arası mesafeleri ölçümler. Bu mesafelerin artan büyümeye hızlarında doğrusal olarak azaldığını gözlemişlerdir.

Somboonsuk, Mason ve Trivedi (1984), Succinonitrile-%5.5 mol Aseton maddeleri ile 6.7 K/mm sabit sıcaklık gradyentinde yatay doğrusal katılaşırma metodunu kullanarak ikincil dendrit kollar arası mesafelerin hız ile doğrusal olarak azaldığını bulmuşlar. 0.2-100 μm /s aralığındaki değişen katılaşırma hızlarında ölçümler yaparak $\lambda_2 \propto V^{-0.56 \pm 0.02}$ bağıntısını bulmuşlardır.

Seetharaman, Fabietti ve Trivedi (1989), Karbontetrabromür- Hekzakloratan ($\text{CBr}_4\text{-C}_2\text{Cl}_6$) maddelerinde, 3 K/mm değerindeki sıcaklık gradyentini ve 0.2-20 $\mu\text{m}/\text{s}$ aralığındaki büyümeye hızlarını kullanarak $\text{CBr}_4\text{-}%10.5$ ağ. C_2Cl_6 ve $\text{CBr}_4\text{-}%7.9$ ağ. C_2Cl_6 bileşimleri için ikincil dendrit kollar arası mesafeleri ölçümler. Ölçülen mesafenin her iki bileşimde de artan büyümeye hızları ile doğrusal olarak azaldığını gözlemişlerdir. İkincil dendrit kollar arası mesafeler ile büyümeye hızı arasında CBr_4 için $\lambda_2 \propto V^{-0.44 \pm 0.11}$ ve C_2Cl_6 için $\lambda_2 \propto V^{-0.45 \pm 0.025}$ bağıntılarını bulmuşlardır.

Trivedi ve Mason (1991), Pivalik asit-%0.82 ağ. Etanol ve Pivalik asit-%0.92 ağ. Etanol bileşimleri arasında, 0.3-80 μm /s arasındaki büyümeye hızlarında ve 0.85-2.26 K/mm arasındaki sıcaklık gradyentlerinde, yatay doğrusal katılaşırma metodunu kullanarak artan büyümeye hızlarında ikincil dendrit kollar arası mesafelerin doğrusal olarak azaldığını gözlemiştir ve $\lambda_2 \alpha V^{-0.58 \pm 0.02}$ bağıntısını bulmuşlardır.

Esaka-Kurz (1985), Succinonitrile-%1.3 ağ. Aseton bileşimi için, 1.6-250 $\mu\text{m}/\text{s}$ arasındaki büyümeye hızlarında ve 1.6-9.7 K/mm arasındaki sıcaklık gradyentlerinde, yatay doğrusal katılaşırma metodunu kullanarak ikincil dendrit kollar arası mesafe ile büyümeye hızı arasında $\lambda_2 \alpha V^{-0.51}$ bağıntısını bulmuşlardır.

Yapılan deneylerin çoğunda ikincil dentrit kollar arası mesafelerin, artan büyümeye hızı ve bileşim ile azaldığı, bununla beraber sıcaklık gradyenti ile pek değişmediği gözlenmiş ve ayrıca çoğu çalışmaların birbirleri ile yaklaşıklık uyum içinde oldukları görülmüştür.

2.9.3. Dendrit uç yarıçapı ile ilgili çalışmalar

Somboonsuk, Mason ve Trivedi (1984), Succinonitrile-%5.5 mol Aseton maddeleri ile yatay doğrusal katılaşırma metodunu kullanarak, 6.7 K/mm sabit sıcaklık gradyentinde, 0.4-100 $\mu\text{m}/\text{s}$ arasındaki değişen hızlarda çalışarak, katılaşma hızı ile uç yarıçapı arasında $R \alpha V^{-0.53 \pm 0.02}$ bağıntısını elde etmişlerdir.

Trivedi ve Mason (1991), Pivalik asit-Etanol maddeleri ile yatay doğrusal katılaşırma metodunu kullanarak, 0.85-2.26 K/mm aralığındaki sıcaklık gradyentlerini ve 0.3-80 μm /s aralığındaki değişen büyümeye hızlarında dendrit uç yarıçaplarını ölçmüştür. Hızın arttırılması ile uç yarıçapının doğrusal azaldığını gözlemiştir ve bu azalmayı $R \alpha V^{0.54 \pm 0.03}$ bağıntısı ile ifade etmişlerdir.

Seetharaman, Fabietti ve Trivedi (1989), Karbontetrabromür-Hekzakloratan maddeleri ile yatay doğrusal katılaşırma metodunu kullanarak, 3 K/mm sabit sıcaklık gradyenti ve 0.2-20 $\mu\text{m}/\text{s}$ arasındaki değişen hızlarda dendrit uç yarı yarıçaplarını ölçmüştür. Artan büyümeye hızı ile uç yarıçaplarının doğrusal olarak azaldığını gözlemiştir. Hız ile uç yarıçapı arasında CBr_4 için $R \alpha V^{0.53 \pm 0.03}$ ve C_2Cl_6 için $R \alpha V^{0.47 \pm 0.03}$ bağıntılarını tespit etmişlerdir.

Catteneo, Ovequoz ve Bertorello (1994), Succinonitrile-%2 ağ. Su maddeleri ile yatay doğrusal katılaşırma metodunu kullanarak, 2.4-3.3 K/mm arasındaki değişen sıcaklık gradyentlerin de ve 0.76-105 μm /s aralığındaki değişen büyümeye hızlarında dendrit uç yarıçaplarını ölçmüştürler ve hızındaki artışa bağlı olarak uç yarıçapının azaldığını ve bu azalmayı da $R \propto V^{-0.425}$ bağıntısıyla ifade etmişlerdir.

Esaka-Kurz (1985), Succinonitrile-%1.3 ağ. Aseton maddeleri ile yatay doğrusal katılaşırma metodunu kullanarak, 1.6-9.7 K/mm arasındaki değişen sıcaklık gradyentlerin de ve 1.6-250 $\mu\text{m}/\text{s}$ aralığındaki değişen büyümeye hızlarında dendrit uç yarıçaplarını ölçmüştürler ve büyütme hızıyla, dendrit uç yarıçapı arasında $R \propto V^{-0.53}$ bağıntısına bağlı olarak bir azalmanın olduğunu bulmuşlardır.

Bugüne kadar yapılan çalışmalarla, büyümeye hızındaki artış ile dendrit uç yarıçapının azalma eğilimi gösterdiği belirlenmiştir.

2.9.4. Yumuşak bölge derinliği ile ilgili çalışmalar

Gündüz ve Çadırlı (2002) Al-Cu alaşım sisteminde yumuşak bölge derinliği ile ilgili aşağıdaki formda bağıntılar elde etmişlerdir. $d = k_1 G^a$ ve $d = k_2 V^b$ burada a ve b sırasıyla G ve V' ye ait üstel değerler, k_1 ve k_2 sabitlerdir. Sıcaklık gradyentine ait a üstel değeri bileşimden hafifçe etkilenmesine karşın ortalama olarak $\bar{a} = 0.53 \pm 0.07$ değerine sahiptir. Katılışma hızı için elde edilen b üstel değeri bileşimden pek etkilenmemekte ve $\bar{b} = 0.28 \pm 0.05$ değerine sahiptir. Bu araştırmacıların elde ettikleri d değerleri C_o , G ve V' ye bağlı olarak 1.4-29.4 mm arasında değerler almaktadır. Tewari ve ekibi (1994) de yumuşak bölge derinliğini katılaşırma parametrelerine bağlı olarak 7.7-28 mm değerleri arasında bulmuşlardır. Clyne (1984) ise belirli bir katılaşırma şartı için yumuşak bölge derinliğini 38 mm olarak bulmuştur.

2.9.5. λ_2/R oranının teorik değeri ve bazı deneysel çalışmalar

Langer ve Müller-Krumbhaar (1980), teorik olarak katılaşırma parametrelerinden bağımsız olarak ilk ikinci kollar arası mesafenin dendrit uç yarıçapı ile 2.1 ± 0.03 sabitiyle orantılı olduğunu göstermişlerdir.

Somboonsuk, Mason ve Trivedi (1984), Succinonitrile-%5.5 mol Aseton alaşım sistemi için yatay doğrusal katılıştırma metodunu kullanarak, katılıştırma parametrelerinden bağımsız olarak λ_2/R oranını 2.2 ± 0.03 olarak bulmuşlardır.

2.9.6. σ^* değerinin teorik değeri ve deneysel çalışmalar

Seetharaman, Fabietti ve Trivedi (1989), CBr₄-C₂Cl₆ alaşımı için kararlılık sabiti (σ^*) değerini 0.022 olarak bulmuşlardır.

Bugüne kadar yapılan çalışmalarda, elde edilen σ^* değerleri marginal kararlılık teorisinden $\sigma^* = 0.02$ değerine yakın olduğu görülmüştür.

2.10. Sonuç

Bu bölümde özet olarak katılıştırma parametreleri ile mikroyapı parametreleri arasındaki ilişkileri inceleyen belli başlı deneysel çalışmalar derlendi. Yapılan bu deneysel çalışmaların tamamında yapı parametrelerinin katılıştırma parametrelerine göre üstel olarak azaldığı araştırmacıların elde ettikleri bağıntılardan anlaşılmaktadır. Elde edilen bir çok bağıntı birbirleri ile yaklaşık olarak uyum içinde olup sadece üstel değerlerinde küçük farklılıklar vardır. Bu da katılıştırma parametreleri ile mikroyapı parametreleri arasında belirgin bir ilişkinin olduğunu göstermektedir.

Deneysel çalışmalarla ilgili elde edilen sonuçlar bölüm 5' de ayrıntılı olarak inceleneciktir.

BÖLÜM 3

DENEY SİSTEMİ VE DENEYSEL ÇALIŞMA

3.1. Giriş

Bu bölümde deney sistemi tanıtılmak ve saydam organik maddelerin doğrusal katılıtırılması ile ilgili deneyler için ön bilgi verilecek, ayrıca mikroyapı parametrelerini ölçümede kullanılan mekanizmalar tanıtılp, bu mekanizmalara bağlı olarak hesaplamaların nasıl yapıldığı anlatılacaktır.

Saydam organik maddelerin doğrusal katılıtırılmasına ilişkin uygulanacak deney sisteminde en önemli özellikler aşağıdaki gibi sıralanabilir.

1. Deney sistemi, farklı sıcaklık gradyenti ve farklı katılıştırma hızları sağlayabilmelidir. Ayarlanan bir sıcaklık gradyenti ve katılıştırma hızı deney süresince sabit kalabilmelidir.
2. Deney sistemi, mikroyapı parametrelerinin ($\lambda_1, \lambda_2, R, d$) hassas olarak ölçülmesini sağlamalı ve katılışma anı gerektiğinde fotoğraflarla tespit edilebilmelidir.

3.2. İkili Organik Alaşım Seçimi

Çoğu metalik alaşımlar ve organik alaşımlar katılışma parametrelerine (C_o , G ve V) bağlı olarak düzlemsel, hücresel ve dendritik formda katılışma yapısı gösterirler. Malzemenin fiziksel ve mekanik özelliklerini katılışma anında, atomik seviyede katı-sıvı arayüzeyinde meydana gelen olaylar belirler. Saydam organik malzemeler, katı-sıvı arayüzeyini katılışma anında doğrudan gözleme imkanı verdiginden metallere nazaran daha iyi inceleme imkanı sağlarlar. Bu tez çalışmasında metalik alaşımların katılışma yapısına model teşkil eden Succinonitrile-%3.61 ağ. Acetone ve Succinonitrile-%2 ağ. Camphor ikili saydam organik alaşımı kullanılmıştır.

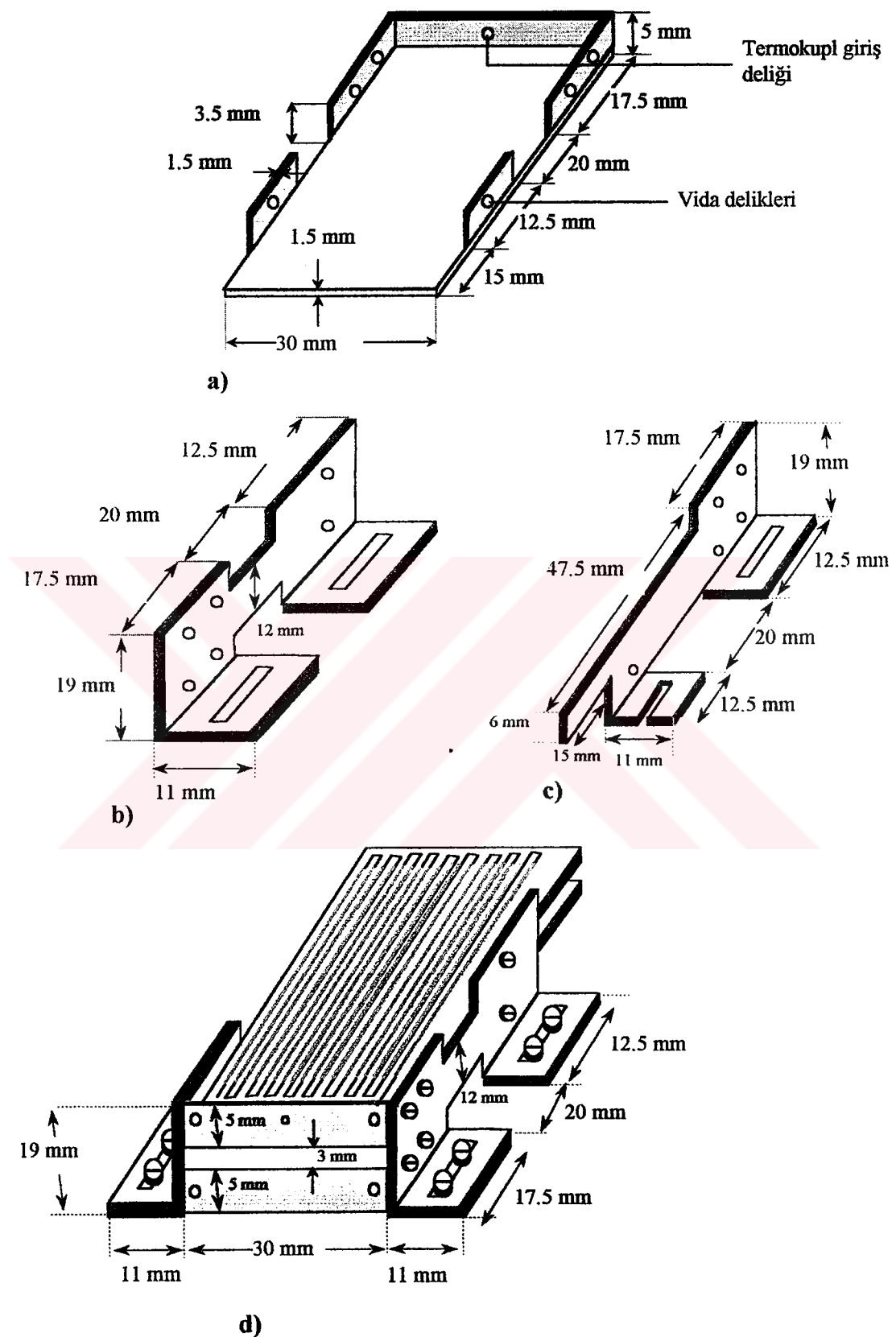
3.3. Sıcaklık Gradyenti Sistemi

Sıcaklık gradyenti sistemi; ısıtıcı, soğutucu ve numune tutucu - sürücü sistem olmak üzere üç kısımdan oluşur.

3.3.1. Isıtıcı sistem

Şekil (3.1a, b, c, d)' de görüldüğü üzere ısıtıcı sistem dört parçadan meydana gelir. Isıtıcı sistem bloğu, ısını daha iyi iletmeli, oksitlenmeye dayanıklılığı ve işlenmesi daha kolay olan pirinç malzemesinden yapılmıştır. Isıtıcı sistem bloğu alt ve üst olmak üzere iki parçadan oluşur ve her birinin boyu 65 mm, eni 3 mm ve kalınlığı 5 mm' dir. Bu iki bloğun içi 3,5 mm çapında ve 5 mm aralıklarla 4 adet oluk açılarak ısıtıcı yatak oluşturulmuş ve gövdenin arka kısmına direnç tellerinin giriş ve çıkışını sağlamak amacıyla 4 adet aynı çapta delik açılmıştır. Ayrıca ısıtıcı sistemin sıcaklığını termal çiftle ölçmek için 1 mm genişlikte arka tarafa bir delik açılmıştır. Isıtıcı sistemin, numune tutucusuna iyi temas etmesi ve homojen bir ısı dağılımı sağlanması için ısıtıcı sistem bloğunun alt yüzeyleri parlatma setinde parlatılmıştır. Direnç telleri 0,8 mm iç çaplı, 1,2 mm dış çaplı alüminia tüplere yerleştirilerek direnç tellerinin birbirine ve ısıtıcı yatağına temas etmesi engellenmiş olup şekil (1.1d)' de görüldüğü üzere, direnç telleri birbirlerine simetrik olacak şekilde ısıtıcı yatağına döşenmiştir. Düşey doğrultuda ısıtıcıdan ısı kaybını önlemek için her iki pirinç yatağının üst ve alt taraflarına sabun taşı (paraphilite) yerleştirilmiştir.

Isıtıcı alt ve üst yatağını sıkı ve düzgün tutmak için, yüksekliği 19 mm, uzunluğu 65 mm ve kalınlığı 1,5 mm olan pirinç maddesinden yapılmış köşebent kullanılarak, ısıtıcı yataklarını tutmak için sağ ve sol tutuculara vida yuvaları açılmıştır.



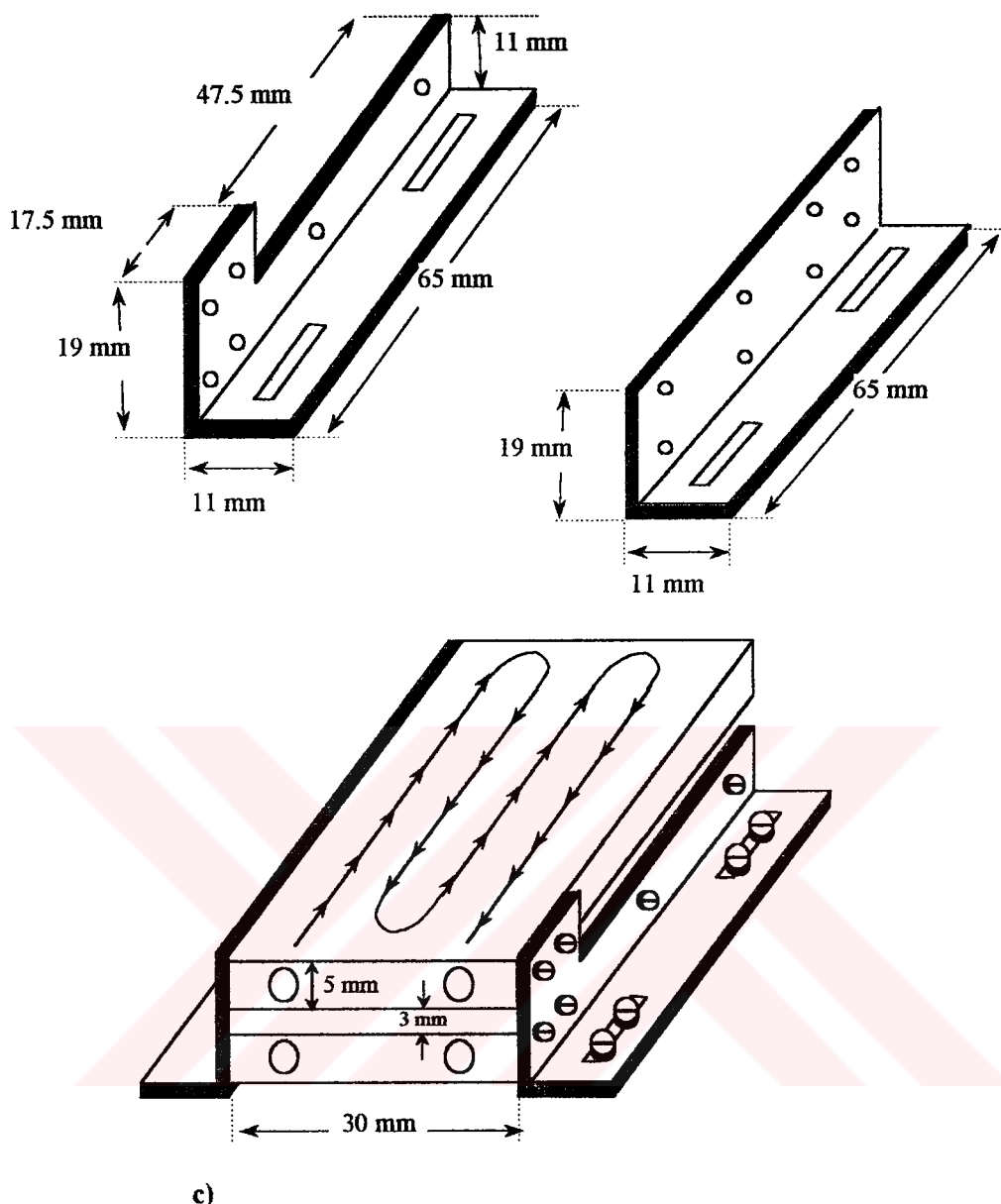
Şekil 3.1 Isıtıcı bloğu oluşturan parçaların şekilleri **a)** Üst ve alt ısıtıcı tel yatağı
b) Isıtıcı yan duvar tutucu (sağ) **c)** Isıtıcı yan duvar tutucu (sol)
d) Isıtıcı blok

Mikroskop tablasına yerleştirilen ve gerektiğinde mikroskoptan ayrılabilen 2 mm kalınlığında alüminyumdan tabla hazırlandı ve ısıtıcı blok bu tabla üzerine yerleştirildi. Direnç uçlarının ısıtıcı yatağından çıkış noktasında 0,8 mm çapında ve 3 cm boyunda alümina tüpler kullanılarak direnç tellerinin ısıtıcı bloğuna ve pırınc tablaya temas etmesi engellendi. Isıtıcı sistemin sıcaklığını kontrol etmek için direnç telleri, varyağa ve 905S tipi Eurotherm sıcaklık kontrolcüsüne bağlandı. Isıtıcı sistemin içine yerleştirilen K-tipi termal çift kontrolcüye bağlanarak direnç tellerine termal çiftin ölçüldüğü oranda gerekli güç verildi. Isıtıcı sistemin sıcaklığı bu kontrolcü ile $\pm 0,1$ °C aralığında kontrol edile bilmektedir. Çalışmalarımızda ısıtma sisteminde ve mikroskop üzerinde oluşabilecek buharlaşmalara yer vermemek için 185 °C' nin üzerine çıkmamıştır.

3.3.2. Soğutucu sistem

Soğutucu sistem de, ısıtıcı sisteme benzer şekilde pırınc maddesi kullanılarak yapılan başlıca dört kısımdan oluşmaktadır (Şekil 3.2a, b, c). Şekil (3.2c)' de görüldüğü gibi soğutucu sistem, 65 mm uzunluğunda, 30 mm eninde ve 5 mm kalınlığında iki tane pırınc bloktan oluşmaktadır. Suyun bu sistemi homojen olarak soğutabilmesi için her blok boyuna 2 mm çapında ve birbirlerine paralel 4 oluk açıldı. Bu blokların birbirleri ile bağlantısını sağlamak için bloğun yan tarafından 2 mm çapında blokları her iki yanından boyunca oluklar açıldı. Su kanallarının yüksek basınçlı sulara dayanması ve sızdırmaması için gümüş kaynak ile kapatıldı. Sadece su giriş ve çıkış delikleri açık bırakılarak bu deliklere 2 mm çapında 5 cm uzunluğunda pırınc borular kaynak yapıldı. Alt ve üst soğutucu blokların numune tutucuya tam temasının sağlanması için parlatma setinde parlatıldı. Alt ve üst soğutucu blok arasında su akışını sağlamak için iki blok arasına lastik hortum takıldı ve su alt bloktan dolandıktan sonra üst bloktan da dolanarak çıkış deligidenden ince lastik hortum vasıtıyla tahliye edildi. Böylece sistem homojen olarak soğumakta ve incelenen numuneyi soğutmaktadır.

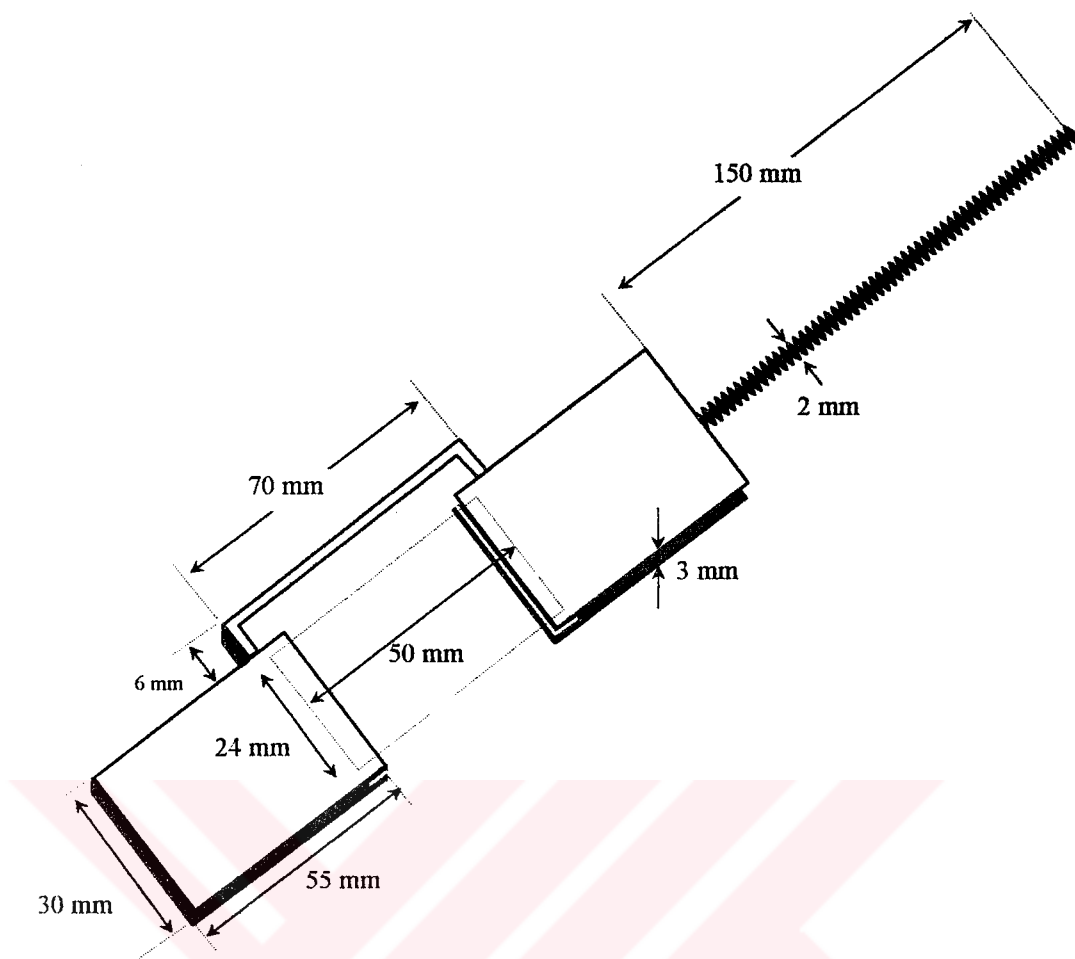
Soğutucu blokları sabit tutmak için şekil (3.2a-b)' de görüldüğü gibi 19 mm yüksekliğinde 1,5 mm kalınlığında pırınc köşebent kullanıldı ve bu köşebentler vida ile soğutucu bloğa monte edildi.



Şekil 3.2. a) Soğutucu yan duvar tutucu (sağ) b) Soğutucu yan duvar tutucu (sol)
c) Soğutucu blok diyagramı

3.3.3. Numune tutucu ve sürücü sistem

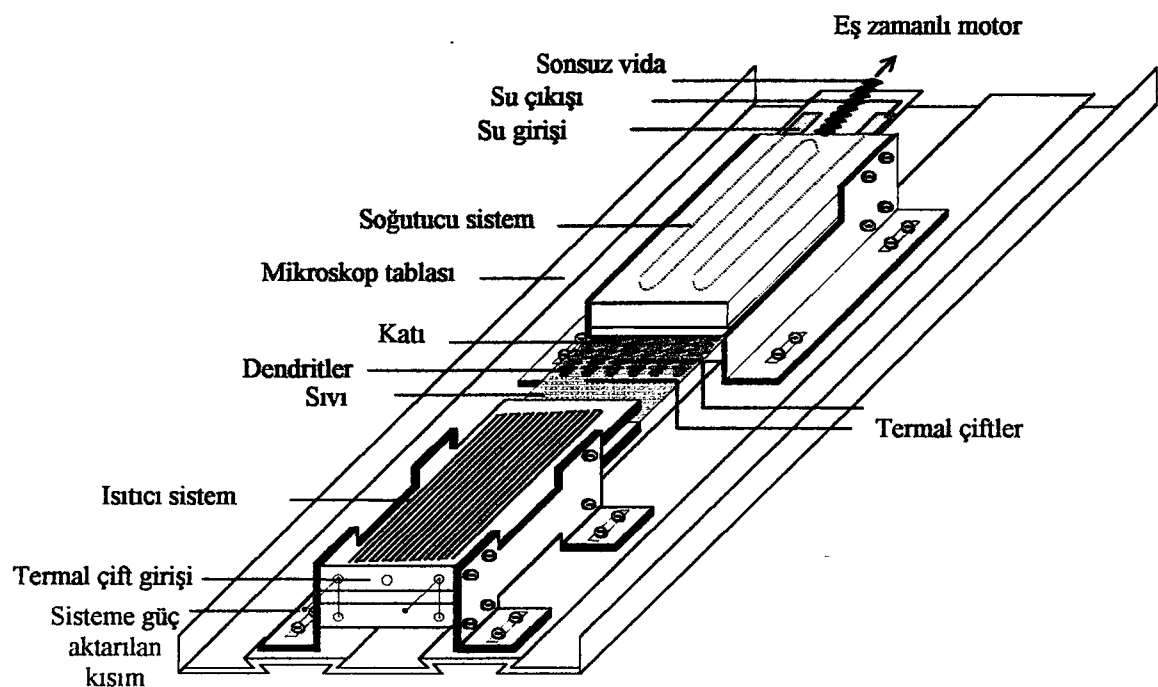
Numune tutucu sistem Şekil (3.3)' de görüldüğü gibi 30 mm eninde, 55 mm uzunluğunda ve 3 mm kalınlığında iki pirinç blok ve 15 cm uzunluğunda sonsuz vidadan ibarettir. Bu iki pirinç bloğun numuneyi tutması için kısa kenarından 2 mm oyuldu. Blokların birbirlerine bağlantısı bir pirinç çubuğuın iki levhaya kaynak edilmesi ile sağlandı. Numune yatağını sabit hızla soğuk bölgeye çekmek suretiyle numuneyi katılaştmak için 15 cm uzunluğunda ve 2 mm' lik sonsuz vida numune yatağına kaynak edildi ve vidanın diğer ucu sürücü motora bağlandı.



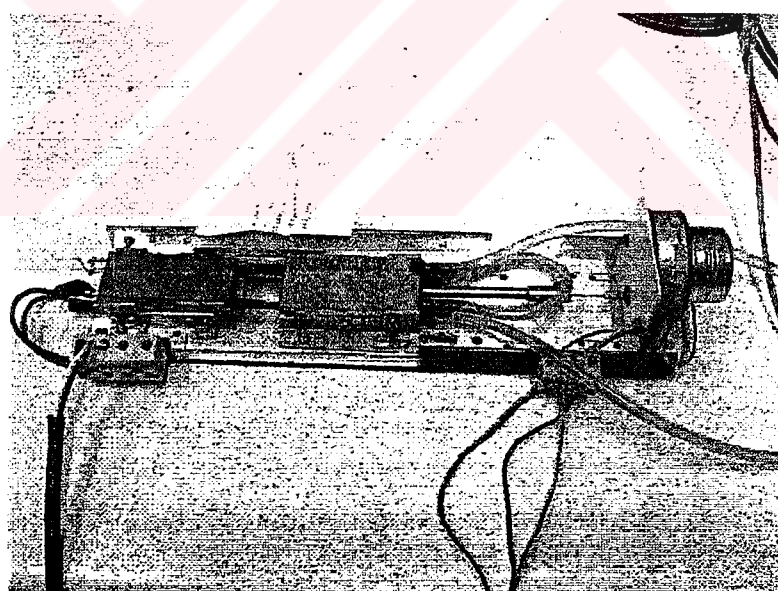
Şekil 3.3. Numune tutucu sisteminin şematik gösterimi.

Deneylerimizde 1, 2, 5 ,10 ve 20 devir/dakikalık senkronize (eş zamanlı) sürücü motorları kullanıldı. Sürücü motorun dairesel hareketiyle vidanın dönmesi sağlandı ve numune yatağının böylelikle hareket etmesi, dolayısıyla numunenin soğuk bölgeye çekilmesiyle de katılışmanın başlatılması sağlandı.

Numune yatağı yüzeylerinin ısıtıcı ve soğutucu bloğa tam temas etmesi için yüzeyleri parlatıldı. Isıtıcı sistem, soğutucu sistem ve numune tutucu ve sürücü sistemin birbirlerine monte edilmesiyle Şekil (3.4)' de şeması ve fotoğrafı görülen sıcaklık gradyenti sistemi (yatay doğrusal katılışırma deney düzeneği) hazırlanmış oldu.



Şekil 3.4a. Sıcaklık gradiyenti sisteminin şematik görünüsü



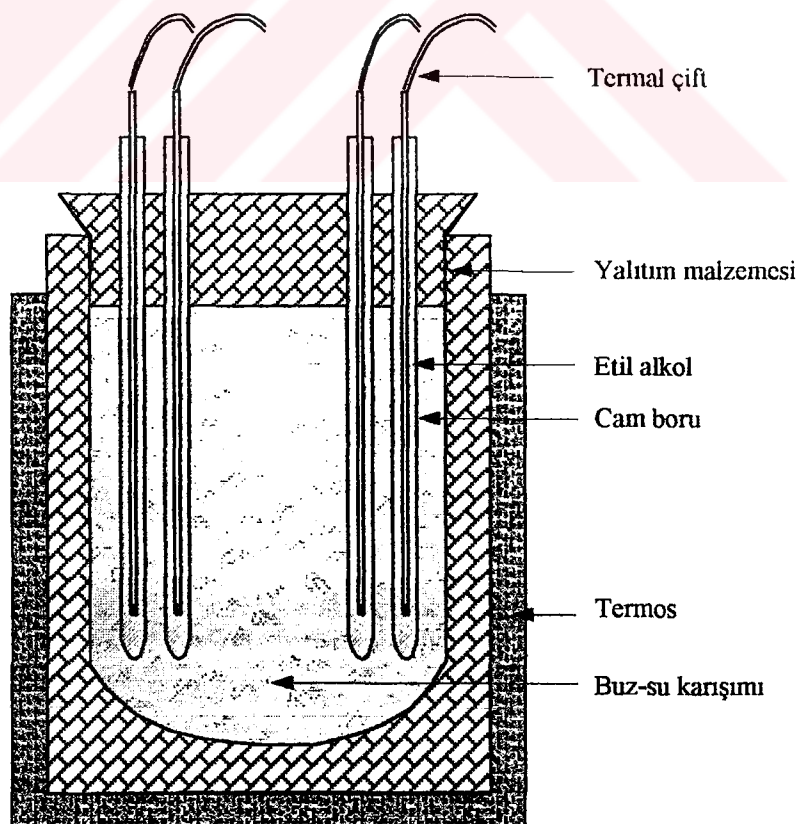
Şekil 3.4b. Sıcaklık gradiyenti sisteminin fotoğrafı

3.4. Termokupl (Termal çift)'lar ve Kullanılışı

Termokupplar (Termal çiftler) endüstride fırınların ve eritilen maddelerin sıcaklıklarının ölçülmesinde ve sıcaklık kontrolü yapan alet ve fırnlarda kullanılır. Termal çiftler genellikle birisi saf diğeri alaşımından yapılmış birbirinden farklı olan iki telden

olummaktadır. En yaygın kullanılan termal çiftler Chromel-Alümel (K tipi) ve Platin-%13 Platin-Rodyum (R tipi) termal çiftlerdir. Yüksek sıcaklıklarda Platin-%13 Platin-Rodyum termal çiftleri, düşük sıcaklıklarda ise Chromel-Alümel termal çiftleri daha yaygın olarak kullanılır.

Biz bu çalışmada 50-100 μm kalınlığında Chromel-Alümel termal çifti kullandık. Termal çiftlerin bağlantı yapılacak uçlarındaki yalıtım malzemesi alevde tutularak yakıldı. Bağlantı noktalarında termal çiftlerin uçları büükerek birbirine teması sağlandı ve oksijen kaynağı ile termal çiftlerin bağlantı noktaları kopmayacak şekilde birleştirildi. Böylece daha ince numune kalıpları elde edilmiş oldu ve daha sonra ohmmetre ile de bağlantı test edildi. Termal çiftlerin kontak uçları yukarıda anlatıldığı gibi numune içerisinde sıcaklık ölçümü alınacak noktada numune kalıbına yerleştirildi. Diğer uçları da termal çiftlerin hassas bir şekilde ölçüm yapıp sıcaklık gradiyentlerini hassas bir şekilde bulmak için selektör giriş uçlarına bağlandı ve bağlantı noktaları, içerisinde etil alkol olan ince borulara yerleştirildi ve bu ince borular da içerisinde yaklaşık 0 °C'de buz-su karışımı olan termosa yerleştirildi (Şekil 3.5).

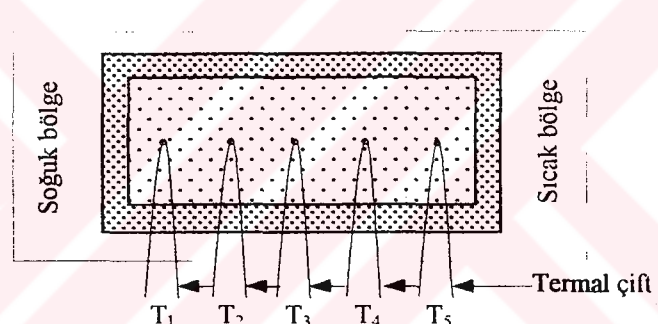


Şekil 3.5. Termal çiftleri sıfır noktasına (Cold junction) sabitlemek için kullanılan termos

Bunu yapmamızdaki amaç referans sıcaklığını 0°C ye sabitlemekdir. Termal çift selektörünün diğer ucu da Hewlett Packard 34401A model 6.5 digit hassaslığındaki multimetre' ye bağlandı ve bu sayede numune sıcaklıklarına karşılık emk' lar μV cinsinden okundu. Kullanılan multimetre $1 \mu\text{V}$ ' luk potansiyel farkını ölçebildiğinden sıcaklık ölçümleri $\pm 0.025^{\circ}\text{C}$ hassasiyette yapılmaktadır.

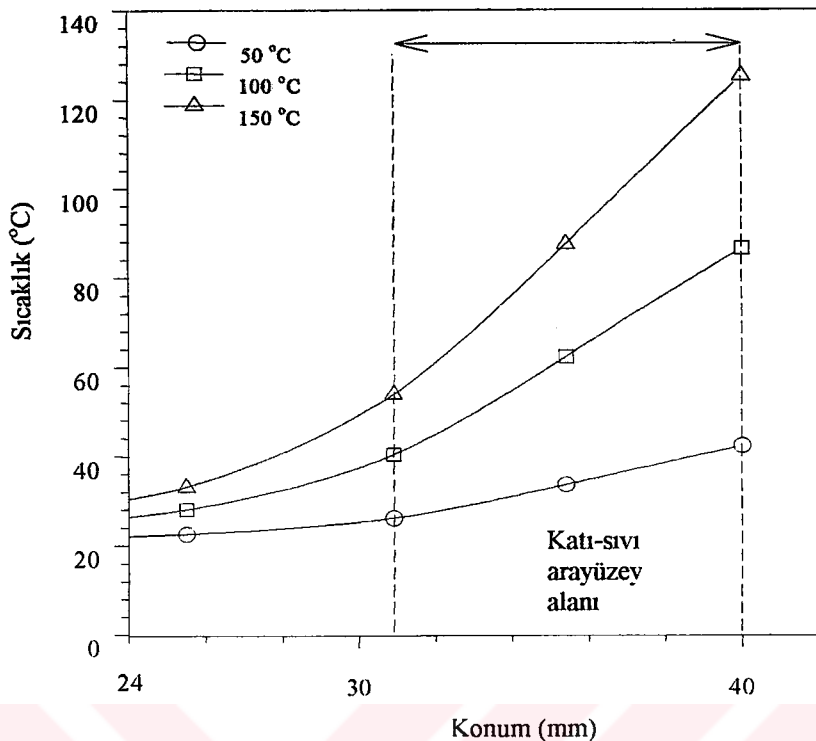
3.5. Sıcaklık Dağılımı

Yapmış olduğumuz deneydeki ölçümlerin güvenirliliği için, numune kalıbı üzerinde sıcaklığın lineer olduğu bölgeyi tespit etmeli, yani numune kalıbı üzerindeki çalışma alanımızı belirlemeliyiz. Bunun için, bir numune kalıbına şekil (3.6)' da olduğu gibi eşit aralıklarla 5 termal çift yerleştirildi ve değişik sıcaklıklarda numunenin sıcaklık dağılımlarını incelendi.



Şekil 3.6. Beş termal çiftli numune kalıbinin numune ile dolmuş hali

Numune istenilen sıcaklıkta dengede tutularak kararlı hale geldikten sonra beş termal çiftin ölçümiş olduğu T₁, T₂, T₃, T₄, T₅ kaydedildi ve termal çiftlerin numune içindeki konumlarına göre sıcaklık dağılım grafiği çizildi. Burada T₁ soğutucu sistemin içinde bulunan termal çiftin, T₅ ise ısıtıcı sistemin içinde bulunan termal çiftin ölçümiş olduğu sıcaklık değerleridir. Şekil (3.7)' de görüldüğü gibi sıcaklığın lineer olduğu bölge 2. ve 4. termal çiftlerin arasında kalan bölgedir.



Şekil 3.7. Numune sıcaklık dağılım grafiği

3.6. Numune Hazırlama

Numune hazırlama; ikili organik alaşımın hazırlaması, numune kalibinin hazırlaması ve numune kalibinin doldurulması olmak üzere üç aşamadan oluşmaktadır.

3.6.1. İkili organik alaşımın hazırlanması

Bu çalışmada ilk olarak Succinonitrile-Aseton ikili organik alaşımı, daha sonra Succinonitrile-Camphor ikili organik alaşımları hazırlanmıştır. Bu alaşımlar için Merck firmasından temin edilen %99.9 saflığa sahip Succinonitrile yine %99.9 saflığa Aseton ve %99.9 saflığa sahip Camphor malzemeleri, ikili alaşımının bileşenleri olarak kullanılmıştır. Organik alaşımının konulacağı cam şişeleri, sterilize etmek için su ve alkolle yıkandı ve kurumaları için önceden ısıtılmış etüv içinde bir müddet bekletildi.

İkili organik alaşım olarak seçilen Succinonitrile-%3.61 ağ. Aseton ve Succinonitrile-%2 ağ. Camphor alaşımının bileşenlerinin ağırlıkça yüzdeleri ayrı ayrı hesaplandı ve daha sonra bileşenler ± 0.001 g hassasiyetteki terazide tartılarak ısiya dayanıklı cam şişeler içine

kondu. 100 °C ısıtılmış etüvde alaşımlar eritildi ve alaşımların homojen olmasını sağlamak için cam şişeler iyice çalkalandı.

3.6.2. Numune kalibinin hazırlanması

Katlaşma olayını mikroskop altında gözleyebilmek için ince numune kalibinin hazırlanması gereklidir. İnce numune kalıpları hazırlamak için yüksek ısiya dayanıklı 24 mm × 50 mm × 0.1 mm boyutlarında cam lameller kullanıldı. Amacımız, iki cam lameli arasında çok ince boşluk bırakacak şekilde yapıştırmak ve içine kılcallık olayı ile inceleyeceğimiz organik alaşımı etüv içinde çektmektir.

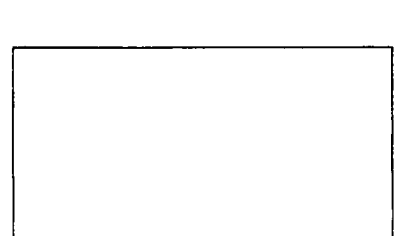
Numune kalibini hazırlarken lamel üzerinde leke olmaması gereklidir bunun için alkolle temizlendi. Aksi taktirde bu lekeler katlaştırmayı ve ısı akışını olumsuz olarak etkileyecektir. Temizlenen bu lamellerin uzun kenarları ile kısa kenarlarından birinin köşe kısımlarına yüksek sıcaklıklara dayanıklı ve organik alaşımıyla reaksiyona girmeyen silikon yapıştırıcı sürerek, daha önceden hazırlanan termal çiftler, kaynak noktaları lamelin tam ortasına gelecek şekilde 10 mm mesafeye simetrik olarak yerleştirildi ve diğer lamelde köşeler birbiri üzerine gelecek şekilde kapatıldı. Numune kalınlığının numune kalibi boyunca homojen olması için üzerine lamelleri kırmayacak şekilde düz bir ağırlık bırakıldı ve kuruması için beklenildi. Bu işlem sırasında dikkat etmemiz gereken bazı noktalar vardır:

1. Silikon yapıştırıcı lamel kenarlarından içeriye ne fazla sürülmeli nede az sürülmeliidir. Çünkü lamel kenarından içeriye yapıştırıcı fazla sürülsse numuneyi inceleme alanımız daralır ve deneyden verimli bir sonuç elde edemeyiz. Yine aynı şekilde lamelin kenarında yapıştırıcıyı az bir yere sürersek sistemin ısisı artıkça zamanla silikon özelliğini kaybetmeye başladığından numune dışarıya sızacaktır yada dışardan numune içersine hava girerek düzenli ısı akışını bozacaktır.
2. Diğer bir nokta ise, lameller arası mesafenin 100-150 μm kalınlığından fazla olmaması gereklidir, çünkü kalınlığın artması durumunda hem kılcallık olayı azalarak numune kalıplarının dolması zorlaşmakta hem de katılma esnasında düşey yönde katmanlı katılma yapıları gözlenmektedir. Bunlar istenmeyen durumlardır.

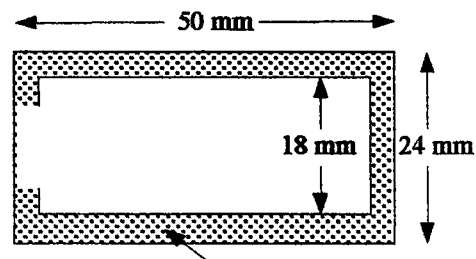
3.6.3. Numune kahbinin doldurulması

Temiz olarak hazırlanan numune kalibi kuruduktan sonra, numune ile beraber etüve koyuldu ve ısinmaları sağlandı. Erimiş olan numuneden yeterli mikardaki malzeme etüv içindeki saat camına dökülkerek (numunenin numune kalibine temas etmesi için), ısinan numune kalibinin açık kenarının numuneye temas ettirilmesiyle numunenin kılcallık yoluyla numune kalibine tam dolması ve numune kalibinin içinde hava kabarcığının kalmaması sağlandı. Numunenin kaliba dolma işlemi bittikten ve numune kalıpta katılaştıktan sonra numune kalibinin dört bir kenarı silikon yapıştırıcı ile kapatılarak numune incelemeye hazır hale getirildi. Numune kalibinin hazırlanma safhaları şekil (3.8)'de görülmektedir.

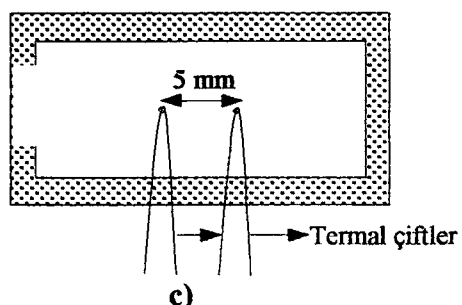




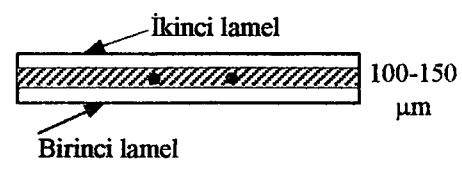
Lamel
a)



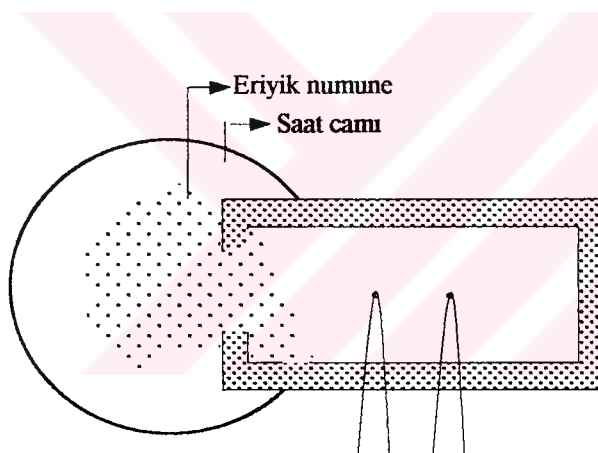
Silikon yapıştırıcı
b)



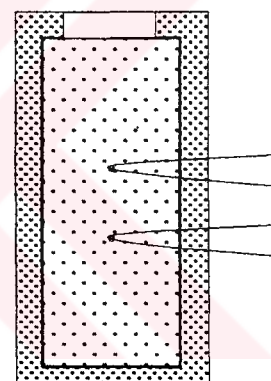
Termal çiftler
c)



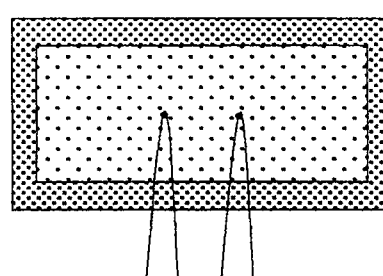
d)



e)



f)

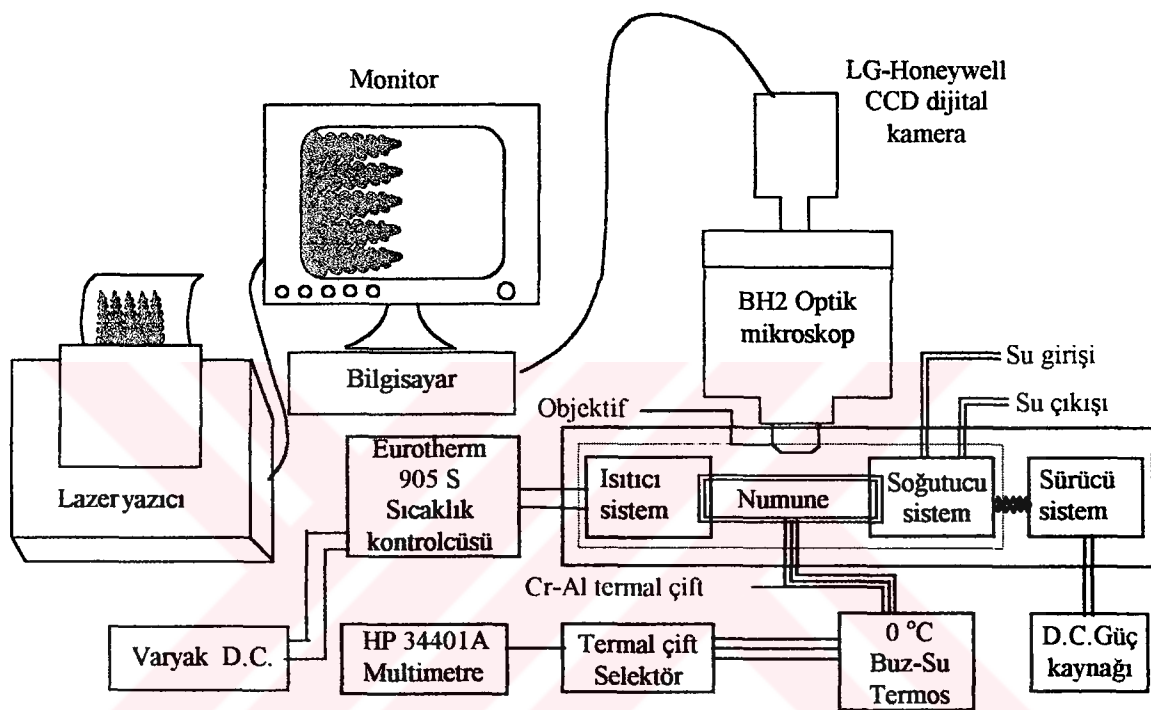


g)

Şekil 3.8. Numune kalibinin hazırlanma safhaları

3.7. Deney Sisteminin Kuruluşu ve Deneyin Yapılışı

Sıcaklık gradyenti sistemi ve LG Honeywell marka rekli CCD kamera, Olympus BH2 marka mikroskop'a şekilde (3.9a-b)'de sırasıyla şematik çizimi ve fotoğrafı görülen şekliyle monte edildi ve deney düzeneği hazırlandı. Bu sistemde mikroskop takı미 görüntü, dijital bir kamera yardımıyla bilgisayara aktarıldı ve Hauppage Win TV programı yardımıyla dendritik katılışturma olayı gözlenip, katılışturma fotoğrafları çekildi.



Şekil 3.9a. Deney düzeneğinin şematik diyagramı.



Şekil 3.9b. Deney düzeneğinin fotoğrafı

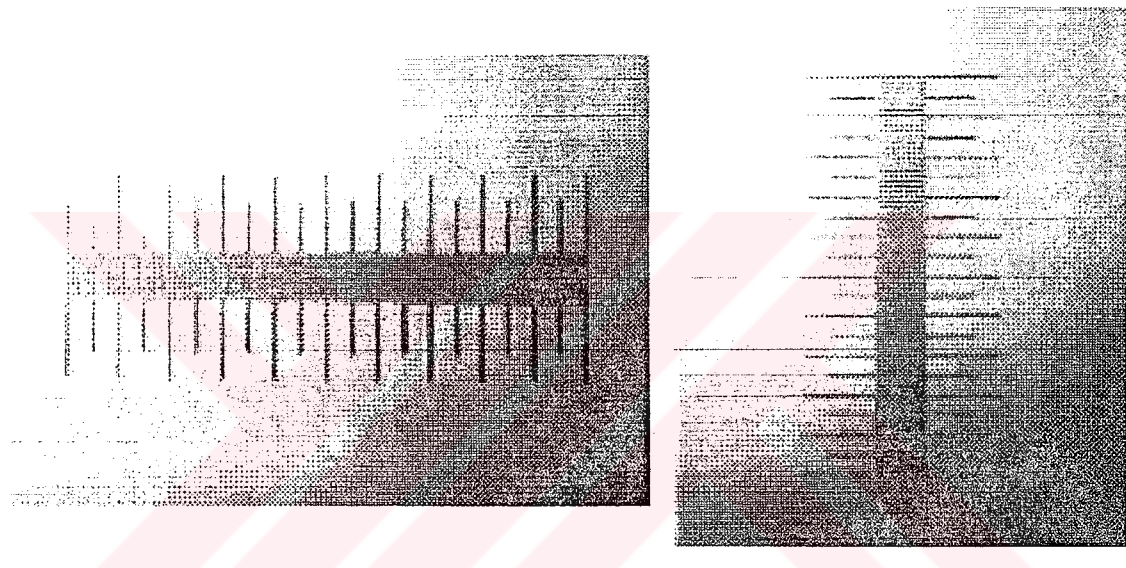
Görüntü analiz sisteminde kullanılan dijital kameranın yatay x ve düşey y yönlerindeki çözünürlükleri birbirinden farklıdır. Kameranın x yönündeki çözünürlüğü 768 pixel iken y yönündeki çözünürlüğü 484 pixel' dir. Bu yüzden bu kamera ile çekilen fotoğraflar gerçek boyutları ile resimlenmemektedir. Gerçekte daire şeklinde olan bir alümina borunun görüntü analiz sistemiyle çekilen fotoğrafları şekil (3.10)' da gösterildiği gibi elips şeklinde olmaktadır. Bu fotoğraf üzerinde yapılan ölçümelerde tek bir eksendeki büyütme faktörünün kullanılması yanlış sonuçlar vermektedir. Fotoğrafların gerçek koordinatlarını bulabilmek için fotoğraf koordinatlarının büyütme faktörüne bölünmesi gereklidir. Büyütme faktörü, $10 \mu\text{m}$ ' lik eşit dilimlere bölünmüş toplam uzunluğu 1 mm olan mikrometre (gratiküla) yardımıyla hesaplanmıştır. Ölçüm yapılacak fotoğraf hangi objektif ile çekilmiş ise gratikümanın fotoğrafı da aynı objektif ile x ve y doğrultuları için ayrı ayrı çekilmelidir. Fotoğraf üzerinden okunan x koordinatları x yönündeki büyütme faktörü ile y koordinatları ise y yönündeki büyütme faktörüne bölündüğünde gerçek koordinatlar elde edilmektedir.



Şekil 3.10. Gerçekte daire şeklinde olan alümina borunun görüntü analiz sistemiyle çekilen fotoğrafı.

Şimdi şekil (3.10)' da elips şeklinde görünen fotoğraf üzerinden yapacağımız ölçümler ile bu fotoğrafın gerçekte daire şeklinde olması gerektiğini göstereceğiz. Şekil (3.10)' da gösterilen fotoğraf, mikroskop ile dijital kamera arasındaki optik yol kısa iken $x2,5'$ luk objektif ile çekildiği için büyütme faktörünün hesaplanacağı gratikümanın fotoğrafları da $x2,5'$ luk objektif ile çekildi. Microsoft Word programı kullanılarak gratiküla üzerinde x yönünde 1000 μm mesafesinin 96 mm, y yönünde ise 1000 μm mesafenin 80.33 mm

geldiği ölçüldü. Şekil (3.10)' da ki elipsin x yönündeki çapı 115,9 mm ölçüürken y yönündeki çapı ise 99,9 mm olarak ölçüldü. Gratiküla ile hesaplanan büyütme faktörü ile ölçülen çaplar arasında kurulan basit orantı ile elipsin x yönündeki çapının 1280 μm , y yönündeki çapının ise 1274 μm olduğu hesaplanmıştır. Bu ise $\pm 3 \mu\text{m}$ ölçüm hatası ile x ve y yönündeki çaplarının eşit olduğunu göstermektedir. Böylece şekil (3.10)' da elips gibi görünen fotoğrafın gerçekte bir daire olduğu görülmektedir. Şekil (3.11)' de büyütme faktörlerinin hesaplanmış olduğu gratikülanın x ve y yönlerindeki fotoğrafları görülmektedir.



Şekil 3.11. 5' lik objektif için, X ve Y doğrultularındaki büyütme faktörünün hesabında kullanılan gratikulanın fotoğrafları.

Bu çalışmada dendritlerin fotoğrafları x2,5, x5, x10 ve x20' lik objektifler ile çekildi. Katılışma anında çekilen dijital fotoğraflardan ölçülen dendritik mikroyapı parametrelerinin gerçek değerinin bulunması için büyütme faktörünün bilinmesine ihtiyaç vardır. Büyütme faktörünü hesaplayabilmek için 1mm' lik bir mikrometre (gratiküla) kullanıldı. Mikrometrenin fotoğrafı, ölçüm yapılan dendrit fotoğraflarının çekilmiş olduğu objektif ile çekildi. Bu çalışma da kullanılan objektifler ve o objektife bağlı büyütme faktörleri tablo (3.1)' de görülmektedir.

Tablo 3.1. x2,5, x5, x10 ve x20' lik objektiflerle yatay ve dikey eksende çekilen gratiküla fotoğraflardan ölçülen değerler ile gerçek değerlerinin karşılaştırılmasından hesaplanan büyütme faktörleri (CCD kamera için)

Objektif	x2,5	x2,5	x2,5	x5	x5	x5	x10	X10	x10	x20	x20	x20
X/Y/Z Ekseni	X	Y	Z	X	Y	Z	X	Y	Z	X	Y	Z
Büyütmeye Faktörü M	96	80,33	125,18	199,33	165	258,76	389	320	503,7	781	643	1011,64

3.7.1. Succinonitrile-%3,61 ağ. Aseton alaşımının doğrusal katılıştırma deneyinin yapılması

Succinonitrile-%3,61 ağ. Aseton alaşımının bileşenleri hassas terazide tartılarak toplam 25 g alaşım hazırlandı ve yukarıda anlatıldığı gibi kılcallık etkisinden yararlanılarak eriyik haldeki alaşım numune kalıbı içersine dolduruldu ve numune kalibinin açık olan ağızı silikonla kapatıldı. Silikon kuruduktan sonra numune kalibinin son kapatılan ağızı soğutucu sisteme gelecek şekilde numune kalıbı sıcaklık gradyenti sistemindeki numune yatağına yerleştirildi. Termal çiftlerin ölçüm esnasında seçimi için selektöre ve daha sonra multimetreye bağlandı. Sıcaklık ölçümünde buzlu suyun sıcaklığını, 0 °C, referans alması için termal çiftlerle selektörden gelen kabloların bağlantı noktası termos içersindeki cam tüplere yerleştirildi.

Isıtıcı sistem içersine K tipi termal çift yerleştirilerek Euroterm 905S sıcaklık kontrolcüsü ile bağlantısı yapıldı ve yine bağlantı noktası içerisinde buzlu su bulunan termosa yerleştirildi. Kontrolcü-varyak-isıtıcı sistemindeki rezistans tellerinin bağlantısı yapıldı ve soğutucu sistemin çalışması için musluk açıldı. Sıcaklık kontrolcüsünde sıcaklık 185 °C' ye ayarlandı ve rezistans telleri bu ölçüde varyaktan güç alarak ısıtıcı sistemin $185 \pm 0,1$ °C'de sıcaklığı sabit tutuldu. Bu çalışmada beş farklı sıcaklık değerleri (185 °C, 170 °C, 155 °C, 140 °C ve 125 °C) ve dolayısıyla beş farklı sıcaklık gradyenti elde edildi. Belirtilen sabit sıcaklıkta ısıtıcı ve soğutucu sistemle temas halinde bulunan numune, deneye başlanmadan önce katı-sıvı arayüzeyinin dengeye gelmesi için beklandı. Katı-sıvı arayüzeyi dengeye geldikten sonra katılıştırma deneyleri ilk önce katılıştırma hızı sabit tutularak ($6.5 \mu\text{m/s}$) beş farklı sıcaklık gradyenti için yapıldı. Daha sonra, sıcaklık gradyenti sabit tutularak, sırasıyla 1, 2, 5, 10 ve 20 devir/dakika hızlarındaki senkronize sürücü motorları ile numune yatağı sıcak bölgeden soğuk bölgeye çekilmek suretiyle

numune beş farklı hızda katıldırdı. Katılışma esnasında dendritlerin fotoğrafı mikroyapı parametrelerini ölçmek için değişik objektiflerle çekildi.

3.7.2. Succinonitrile-%2 ağ. Camphor alaşımının doğrusal katılıştırma deneyinin yapılması

Succinonitrile-%2 ağ. Camphor alaşımının bileşenleri yine hassas terazide tartılarak toplam 50 g alaşım hazırlandı ve yukarıda Succinonitrile-%3,61 ağ. Aseton alaşımının sistemindeki yapılan işlemler aynen yapıldı ve sıcaklık kontrolcüsünde sıcaklık 175 °C' ye ayarlandı. Yine bu çalışmada beş farklı sıcaklık değeri kullanarak (175 °C, 160 °C, 145 °C, 130 °C ve 120 °C) beş farklı sıcaklık gradyenti elde edildi. Bu alaşım sistemi içinde deneyler benzer katılışma şartları altında tekrarlandı.

3.8. Katılıştırma ve Mikroyapı Parametrelerinin Ölçümü

Dendritik yapının oluşması için ya saf maddelerde bir sıcaklık gradyenti (Trivedi, 1984) yada alaşım sisteminde en azından bir çözünen gradyentinin (Hunt, 1996) olması gerekmektedir. Dendritik yapı λ_1 (birincil dendrit kollar arası mesafe), λ_2 (ikincil dendrit kollar arası mesafe), R (dendrit uç eğrilik yarıçapı) ve d (yumuşak bölge derinliği) parametreleri ile karakterize edilmektedir. Alaşım sistemlerinin doğrusal katılıştırılması için G (sıcaklık gradyenti) ve V (katılışma hızı) gibi katılıştırma parametrelerinin kontrol edilmesi ve kararlı hale getirilmesi oldukça önem arz etmektedir. Böylece alaşım sistemlerine ait mikroyapı parametreleri (λ_1 , λ_2 , R ve d), sıcaklık gradyenti ve katılışma hızı vasıtasyyla kontrol edilebilmektedir.

3.8.1. Katılıştırma parametrelerinin ölçümü

3.8.1.1. Sıcaklık gradyentinin ölçümü

Numune kararlı duruma geldikten sonra, sisteme bağlı sürücü motor çalıştırılarak numunenin soğutucu sisteme çekilmesi vasıtasyla katılıştırma başlatıldı. Katılan arayüzey numune içinde bulunan 1. termal çiftte ulaştığı anda hem T_1 hem de T_2 sıcaklığı yaklaşık eş zamanlı olarak HP 34401A model mikrometre tarafından e.m.k cinsinden ölçüldü ve daha sonra termal çiftlerin okuduğu μ V biriminden sıcaklık, K-tipi termal çift için belirlenmiş μ V/°C tablosundan (Ek.1) birimi °C' ye çevrildi. Termal çiftler arasındaki

sıcaklık farkının (ΔT) termal çiftler arası mesafeye (Δx) bölünmesi ile sıcaklık gradiyenti K/mm cinsinden hesaplandı.

$$G = \frac{\Delta T}{\Delta X} = \frac{T_2 - T_1(K)}{X_2 - X_1(mm)} \quad (3.1)$$

Burada T_1 ve T_2 sırasıyla birinci ve ikinci termal çiftlerin ölçülmüş olduğu sıcaklıklar, $X_2 - X_1$ ise birinci ve ikinci termal çiftleri arasındaki mesafedir. Bu mesafe mikroskop tablası üzerinde bulunan 100 μm hassasiyete sahip verniyeden okundu.

3.8.1.2. Katılışma hızının ölçümü

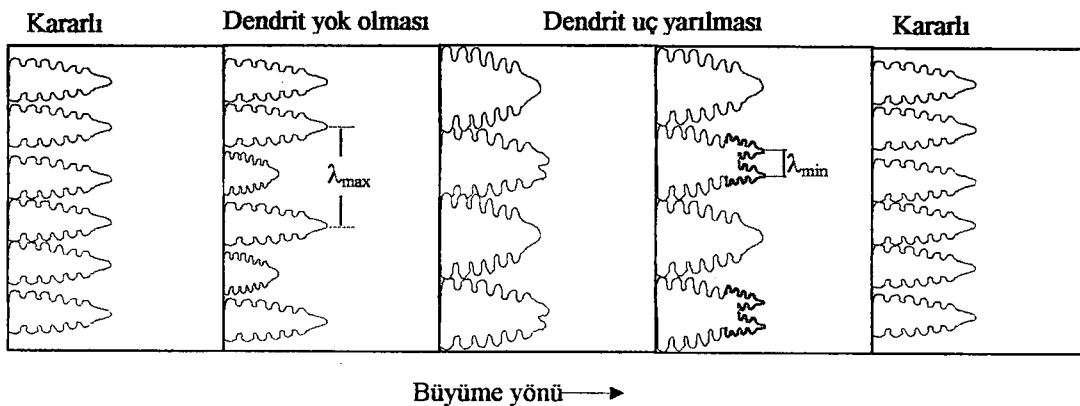
Kontrol altında tutacağımız bir diğer parametre katılışma hızıdır (V), katılışturma hızı katı-sıvı arayüzeyinin ilerleme hızıdır. Katılışma hızını bulmak için şu yöntem izlenir: Katılışma başlatıldıktan sonra arayüzey birinci termal çifte geldiğinde kronometre çalıştırılır, arayüzey ikinci termal çifte geldiğinde kronometre durdurulur ve geçen zaman saniye cinsinden hesaplanır. Birinci ve ikinci termal çiftler arasındaki mesafe önceden bilindiğinden;

$$V = \frac{\Delta X}{\Delta t} = \frac{X_2 - X_1}{t_2 - t_1} \quad (3.2)$$

bağıntısından katılışma hızı $\mu m/s$ cinsinden hesaplandı.

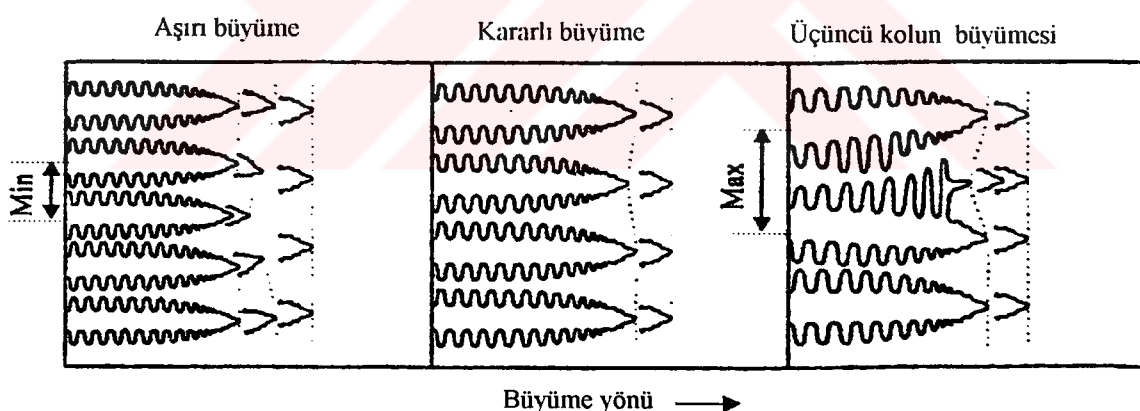
3.8.2. Mikroyapı parametrelerinin ölçülmesi

Mikroyapı parametrelerinin ölçülmesine geçmeden önce dendrit mesafelerinin oluşmasında bu mesafeleri düzenleyen literatüre geçmiş bazı mekanizmalardan bahsetmek gerekir (Han ve Trivedi, 1994, Makkonen, 2000, Gandin ve ark., 1996). Dendritik yapılar için kararsız birincil kol mesafelerinin bulunduğu aralık tanımlanmıştır. Bu mekanizma dendritik yok olması mekanizması olarak bilinir. Bu mekanizmaya göre eğer oluşan bölgesel (local) mesafe kararlı mesafeden daha küçük ise dendritik yok olması gözlenir. Tersine eğer bu bölgesel mesafe kararlı mesafeden daha büyük ise bu durumda dendrit üç kısmı yarılarak yeni bir dendrit oluşur. Bu mekanizmada üç yarıılma mekanizması (tip-splitting) olarak bilinir. Dendrit yok olması oluşmadan hemen önceki bölgesel mesafe λ_{min} , üç yarılmaması oluşmadan hemen önceki bölgesel mesafede λ_{max} olarak ölçülmüştür (Şekil 3.12).



Şekil 3.12. Dendrit yok olması ve dendrit uç yalıltması

Bir üçüncü mekanizma ise ikincil koldan üçüncü kol uzaması mekanizmasıdır. Bu mekanizmada birincil dendrit kolları arasındaki mesafe kritik kararlı mesafeden daha büyükse bölgesel olarak ikincil koldan üçüncü kol gelişerek büyür. Bu üçüncü kol olgunlaşlığında zamanla birincil kolun yerini alır (Şekil 3.13).



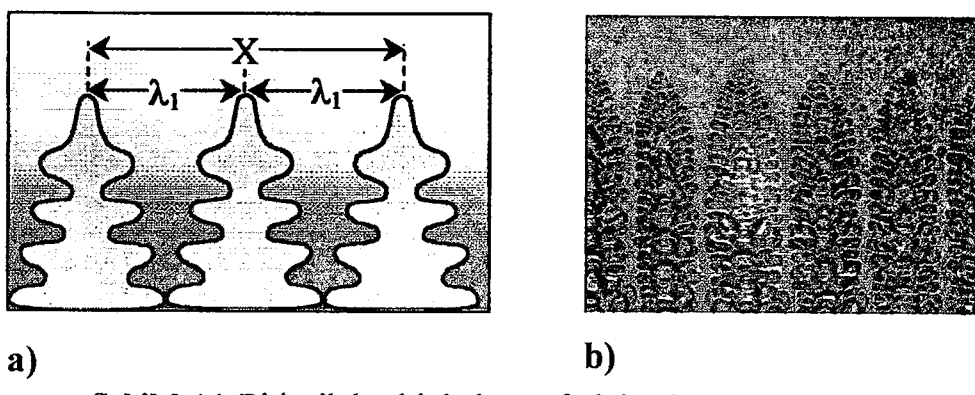
Şekil 3.13. İkincil koldan üçüncü kol oluşması

3.8.2.1. Birincil dendrit kolları arası mesafe ve ölçümü

Birincil dendrit kolları arası mesafe (3.14 a-b)' de şema ve fotoğraflarda gösterildiği gibi en yakın iki dentrit gövdesinin merkezden merkeze olan mesafesi olarak bilinir. İstatistik güvenilirlik için çekilen fotoğraflarda birincil dendrit kolların sayısı mümkün olduğunda fazla olmalıdır. Fotoğraf üzerindeki toplam birincil kollar arası mesafe, toplam aralık sayısına bölünerek gerçek değerlere yakın mesafeler elde edilir.

$$\lambda_1 = \frac{X}{n_1 - 1} \quad (3.3)$$

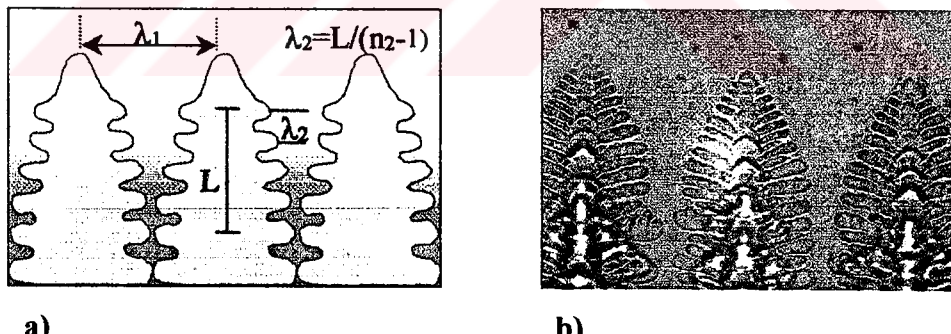
Burada X birincil dendritler arasındaki toplam uzunluk, n_1 ise birincil dendrit kollarının sayısıdır.



Şekil 3.14. Birincil dendrit kol mesafesinin ölçümü a) Şematik
b) Organik malzemedeki görüntüsü

3.8.2.2. İkincil dendrit kolları arası mesafe ve ölçümü

İkincil dendrit kolları arası mesafe olarak bilinen λ_2 , şekil (3.15)' de görüldüğü gibi ana dendrit gövdesine dik olarak yana doğru büyuyen ikincil kollar arasındaki mesafedir.



Şekil 3.15. İkincil dendrit kolları arası mesafenin ölçümü a) Şematik
b) Organik malzemedeki görüntüsü

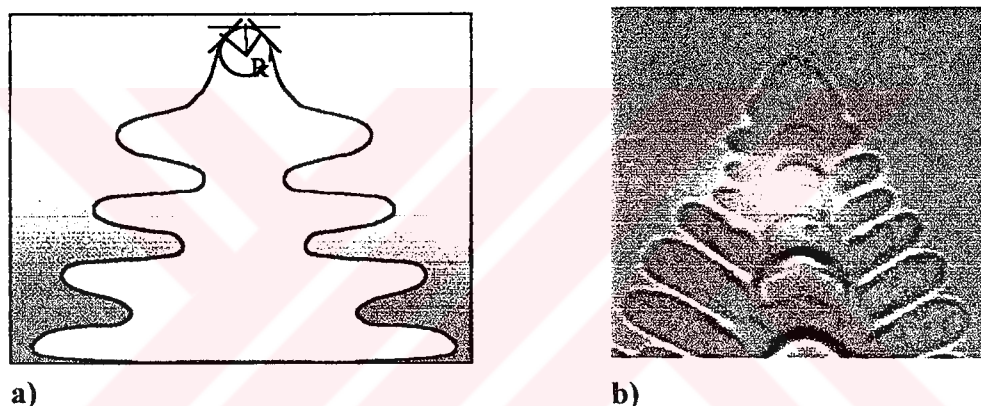
Bu mesafe numunenin boyuna kesitindeki görüntülerinden alındı. Ölçüm ise, dendrit ucuna yakın kısımdaki en az 5-10 ikincil kol arasındaki toplam mesafe, toplam aralık sayısına bölünmesi ile hesaplandı.

$$\lambda_2 = \frac{L}{n_2 - 1} \quad (3.4)$$

Burada L ikincil dendritler arasındaki toplam uzunluk, n_2 ise ikincil dendrit kollarının sayısıdır ve mümkün olduğunda fazla dendrit üzerinde ölçüm yapılarak bunların ortalaması alındı.

3.8.2.3. Dendrit uç yarıçapı ve ölçümü

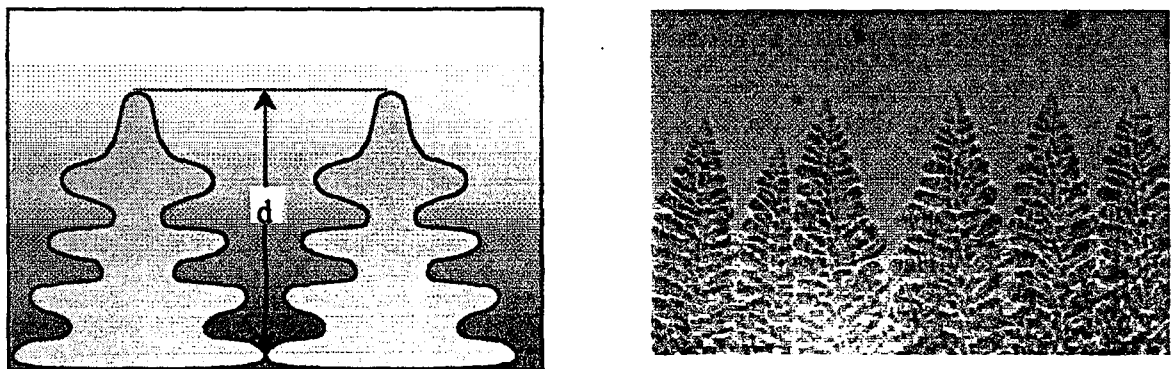
Bir dendrit başlıca birincil kol(λ_1), ikincil kollar(λ_2) ve bir uç kısımdan oluşmaktadır. Şekil (3.16)' da şematik olarak çizilen bir dendrit yapısında görüldüğü gibi uç kısım, parabolik biçimde sahiptir. Bu uç kısma birkaç noktadan teğetler çizilip, teğetlerin eğri ile temas noktalarından çizilen diklerin kesim noktası o uç eğrisine ait çemberin merkezini vermektedir. Çemberin yarıçapı R , dendrit uç yarıçapı olarak bilinir. Dendrit yarıçapı da yine numunenin boyuna kesitinden en uygun dendritlerin uçlarından alındı.



Şekil 3.16. Dendrit uç yarıçapının gösterimi a) Şematik b) Organik malzemedeği görüntüsü

3.8.2.4. Yumuşak bölge derinliği ve ölçümü

Yumuşak bölge derinliği d, tanım olarak katı ve sıvı' nın bir arada bulunduğu yani birbirine paralel dendritler ve arasında sıvı fazın oluşturduğu hamur bölgenin derinliğidir. Başka bir tanımla birbirine paralel dendrit gövdeleri dizecek olursak, dendrit tepe kısımdan , ikincil kolların kabalaştığı ve birbirine fermuar gibi geçtiği bölgeye kadar olan uzaklık şeklinde ifade edebiliriz (Şekil 3.17). Hesaplamlarda numunenin boyuna kesitindeki bütün dendritler için yumuşak bölge derinlikleri (d) ölçüldü ve ortalamalar alındı.



a)

b)

Şekil 3.17. Yumuşak bölgenin görünümü a) Şematik b) Organik malzemedeki görüntüsü

3.9. Hesaplamalar

Her iki alaşım içinde sıcaklık gradyent (G) ve katılaşma hızını (V) yukarıda belirtilen formüller ile ayrı ayrı hesaplandı. Katılaştırma boyunca her alaşım için ayrı ayrı çekilen 75' er adet dijital fotoğraflar Microsoft Word programında açılarak mikroyapı parametreleri yukarıda anlatılan mekanizmalar ve hesaplama yöntemleri göz önünde bulundurularak cm cinsinden hesaplandı ve daha sonra her objektif için, o objektife ait büyütme faktörüne bölünerek gerçek değerleri bulundu. Daha sonra bu değerler μm^2 ye çevrilerek her G ve V değeri için $\lambda_{1 \max}$, $\lambda_{1 \min}$, $\lambda_{1 \text{ort}}$, λ_2 , R ve d değerleri hesaplanındı.

BÖLÜM 4

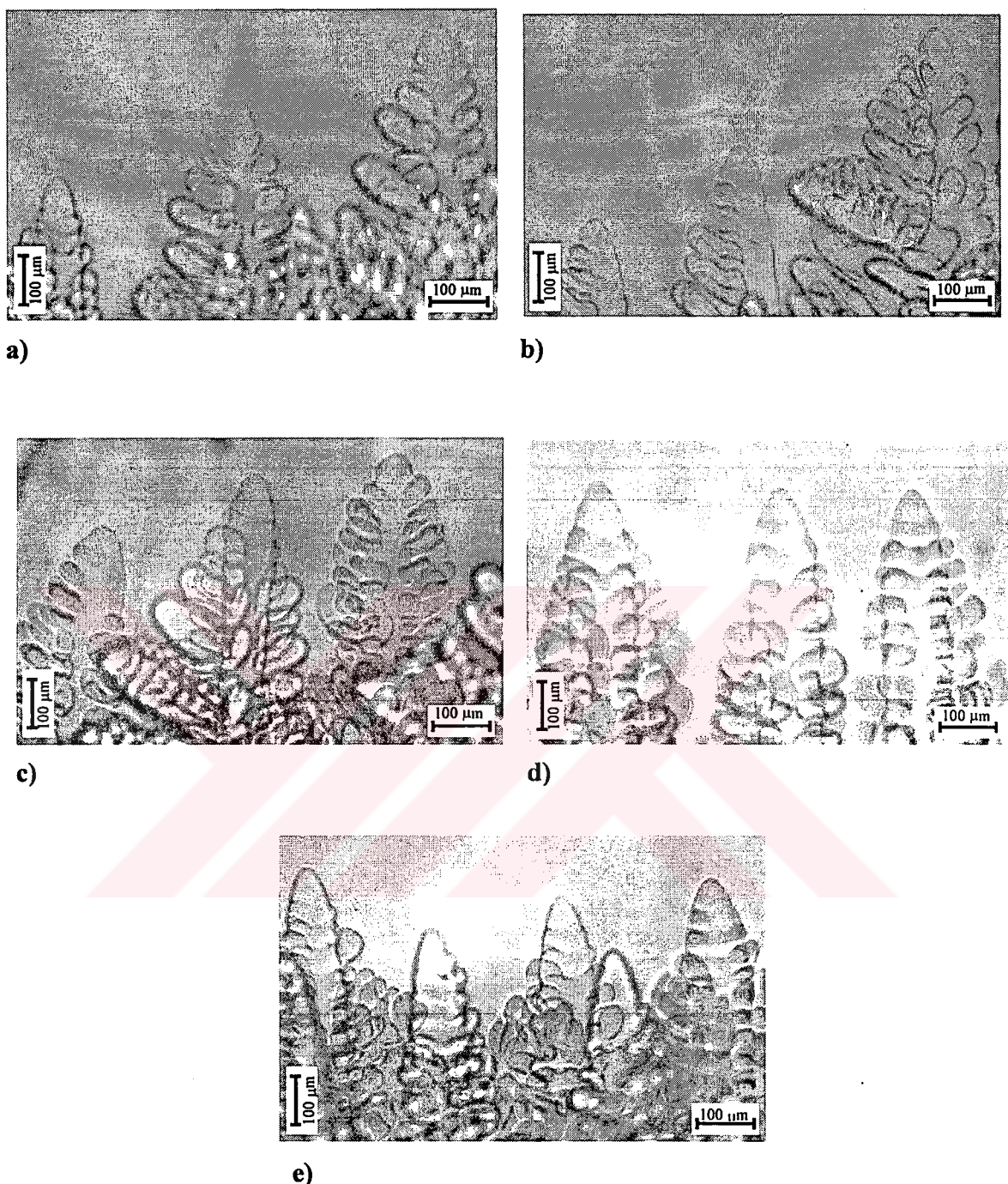
SONUÇLAR ve HESAPLAMALAR

4.1. Giriş

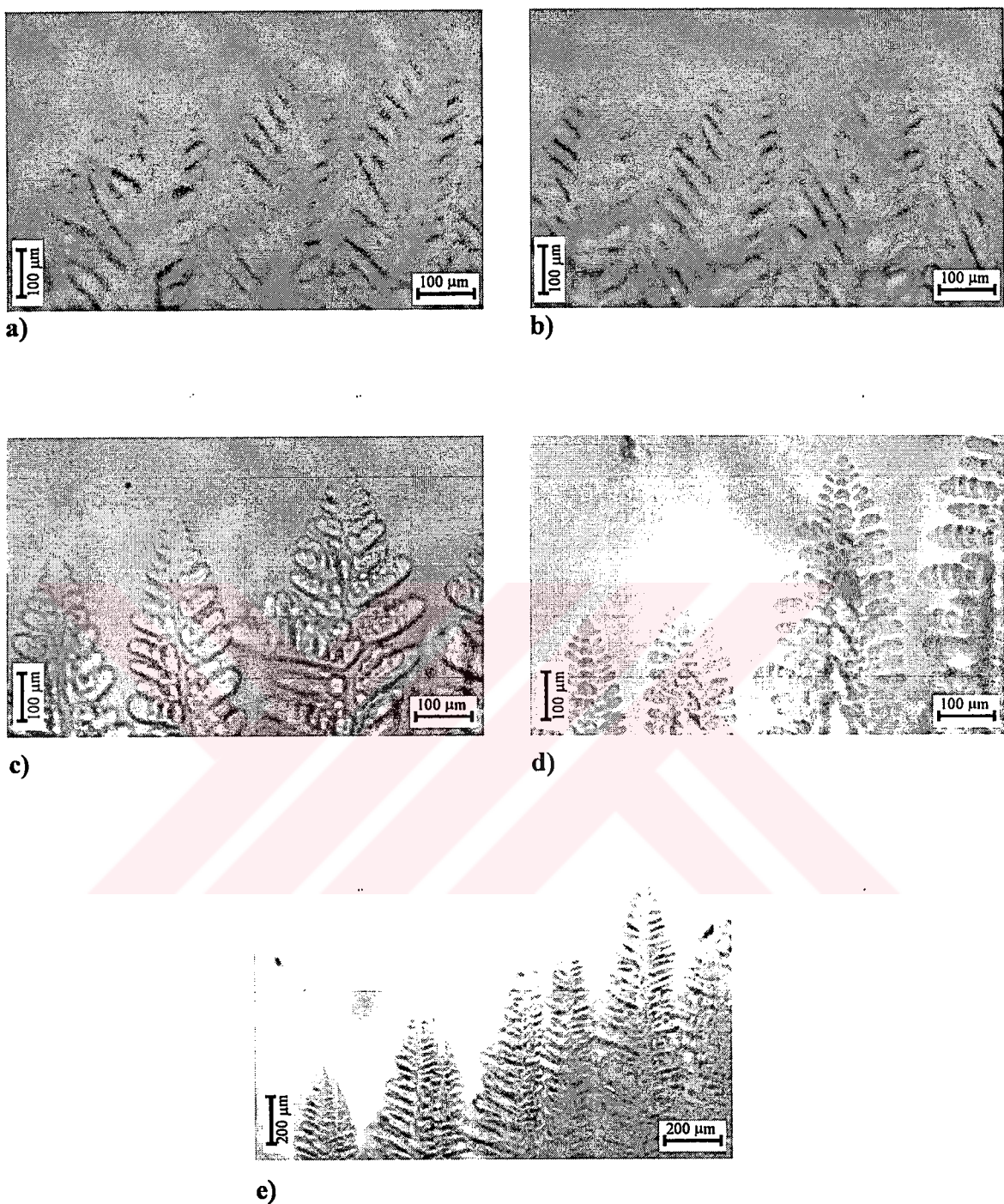
Bu bölümde yapılan deneysel çalışmaların sonuçları değerlendirilmiş ve istatistik hesaplamaları yapılmış olup sonuçlar tablo ve grafiklerle verilmiştir. Her iki alaşım içinde mikroyapı parametreleri (λ_1 , λ_2 , R ve d), sabit sıcaklık gradyentinde, beş farklı hızda ve sabit katılıştırma hızında, beş farklı sıcaklık gradyentinde olmak üzere elde edilmiştir. Lineer regresyon analizi yapılarak, mikroyapı parametrelerinin katılıştırma parametrelerine bağlılığını ifade eden bağıntılar ve mikroyapı parametrelerinin kendi aralarındaki ilişkileri elde edilmiştir. Ancak Succinonitrile-%2 ağ. Camphor için sabit katılıştırma hızında farklı sıcaklık gradyentinde çekilen dijital fotoğraflarda d parametresi (yumuşak bölge derinliği), fotoğraf çekilebilecek maksimum alandan daha büyük olduğu için ölçümü yapılamamıştır.

4.2. Succinonitrile-%3.61 ağ. Aseton için ölçülen mikroyapı parametreleri ve değerlendirilmesi

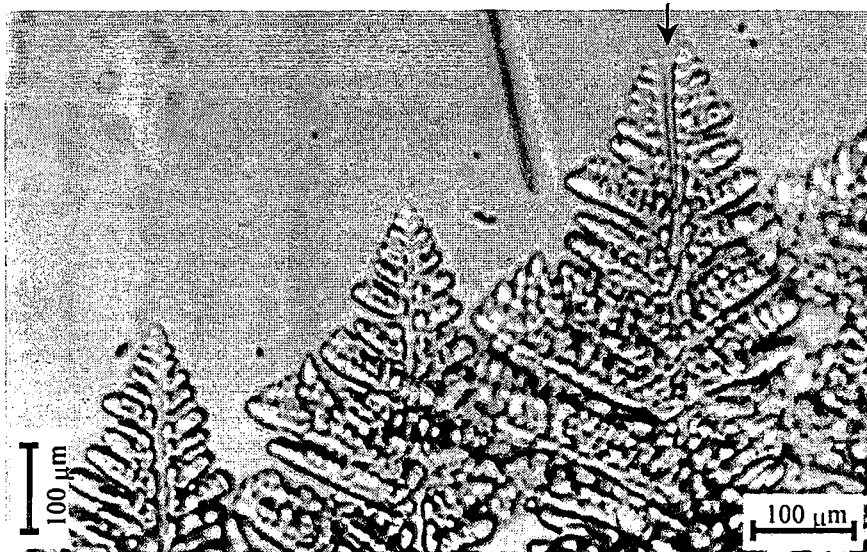
Katlaşma anında mikroyapı parametrelerini ölçmek için çekilen dijital fotoğraflardan bazıları şekil (4.1) ve (4.2)' de görülmektedir. Katılıştırmaya anında yönlendirerek büyüyen dendritler arası mesafeler kimi yerde dar kimi yerde geniş gözlenmiştir, bunun sebebi daha önce 3. bölümde ayrıntılı olarak verilen dendrit yok olması (dendrit elimination), dendrit uç yalınması (tip splitting) ve üçüncü koldan birincil kol oluşması (growth of tertiary arm) mekanizmalarıdır, ilgili fotoğraflar şekil (4.3)' de görülmektedir.



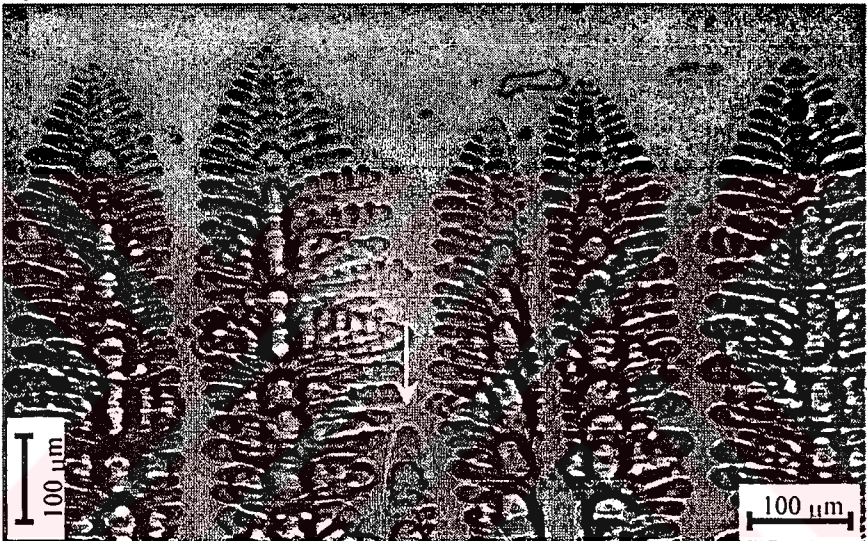
Şekil 4.1. Succinonitrile-%3.61 ağ. Aseton alaşım sisteminde sabit katkılaştırma hızında ($V=6.5 \mu\text{m/s}$) farklı sıcaklık gradiyentlerinde elde edilen katkılaşma yapılarının fotoğrafları a) $G=3.53 \text{ K/mm}$ b) $G=4.10 \text{ K/mm}$ c) $G=4.60 \text{ K/mm}$ d) $G=5.10 \text{ K/mm}$ e) 5.70 K/mm



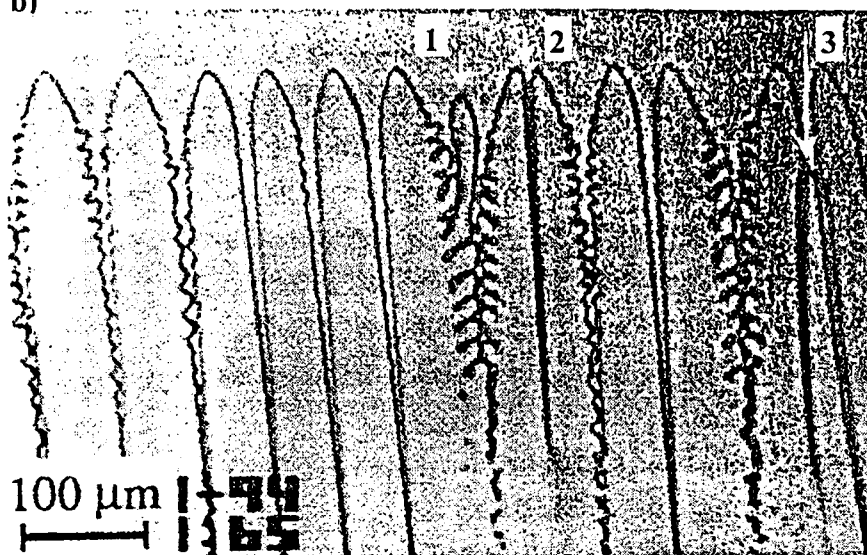
Şekil 4.2. Succinonitrile-%3.61 ağ. Aseton alaşım sisteminde sabit sıcaklık gradyentinde ($G=5.7 \text{ K/mm}$) farklı katılaştırma hızlarında elde edilen katılaşma yapılarının fotoğrafları a) $V=6.5 \mu\text{m/s}$ b) $V=12.5 \mu\text{m/s}$ c) $V=34.2 \mu\text{m/s}$ d) $V=60 \mu\text{m/s}$ e) $V=113 \mu\text{m/s}$



a)



b)

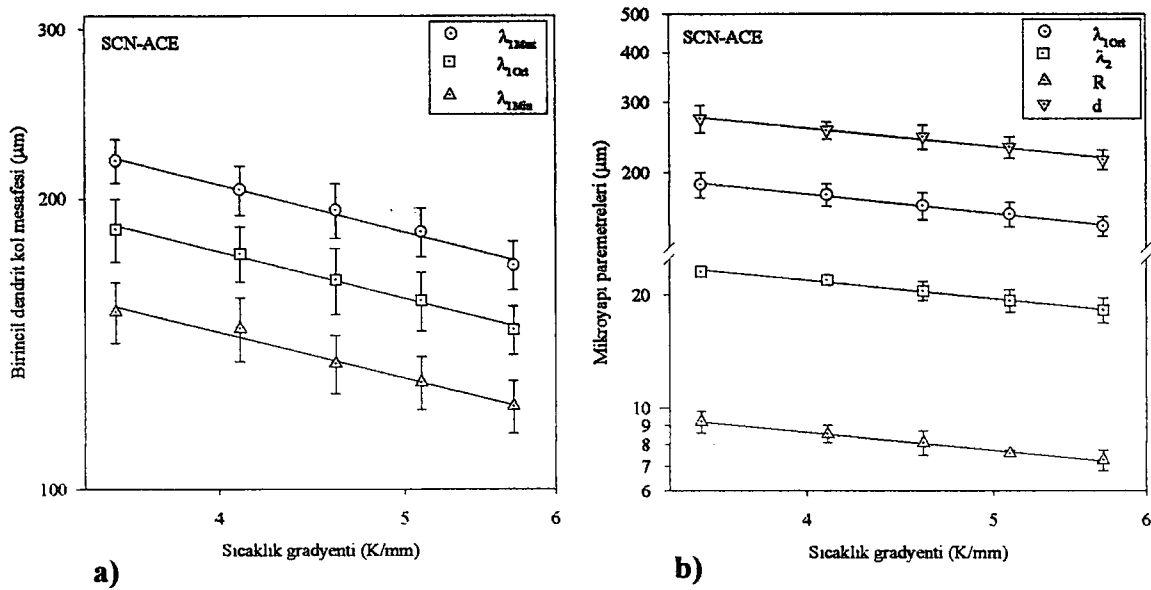


c)

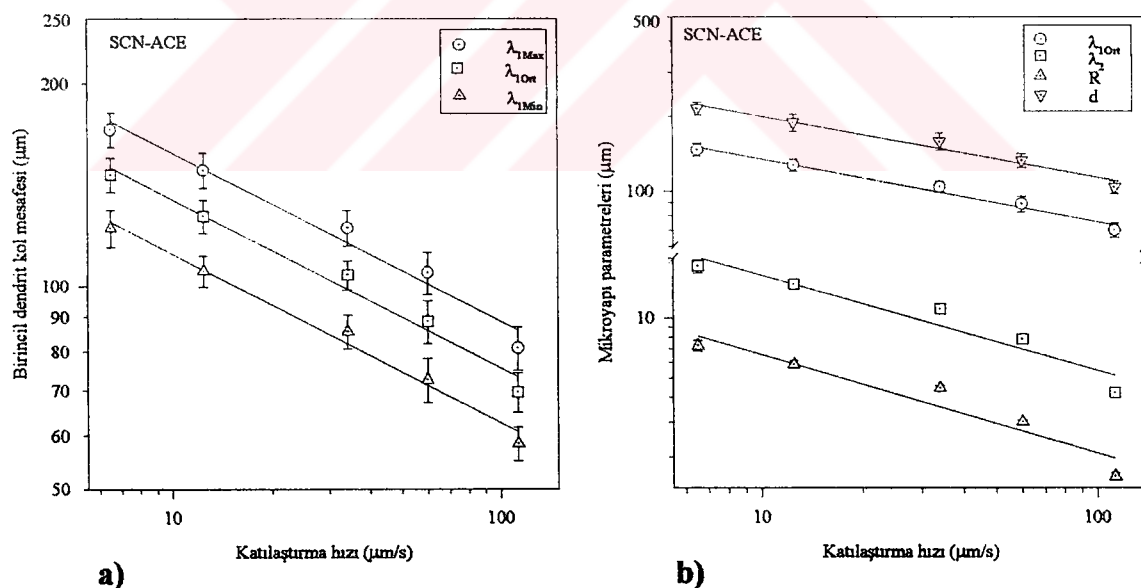
Şekil 4.3 a) Dendrit uç yarılması (tip splitting) [Bu çalışma] b) Dendrit yok olması (dendrit elimination) [Bu çalışma] c) Bütün mekanizmalar 1:Üçüncü kol büyümesi (growth of tertiary arm) 2: Dendrit uç yarılması 3: Dendrit yok olması (Akamatsu ve ark. 1995)

Mekanizmalar ve hesaplama yöntemleri göz önünde bulundurularak önceki bölümde de belirtildiği gibi yaklaşık 75 adet dijital fotoğraf Microsoft Word programında açılarak mikroyapı parametreleri cm cinsinden hesaplandı ve daha sonra her objektif için, o objektife ait büyütme faktörüne bölünerek gerçek değerleri bulundu. Daha sonra bu değerler $\mu\text{m}'$ ye çevrilerek her gradyent ve hız için $\lambda_{1\text{Max}}$, $\lambda_{1\text{Min}}$, $\lambda_{1\text{Ort}}$, λ_2 , R ve d hesaplanındı.

Mikroyapı parametrelerinin aritmetik ortalamaları ($\lambda_{1\text{Max}}$, $\lambda_{1\text{Min}}$, $\lambda_{1\text{Ort}}$, λ_2 , R ve d) ve ortalama sapma değerleri, sabit sıcaklık gradyentinde (5.7 K/mm) beş farklı katilaştırma hızında (6.5-113 $\mu\text{m}/\text{s}$) ve sabit katilaştırma hızında (6.5 $\mu\text{m}/\text{s}$), beş farklı sıcaklık gradyentinde (3.53-5.7 K/mm) olmak üzere elde edilmiştir. Şekil (4.4a-b) ve şekil (4.5a-b)'deki logaritmik grafikler üzerinde yapılan lineer regresyon analizinden, mikroyapı parametrelerinin katilaştırma parametrelerine bağlılığını ifade eden bağıntılar Tablo (4.1a-b)'deki gibi elde edilmiştir.



Şekil 4.4. Sabit katılıştırma hızında ($V=6.5\mu\text{m/s}$) ve bileşimde ($C_o=\text{SCN}-\%3.61$ ağı. Aseton) organik alaşımın doğrusal katılıştırılmasında oluşan dendritlerin mikroyapı parametrelerinin sıcaklık gradyenti G ile değişimi. **a)** Birincil dendrit kol mesafesinin G ' ye göre değişimi **b)** Mikroyapı parametrelerinin G ' ye göre değişimi



Şekil 4.5. Sabit sıcaklık gradyenti ($G=5.70\text{ K/mm}$) ve bileşimde ($C_o=\text{SCN}-\%3.61$ ağı. Aseton) organik alaşımın doğrusal katılıştırılmasında oluşan dendritlerin mikroyapı parametrelerinin katılıştırma hızına bağlı değişimi **a)** Birincil dendrit kol mesafesinin V ' ye göre değişimi **b)** Mikroyapı parametrelerinin V ' ye göre değişimi

Tablo 4.1a Succinonitride-%3.61 ağ. Aseton organik alaşımı için sabit katılaştırma hızında farklı sıcaklık gradyentlerinde oluşan dendritlerden ölçülen mikroyapı parametrelerinin değerleri ve mikroyapı parametrelerinin katılaştırma parametrelerine göre üstel bağıntıları.

Sabit katılaştırma hızı (V), değişken sıcaklık gradyenti (G) değerleri (SCN-%3.61 ağ. Aseton için)		Mikroyapı parametreleri							
Katılaştırma parametreleri		G (K/mm)	V ($\mu\text{m/s}$)	$\lambda_{1(\text{Max})}$ (μm)	$\lambda_{1(\text{Min})}$ (μm)	$\lambda_{1(\text{Ort})}$ (μm)	λ_2 (μm)	R (μm)	d (μm)
3.53	6.5	219.19±11.61	152.93±36.05	186.06±23.83	23.10±0.72	9.20±0.60	273.06±23.41		
4.10	6.5	204.43±11.87	146.87±25.11	175.65±18.49	21.93±0.61	8.53±0.45	255.30±10.79		
4.60	6.5	194.75±12.50	135.09±33.33	164.92±22.92	20.51±1.19	8.08±0.60	245.62±21.12		
5.10	6.5	184.89±25.74	129.19±28.25	157.04±26.99	19.34±1.34	7.58±0.14	231.53±20.30		
5.70	6.5	170.84±33.97	121.99±15.05	146.42±24.51	18.23±1.38	7.27±0.45	215.13±12.35		
Deneyel bağıntılar		$\lambda_{1(\text{Max})}$	$\lambda_{1(\text{Min})}$	$\lambda_{1(\text{Ort})}$	λ_2	R	d		
		$=k_1 G^{-0.50}$	$=k_2 G^{-0.49}$	$=k_3 G^{-0.50}$	$=k_4 G^{-0.50}$	$=k_5 G^{-0.50}$	$=k_6 G^{-0.49}$		
Regrasyon sabiti (k)		Korelasyon katsayısı (r)							
$k_1=13.21 (\mu\text{m}^{0.5} \cdot \text{K}^{0.5})$		$r_1=-0.995$							
$k_2=9.72 (\mu\text{m}^{0.51} \cdot \text{K}^{0.49})$		$r_2=-0.991$							
$k_3=11.14 (\mu\text{m}^{0.5} \cdot \text{K}^{0.5})$		$r_3=-0.996$							
$k_4=1.39 (\mu\text{m}^{0.5} \cdot \text{K}^{0.5})$		$r_4=-0.995$							
$k_5=0.54 (\mu\text{m}^{0.5} \cdot \text{K}^{0.5})$		$r_5=-0.998$							
$k_6=18.42 (\mu\text{m}^{0.51} \cdot \text{K}^{0.49})$		$r_6=-0.992$							

Tablo 4.11b Succinonitride-%3.61 ağ Aseton organik alaşımı için sabit sıcaklık gradyentinde farklı katkılaştırma hızlarında oluşan dendritlerden ölçülen mikroyapı parametrelerinin değerleri ve mikroyapı parametrelerinin katkılaştırma parametresine göre üstel bağıntıları.

Katılışma parametreleri		Mikroyapı parametreleri					
G (K/mm)	V (μm/s)	$\lambda_{1(\text{Max})}$ (μm)	$\lambda_{1(\text{Min})}$ (μm)	$\lambda_{1(\text{Ort})}$ (μm)	λ_2 (μm)	R (μm)	d (μm)
5.70	6.5	170.84±33.97	121.99±15.05	146.42±24.51	18.23±1.38	7.27±0.45	215.13±12.35
5.70	12.5	148.76±3.95	105.46±10.59	127.11±7.27	14.73±0.32	5.83±0.24	188.65±18.65
5.70	34.2	122.10±12.46	85.70±9.98	103.90±11.22	11.06±0.53	4.44±0.13	158.29±22.77
5.70	60.0	104.75±9.43	72.69±9.52	88.72±9.47	7.80±0.19	3.01±0.06	132.73±11.27
5.70	113.0	80.91±6.97	58.40±18.40	69.66±12.69	4.22±0.11	1.60±0.07	103.65±19.97
Deneysel bağıntılar		$\lambda_{1(\text{Max})}$	$\lambda_{1(\text{Min})}$	$\lambda_{1(\text{Ort})}$	λ_2	R	d
		$=k_7 V^{-0.25}$	$=k_8 V^{-0.25}$	$=k_9 V^{-0.25}$	$=k_{10} V^{0.48}$	$=k_{11} V^{-0.50}$	$=k_{12} V^{-0.25}$
Regrasyon sabiti (k)		Korelasyon katsayısı (r)					
$k_7=280.86 (\mu\text{m}^{1.25} \cdot \text{sn}^{-0.25})$		$r_7=-0.987$					
$k_8=199.34 (\mu\text{m}^{1.25} \cdot \text{sn}^{-0.25})$		$r_8=-0.994$					
$k_9=240.10 (\mu\text{m}^{1.25} \cdot \text{sn}^{-0.25})$		$r_9=-0.990$					
$k_{10}=49.51 (\mu\text{m}^{1.48} \cdot \text{sn}^{-0.48})$		$r_{10}=-0.962$					
$k_{11}=20.50 (\mu\text{m}^{1.50} \cdot \text{sn}^{-0.50})$		$r_{11}=-0.958$					
$k_{12}=351.72 (\mu\text{m}^{1.25} \cdot \text{sn}^{-0.25})$		$r_{12}=-0.984$					

Şekil (4.1 ve 4.2)'deki fotoğraflar ve Tablo (4.1a-b)'deki bağıntılarda görüldüğü gibi mikroyapı parametreleri ($\lambda_{1\text{Max}}$, $\lambda_{1\text{Min}}$, $\lambda_{1\text{Ort}}$, λ_2 , R ve d), artan katkılaştırma parametrelerine (G ve V) göre azalma göstermektedir.

Tablo 4.2a Succinonitrile-%3.61 ağ. Aseton alaşımında artan sıcaklık gradyenti G' ye karşılık gelen λ_1/λ_2 , R^2V , λ_2/R ve $\lambda_{1(\text{Max})}/\lambda_{1(\text{Min})}$ oranlarının değerleri

Sıcaklık gradyenti değerleri (K/mm)	λ_1/λ_2	R^2V ($\mu\text{m}^3/\text{s}$)	λ_2/R	$\lambda_{1(\text{Max})}/\lambda_{1(\text{Min})}$
3.53	8.05	550.38	2.51	1.43
4.10	8.01	473.21	2.57	1.39
4.60	8.04	424.81	2.56	1.44
5.10	8.11	373.26	2.56	1.43
5.70	8.03	343.88	2.50	1.40
Ortalama ve ortalama sapma değerleri	8.05 ± 0.02	$R^2V\neq\text{Sabit}$	2.54 ± 0.01	1.42 ± 0.01

Tablo 4.2b Succinonitrile-%3.61 ağ. Aseton alaşımında artan katkılaştırma hızı V' ye karşılık gelen λ_1/λ_2 , R^2V , λ_2/R ve $\lambda_{1(\text{Max})}/\lambda_{1(\text{Min})}$ oranlarının değerleri

Katılıştırma hızı değerleri ($\mu\text{m}/\text{s}$)	λ_1/λ_2	R^2V ($\mu\text{m}^3/\text{s}$)	λ_2/R	$\lambda_{1(\text{Max})}/\lambda_{1(\text{Min})}$
6.5	8.03	343.88	2.50	1.40
12.5	8.63	425.28	2.53	1.41
34.2	9.39	662.11	2.49	1.42
60	11.37	540	2.59	1.44
113	16.49	289.28	2.64	1.39
Ortalama ve ortalama sapma değerleri	10.78 ± 1.53	452.11 ± 67.37	2.55 ± 0.03	1.41 ± 0.01

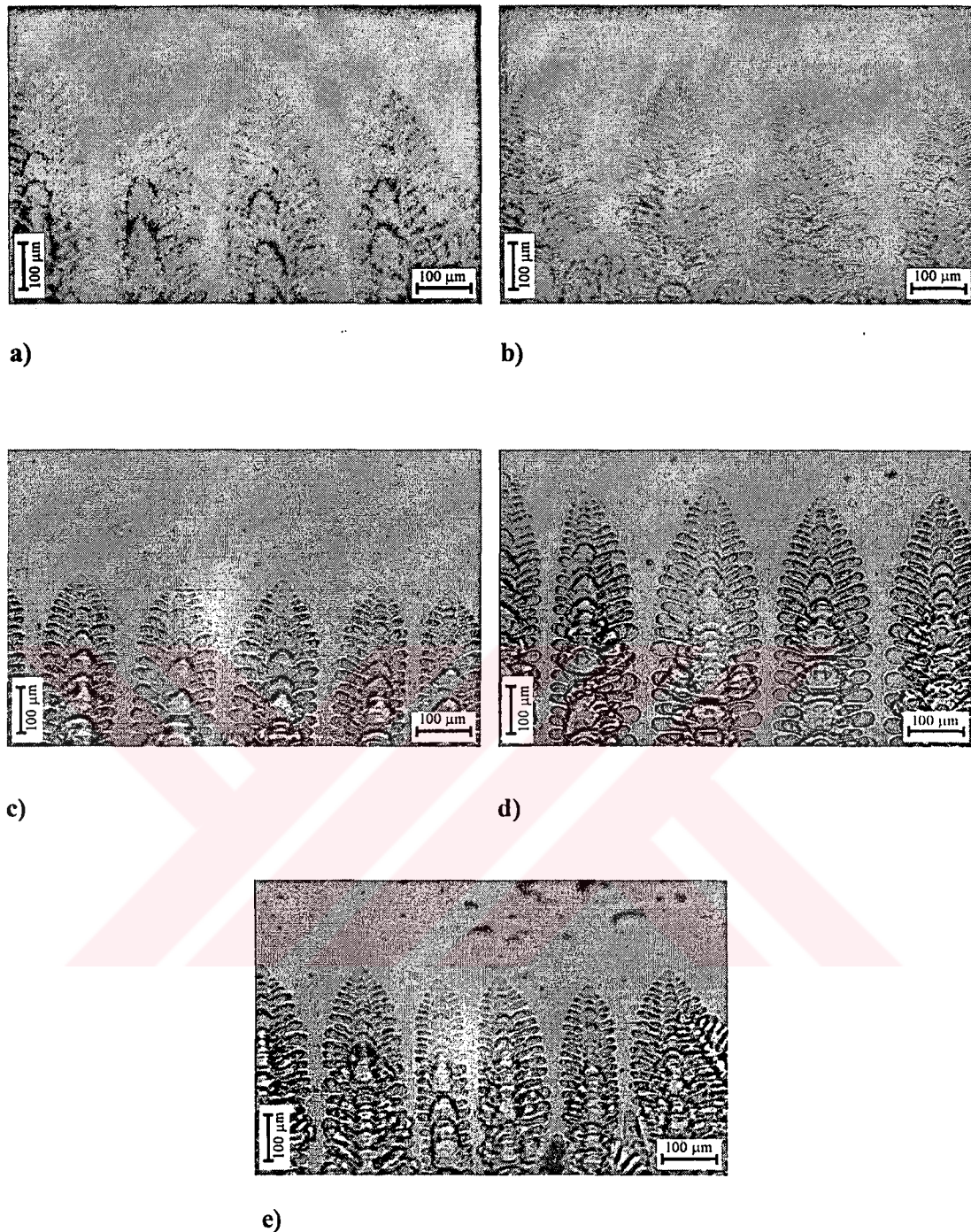
Tablo (4.2a)' da ki orantının değerlerine bakıldığından artan sıcaklık gradyentine göre sırasıyla λ_1/λ_2 oranı sabit kalmış ve değeri 8.05, λ_2/R oranı 2.54 değerinde ve $\lambda_{1\text{Max}}/\lambda_{1\text{Min}}$ oranı da 1.42 değerinde sabit kalmıştır. Artan sıcaklık gradyent değerlerine göre R^2V değeri ise monoton olarak azalmakta, sabit kalma eğilimi göstermektedir. Tablo (4.2b)' deki oranların ortalama değerlerine bakıldığından sabit sıcaklık gradyentinde artan katılıştırma hızlarına göre bu kez λ_1/λ_2 oranı sabit kalmamış hız arttıkça oranda artmıştır. λ_2/R oranı pek değişmemiş olup 2.55 ve yine $\lambda_{1\text{Max}}/\lambda_{1\text{Min}}$ oranı değeri pek değişmemiş olup 1.41 değeri bulunmuştur. R^2V değeri ise artan katılışma hızına göre ortalama $452 \mu\text{m}^3/\text{s}$ değerinde olduğu bulunmuştur.

Succinonitrile-Aseton alaşımı için bilinen sabitler (Likudus eğimi (m)= 3.02 K/pct.wt., çözünen dağılım sabiti (k)= 0.1, çözünen difüzyon uzunluğu (D)= $12.7 \times 10^2 \mu\text{m}^2/\text{s}$, Gibbs-Thomson katsayısı (Γ)= $6.4 \times 10^{-2} \text{ K}\mu\text{m}$) (Gandin ve ark. 1996) ve Tablo (4.2b)' de ortalama değeri verilen VR^2 ifadeleri denklem 2.21' de yerine konularak, Succinonitrile-%3.61 ağ. Aseton alaşımı için kararlılık sabiti ifadesi $\sigma^* = 0,018$ olarak bulunmuştur. Bu değer 5. bölümde ayrıntılı olarak tartışılmacaktır.

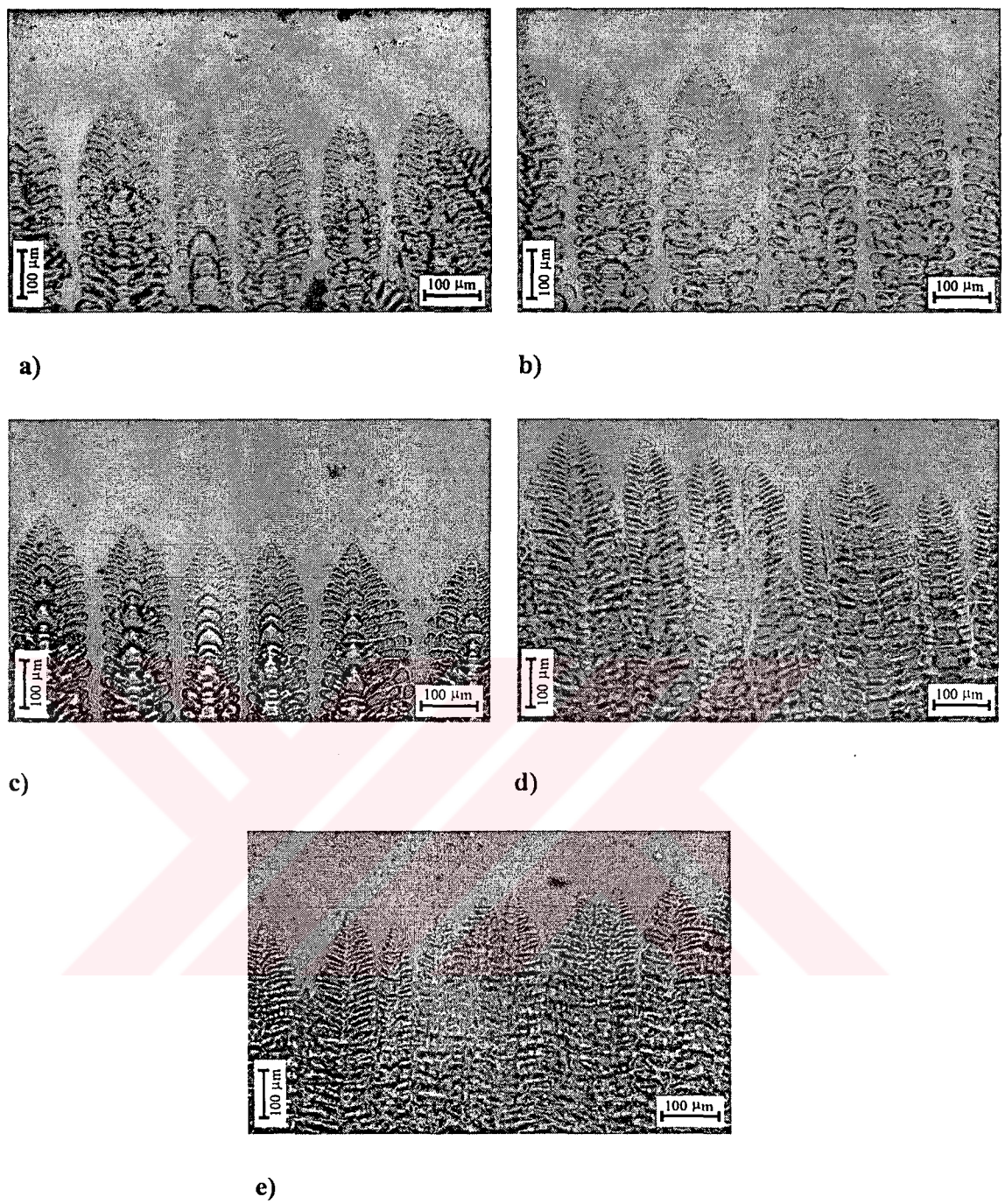
4.3. Succinonitrile-%2 ağ. Camphor için ölçülen mikroyapı parametreleri ve değerlendirilmesi

Succinonitrile-%2 ağ. Camphor' un katılıştırılması anında çekilen dijital fotoğraflardan bazıları şkil (4.6 ve 4.7)' de görülmektedir. Bu alaşım sistemi için yine yaklaşık 75 adet dijital fotoğraf Microsoft Word programında açılarak mikroyapı parametreleri cm cinsinden hesaplandı ve daha sonra her objektif için, o objektife ait büyütme faktörüne bölünerek gerçek değerleri bulundu. Daha sonra bu değerler μm ' ye çevrilerek her gradient için $\lambda_{1\text{Max}}$, $\lambda_{1\text{Min}}$, $\lambda_{1\text{Ort}}$, λ_2 , R ve d hesaplanındı.

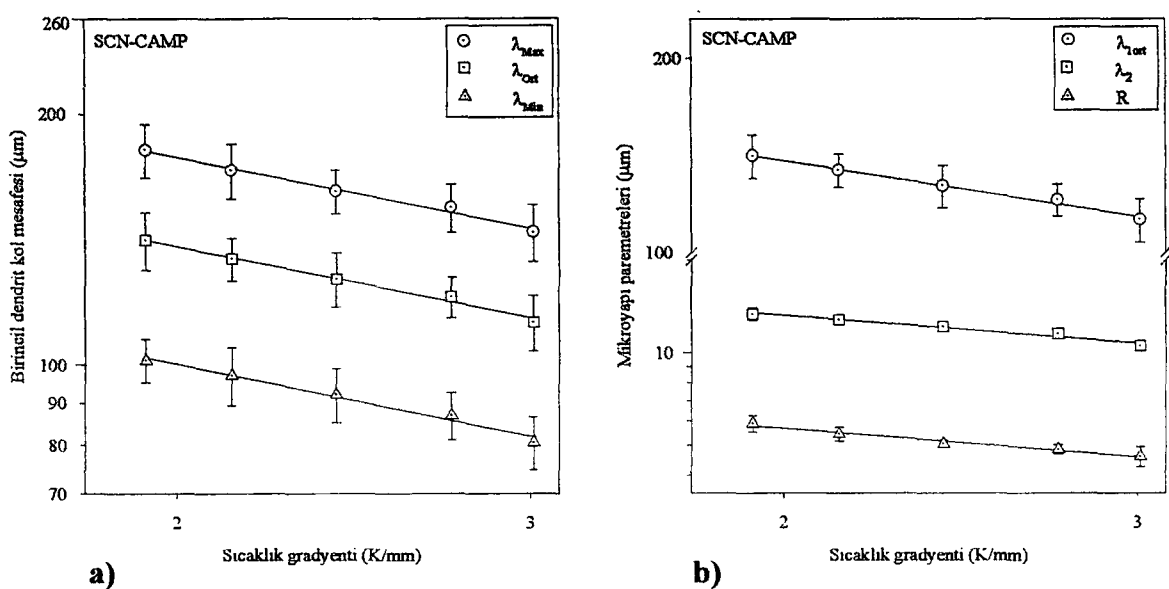
Mikroyapı parametrelerinin aritmetik ortalamaları ($\lambda_{1\text{Max}}$, $\lambda_{1\text{Min}}$, $\lambda_{1\text{Ort}}$, λ_2 , R ve d) ve ortalama standart sapma değerleri, sabit sıcaklık gradyentinde (3.01 K/mm) beş farklı hızda ($6.5-113 \mu\text{m}/\text{s}$) ve sabit büyütme hızında ($6.5 \mu\text{m}/\text{s}$) beş farklı sıcaklık gradyentinde ($1.93-3.01 \text{ K/mm}$) olmak üzere elde edilmişdir ve şkil (4.6a-b) ve şkil (4.7a-b)' deki logaritmik grafikler üzerinde yapılan lineer regresyon analizinden, mikroyapı parametrelerinin katılıştırma parametrelerine bağlılığını ifade eden bağıntılar Tablo (4.3 a-b)' deki gibi elde edilmiştir.



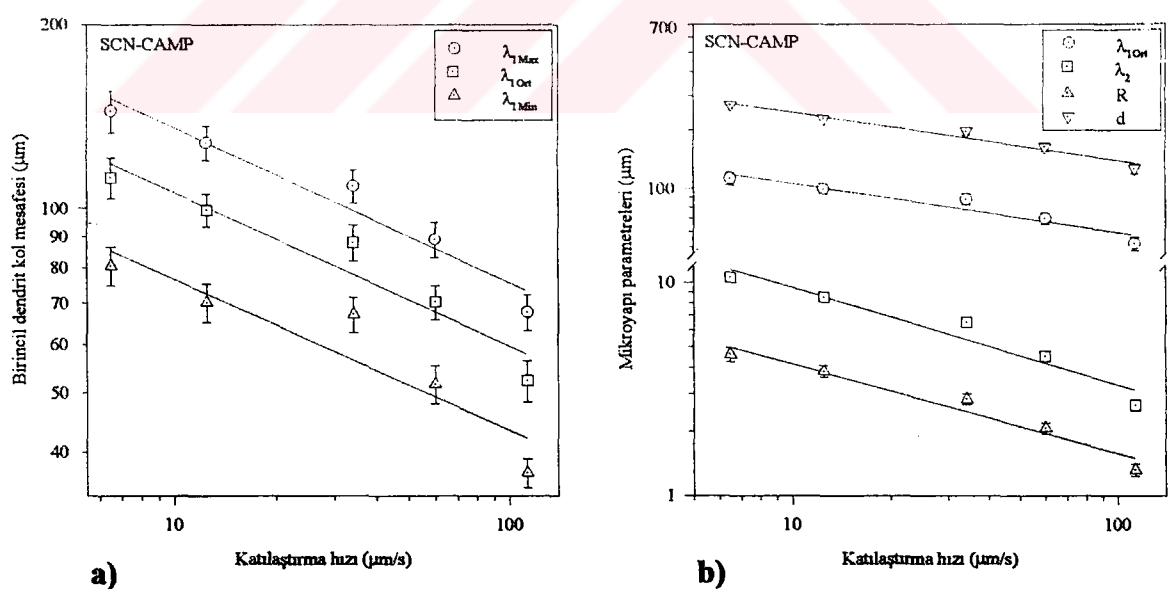
Şekil 4.6. Succinonitrile-%2 ağ. Camphor alaşım sisteminde sabit katılaştırma hızında ($V=6.5 \mu\text{m/s}$) farklı sıcaklık gradyentlerinde elde edilen katılaşma yapılarının fotoğrafları a) $G=1.93 \text{ K/mm}$ b) $G=2.13 \text{ K/mm}$ c) $G=2.40 \text{ K/mm}$ d) $G=2.74 \text{ K/mm}$ e) 3.01 K/mm



Şekil 4.7. Succinonitrile-%2 ağ. Camphor alaşım sisteminde sabit sıcaklık gradyentinde ($G=3.1 \text{ K/mm}$) farklı katkılaşma hızlarında elde edilen katkılaşma yapılarının fotoğrafları a) $V=6.5 \mu\text{m/s}$ b) $V=12.5 \mu\text{m/s}$ c) $V=34.2 \mu\text{m/s}$ d) $V=60 \mu\text{m/s}$ e) $V=113 \mu\text{m/s}$



Şekil 4.8 Sabit katkılaştırma hızında ($V=6.5 \mu\text{m/s}$) ve bileşimde ($C_o=\text{SCN}-\%2$ ağı. Camphor) organik alaşımın doğrusal katkılaştırılmasında oluşan dendritlerin mikroyapı parametrelerinin sıcaklık gradyentine göre değişimi a) Birincil dendrit kol mesafesinin G' ye göre değişimi b) Mikroyapı parametrelerinin G' ye göre değişimi.



Şekil 4.9. Sabit sıcaklık gradyenti ($G=3.01 \text{ K/mm}$) ve bileşimde ($C_o=\text{SCN}-\%2$ ağı. Camphor) organik alaşımın doğrusal katkılaştırılmasında oluşan dendritlerin mikroyapı parametrelerinin katkılaştırma hızına bağlı değişimi. a) Birincil dendrit kol mesafesinin V' ye göre değişimi b) Mikroyapı parametrelerinin V' ye göre değişimi.

Tablo 4.3a Succinonitrite-%2 ağ. Camphor organik合金 için sabit katılaşırma hızında farklı sıcaklık gradyentlerinde oluşan dendritlerden ölçülen mikroyapı parametrelerinin değerleri ve mikroyapı parametrelerinin katılaşırma parametrelerine göre üstel bağıntıları.

Sabit Katılaşırma hızı (V), değişken sıcaklık gradyenti (G) değerleri (SCN-%2 ağ. Camphor için)						
Mikroyapı parametreleri						
Katılaşırma parametreleri						
G (K/mm)	V (μm/s)	$\lambda_{i(\text{Max})}$ (μm)	$\lambda_{i(\text{Min})}$ (μm)	$\lambda_{i(\text{Ort})}$ (μm)	λ_2 (μm)	R (μm)
1.93	6.5	180.95±19.03	101.21±22.42	141.08±20.73	13.35±0.63	5.88±0.37
2.13	6.5	171.03±12.92	97.09±2.90	134.06±7.91	12.77±0.46	5.44±0.29
2.40	6.5	161.46±15.78	92.11±28.92	126.78±22.35	12.10±0.30	5.05±0.14
2.74	6.5	154.35±5.53	86.88±8.15	120.62±6.84	11.48±0.40	4.85±0.16
3.01	6.5	144.21±6.99	80.58±10.36	112.39±8.68	10.52±0.41	4.60±0.35
Deneysel bağıntılar		$\lambda_{i(\text{Max})}$	$\lambda_{i(\text{Min})}$	$\lambda_{i(\text{Ort})}$	λ_2	R
		$=k_{13}G^{-0.48}$	$=k_{14}G^{-0.49}$	$=k_{15}G^{-0.48}$	$=k_{16}G^{-0.50}$	$=k_{17}G^{-0.52}$
Regrasyon sabiti (k)						
$k_{13}=8.97$ ($\mu\text{m}^{0.52} \cdot \text{K}^{0.48}$)						$r_{13}=-0.994$
$k_{14}=4.76$ ($\mu\text{m}^{0.51} \cdot \text{K}^{0.49}$)						$r_{14}=-0.991$
$k_{15}=7.04$ ($\mu\text{m}^{0.52} \cdot \text{K}^{0.48}$)						$r_{15}=-0.994$
$k_{16}=0.59$ ($\mu\text{m}^{0.5} \cdot \text{K}^{0.50}$)						$r_{16}=-0.987$
$k_{17}=0.22$ ($\mu\text{m}^{0.48} \cdot \text{K}^{0.52}$)						$r_{17}=-0.989$
Korelasyon katsayısı (r)						
$r_{13}=-0.994$						
$r_{14}=-0.991$						
$r_{15}=-0.994$						
$r_{16}=-0.987$						
$r_{17}=-0.989$						

Tablo 4.3b Succinonitrile-%2 ağ. Camphor organik alaşımı için sabit sıcaklık gradyentinde farklı katılaştırma hızlarında oluşan dendritlerden ölçülen mikroyapı parametrelerinin değerleri ve mikroyapı parametrelerinin katılaştırma parametrelerine göre üstel bağıntıları.

Sabit sıcaklık gradyenti (G), değişken katılaştırma hızı (V) değerleri (SCN-%2 ağ. Camphor için)						
Mikroyapı parametreleri						
Katlaştırma parametreleri						
G (K/mm)	V (μm/s)	$\lambda_{1(\text{Max})}$ (μm)	$\lambda_{1(\text{Min})}$ (μm)	$\lambda_{1(\text{Ort})}$ (μm)	λ_2 (μm)	d (μm)
3.01	6.5	144.21±6.99	80.58±10.36	112.40±8.68	10.52±0.41	4.60±0.35
3.01	12.5	128.11±11.79	70.24±0.20	99.46±5.99	8.51±0.17	3.83±0.23
3.01	34.2	108.86±0.20	67.23±0.30	88.05±0.25	6.51±0.14	2.84±0.07
3.01	60.0	88.97±8.92	51.67±0.01	70.32±4.46	4.52±0.14	2.07±0.06
3.01	113.0	67.71±5.53	37.04±3.40	52.38±4.47	2.66±0.16	1.32±0.23
Deneysel bağıntılar	$\lambda_{1(\text{Max})}$	$\lambda_{1(\text{Min})}$	$\lambda_{1(\text{Ort})}$	λ_2	R	d
	$=k_{18}V^{-0.25}$	$=k_{19}V^{-0.25}$	$=k_{20}V^{-0.25}$	$=k_{21}V^{-0.46}$	$=k_{22}V^{-0.42}$	$=k_{23}V^{-0.25}$
Regrasyon sabiti (k)						
$k_{18}=243.38 (\mu\text{m}^{1.25} \cdot \text{sn}^{-0.25})$						
$k_{19}=135.39 (\mu\text{m}^{1.25} \cdot \text{sn}^{-0.25})$						
$k_{20}=189.40 (\mu\text{m}^{1.25} \cdot \text{sn}^{-0.25})$						
$k_{21}=27.00 (\mu\text{m}^{1.46} \cdot \text{sn}^{-0.46})$						
$k_{22}=10.96 (\mu\text{m}^{1.42} \cdot \text{sn}^{-0.42})$						
$k_{23}=435.91 (\mu\text{m}^{1.25} \cdot \text{sn}^{-0.25})$						
Korelasyon katsayıısı (r)						
$r_{18}=-0.975$						
$r_{19}=-0.927$						
$r_{20}=-0.960$						
$r_{21}=-0.967$						
$r_{22}=-0.977$						
$r_{23}=-0.982$						

Tablo 4.4a Succinonitrile-%2 ağ. Camphor alaşımında artan sıcaklık gradyenti G' ye karşılık gelen λ_1/λ_2 , R^2V , λ_2/R ve $\lambda_{1(\text{Max})}/\lambda_{1(\text{Min})}$ ortalama değerleri

Sıcaklık gradyenti değerleri (K/mm)	λ_1/λ_2	R^2V ($\mu\text{m}^3/\text{s}$)	λ_2/R	$\lambda_{1(\text{Max})}/\lambda_{1(\text{Min})}$
1.93	10.57	224.87	2.30	1.79
2.13	10.49	192.67	2.35	1.76
2.40	10.47	166.07	2.42	1.75
2.75	10.50	152.85	2.39	1.78
3.01	10.68	137.61	2.29	1.79
Ortalama ve ortalama sapma değerleri	10.54 ± 0.04	$R^2V \neq \text{Sabit}$	2.35 ± 0.03	1.77 ± 0.01

Tablo 4.4b Succinonitrile-%2 ağ. Camphor alaşımında artan katılıştırma hızı V' ye karşılık gelen λ_1/λ_2 , R^2V , λ_2/R ve $\lambda_{1(\text{Max})}/\lambda_{1(\text{Min})}$ oranlarının değerleri.

Katılma hızı değerleri ($\mu\text{m}/\text{s}$)	λ_1/λ_2	R^2V ($\mu\text{m}^3/\text{s}$)	λ_2/R	$\lambda_{1(\text{Max})}/\lambda_{1(\text{Min})}$
6.5	10.68	137.60	2.29	1.79
12.5	11.69	183.70	2.22	1.83
34.2	13.53	268.13	2.29	1.62
60	15.56	240	2.18	1.72
113	19.69	190	2.02	1.83
Ortalama ve ortalama sapma değerleri	14.23 ± 1.60	203.89 ± 22.83	2.2 ± 0.05	1.76 ± 0.04

Tablo (4.4a)' daki oranların ortalama değerlerine bakıldığından artan sıcaklık gradyentine göre λ_1/λ_2 oranı yaklaşık 10.54 civarında sabit kalmış, λ_2/R oranı 2.35 ve $\lambda_{1\text{Max}}/\lambda_{1\text{Min}}$ oranı da 1.77 değerinde sabit kalmıştır. Artan sıcaklık gradyent değerlerine göre R^2V değeri ise monoton olarak azalmakta, sabit kalma eğilimi göstermektedir. Tablo (4.4b)' deki oranların ortalama değerlerine bakıldığından sabit sıcaklık gradyentinde artan katilaştırma hızlarına göre bu kez λ_1/λ_2 oranı sabit kalmamış hız arttıkça oranda artmıştır. λ_2/R oranı 2.2 ve yine $\lambda_{1\text{Max}}/\lambda_{1\text{Min}}$ oranı değeri pek değişme göstermeyip 1.76 değeri bulunmuştur. R^2V değeri ise artan katıllaşma hızına göre yaklaşık 204 değerinde olduğu bulunmuştur.

Succinonitrile-Camphor alaşımı için bilinen fiziksel sabitler (Likudus eğimi (m)= 1.04 K/pct.wt., çözünen dağılım katsayısı (k)= 0.076, Çözünen difüzyon katsayısı (D)= 3×10^{-2} $\mu\text{m}^2/\text{s}$, birim hacimdeki erime entropisi (ΔS)=0.142 joule/cm³K, arayüzey enerjisi (γ)= 8.96×10^{-3} joule/m²) (Sato ve ark., 1987) ve Tablo (4.4b)' de ortalama değeri verilen VR^2 ifadeleri denklem (2.21)' de yerine konularak, Succinonitrile-%2 ağ. Camphor alaşımı için kararlılık sabiti ifadesi $\sigma^* = 0,048$ olarak bulunmuştur. Yine bu değerler 5. bölümde ayrıntılı olarak tartışılıp diğer teorik ve deneysel sonuçlarla karşılaştırılacaktır.

4.4. Sonuç

1. Succinonitrile-ağ.%3.61 Aseton alaşımı ve Succinonitrile-ağ.%2 Camphor alaşımı için mikroyapı parametrelerinin katıllaşma parametrelerine göre değişimi incelenmiş ve her iki alaşım içinde aralarındaki bağıntı logaritmik grafiklerde yapılan lineer regresyon analizi ile belirlenmiştir ve katıllaşma parametrelerinin (G ve V) artması ile mikroyapı parametrelerinin azalduğu görülmüştür.
2. Mikroyapı parametreleri ve katıllaşma parametreleri arasındaki bağıntılarda regresyon katsayılarının (üstel değerlerin) negatif olması orantının ters olduğunu ve korelasyon katsayılarının -1'e yakın olması da katıllaşma parametreleri ile mikroyapı parametreleri arasındaki ilişkinin oldukça tutarlı olduğunu göstermektedir.
3. Her iki alaşım sisteminde, sabit katıllaşma hızında, en yüksek ve en düşük sıcaklık gradyentleri arasındaki oran λ_1/λ_2 , R ve d için sabittir (≈ 1.26). Sabit sıcaklık gradyentin de, en yüksek ve en düşük katıllaşma hızları arasındaki oranın λ_1 ve d için düşük (≈ 2.12), λ_2 ve R için yüksek olduğu görülmüştür (≈ 4.07). Yani; λ_2 ve R' nin katıllaşma hızı V' nin artışına karşı gösterdiği azalma λ_1 ve d' ye nazaran daha fazladır.

4. Beş farklı büyümeye hızı için R^2V' nin deneysel değerleri kullanılarak Succinonitrile-%3.61 ağ. Aseton alaşımı için $\sigma^* = 0,018$ ve Succinonitrile-%2 ağ. Camphor alaşımı için de $\sigma^* = 0,048$ olarak elde edilmiştir.
5. Mikroyapı parametreleri katkılaştırma parametrelerinden bağımsız olarak kendi aralarında doğru orantılı olarak değişim göstermektedir. Yani, herhangi bir mikroyapı parametresindeki azalma veya artma diğer mikroyapı parametrelerinin de artmasına yada azalmasına neden olmaktadır. İkinci kollar arası mesafe ile dendrit uç yarıçapı arasındaki oran, SCN-%3.61 ağ. Aseton alaşımı için $\lambda_2/R=2,55$ ve SCN-%2 ağ. Camphor alaşımı için de $\lambda_2/R=2,28$ olarak bulunmuştur.
6. SCN-%3.61 ağ. Aseton alaşımı için $\lambda_{1Max}/\lambda_{1Min} = 1.42 \pm 0.01$ ve SCN-%2 ağ. Camphor alaşımı içinde $\lambda_{1Max}/\lambda_{1Min} = 1.77 \pm 0.03$ olarak bulunmuştur.
7. Bu tez kapsamındaki çalışmalarında mikroyapı parametreleri, katkılaştırma parametrelerinin değişimi ile kontrol edilmiştir. Metalik alaşımalar için bu çok önemli bir faktördür, çünkü metalik alaşımaların mekaniksel özelliklerini mikroyapı parametrelerinin değişimine sıkı sıkıya bağlıdır (Çadırlı ve ark., 1999).

BÖLÜM 5

TARTIŞMA VE YORUM

5.1. Giriş

Bu bölümde katılışturma konusuyla ilgili olarak çeşitli araştırmacılar tarafından benzer katılışturma şartları altında yapılan değişik maddeler ile yaptıkları deneylerin sonuçları bizim elde ettiğimiz deneysel sonuçlar ile karşılaştırılacaktır. Bununla beraber λ_1 için (Hunt modeli, Kurz-Fisher modeli, Trivedi modeli ve Hunt-Lu modeli) λ_2 için (Trivedi-Somboonsuk yaklaşımı), R için (Hunt modeli, Kurz-Fisher modeli ve Trivedi modeli) ve d için (Yapısal aşırı soğuma kriteri) ileri sürülen modeller bizim elde ettiğimiz deneysel verilerle test edilecektir.

5.2. Elde Edilen Sonuçların Literatürdeki Sonuçlarla Karşılaştırılması

Tablo (5.1)' de bu çalışmada kullanılan Succinonitrile-%3.61 ağ. Aseton ve Succinonitrile-%2 ağ. Camphor ikili alaşım sistemleri için mikroyapı parametrelerinin sıcaklık gradyenti ve katılışturma hızına göre üstel bağımlılığını veren deneysel sonuçlar görülmektedir ve bu sonuçlar Tablo (5.2)' de literatürde yer alan benzer ve farklı alaşımlar için elde edilen sonuçlar ile karşılaştırılmış ve bu sonuçlarla uyum içinde olduğu görülmüştür.

Tablo 5.1 Bu çalışma için mikroyapı parametrelerinin katlaşturma hızı ve sıcaklık gradyentine göre üstel bağımlılığının deneySEL sonuçları

Sistem	Sıcaklık gradyenti G($^{\circ}$ C/mm)	Katlaşturma hızı, $V \times 10^{-4}$ (cm/s)	Bağıntı	Kaynak
SCN-%3.61 ağ. ACE	3.53-5.7	6.5	$\lambda_{l \max} = kG^{-0.50}$	Bu çalışma
SCN-%3.61 ağ. ACE	3.53-5.7	6.5	$\lambda_{l \text{ ort}} = kG^{-0.50}$	Bu çalışma
SCN-%3.61 ağ. ACE	3.53-5.7	6.5	$\lambda_{l \min} = kG^{-0.49}$	Bu çalışma
SCN-%2 ağ. CAMP	1.93-3.01	6.5	$\lambda_{l \max} = kG^{-0.48}$	Bu çalışma
SCN-%2 ağ. CAMP	1.93-3.01	6.5	$\lambda_{l \text{ ort}} = kG^{-0.48}$	Bu çalışma
SCN-%2 ağ. CAMP	1.93-3.01	6.5	$\lambda_{l \min} = kG^{-0.49}$	Bu çalışma
SCN-%3.61 ağ. ACE	5.7	6.5-113	$\lambda_{l \max} = kV^{-0.25}$	Bu çalışma
SCN-%3.61 ağ. ACE	5.7	6.5-113	$\lambda_{l \text{ ort}} = kV^{-0.25}$	Bu çalışma
SCN-%3.61 ağ. ACE	5.7	6.5-113	$\lambda_{l \min} = kV^{-0.25}$	Bu çalışma
SCN-%2 ağ. CAMP	3.01	6.5-113	$\lambda_{l \max} = kV^{-0.25}$	Bu çalışma
SCN-%2 ağ. CAMP	3.01	6.5-113	$\lambda_{l \text{ ort}} = kV^{-0.25}$	Bu çalışma
SCN-%2 ağ. CAMP	3.01	6.5-113	$\lambda_{l \min} = kV^{-0.25}$	Bu çalışma
SCN-%3.61 ağ. ACE	3.53-5.7	6.5	$\lambda_2 = kG^{-0.50}$	Bu çalışma
SCN-%2 ağ. CAMP	1.93-3.01	6.5	$\lambda_2 = kG^{-0.50}$	Bu çalışma
SCN-%3.61 ağ. ACE	5.7	6.5-113	$\lambda_2 = kV^{-0.48}$	Bu çalışma
SCN-%2 ağ. CAMP	3.01	6.5-113	$\lambda_2 = kV^{-0.46}$	Bu çalışma
SCN-%3.61 ağ. ACE	3.53-5.7	6.5	$R = kG^{-0.50}$	Bu çalışma
SCN-%2 ağ. CAMP	1.93-3.01	6.5	$R = kG^{-0.52}$	Bu çalışma
SCN-%3.61 ağ. ACE	5.7	6.5-113	$R = kV^{-0.50}$	Bu çalışma
SCN-%2 ağ. CAMP	3.01	6.5-113	$R = kV^{-0.42}$	Bu çalışma
SCN-%3.61 ağ. ACE	3.53-5.7	6.5	$d = kG^{-0.49}$	Bu çalışma
SCN-%3.61 ağ. ACE	5.7	6.5-113	$d = kV^{-0.25}$	Bu çalışma
SCN-%2 ağ. CAMP	3.01	6.5-113	$d = kV^{-0.25}$	Bu çalışma

Şimdi detaylı olarak sonuçları inceleyelim.

5.2.1. Birincil dendrit kol mesafeleri ile karşılaştırmalar

Bizim sonuçlara bakıldığında her iki alaşım sistemi için birincil dendrit kol mesafesi ile sıcaklık gradyentinin üstel değeri 0.48-0.50 arasında değişmekte ve teorik olarak bu değer 0.5' dir. Tablo 5.2' deki literatürdeki bulunan değerler ile karşılaştırıldığında sırasıyla Taha (1979), Grugel ve ark. (1989), Dey ve ark. (1993) ve Çadırlı ve arkadaşlarının (2000) elde etmiş oldukları 0.50, 0.50, 0.50 ve 0.47 değerleri ile oldukça iyi uyum içindedir. Birincil dendrit kol mesafesi ile V arasındaki üstel değerler tam olarak 0.25' dir. Bu değer teorik olarak da 0.25' dir. Literatürdeki Taha (1979) ve Çadırlı ve ark. (1999, 2000) elde etmiş oldukları sırasıyla 0.25, 0.32 ve 0.25 değerleri ile uyum içindedir.

5.2.2. İkincil dendrit kol mesafeleri ile karşılaştırmalar

Bu çalışmada her iki alaşım sistemi için ikincil dendrit kol mesafeleri ile sıcaklık gradyenti arasındaki üstel değerler 0.50' dir, teorik değerde 0.50' dir. DeneySEL üstel değerler

Tablo (5.2)' deki Çadırlı ve ark. (1999, 2000) elde ettikleri 0.42 ve 0.48 üstel değerler ile uyum içindedir. İkincil dendrit kol mesafesi ile V arasındaki üstel değerler bu çalışmada 0.46-0.48 arasındadır. Yine bu değerler sırasıyla Billia ve ark. (1993), Çadırlı ve ark. (1999), Somboonsuk ve ark. (1984), Seetharaman ve ark. (1989), Trivedi ve ark. (1991) ve Esaka ve ark. (1985) tarafından elde edilen 0.56, 0.43, 0.56, 0.45, 0.58 ve 0.51 değerleri ile uyum içindedir.

5.2.3. Dendrit uç yarıçapı ile karşılaştırmalar

Dendrit uç yarıçapı ile G arasındaki üstel değerler 0.50-0.52 arasındadır. Teorik üstel değer 0.50' dir. Tablo 5.2' de sonuçlara bakıldığından Çadırlı ve ark. (1999, 2000) elde ettikleri 0.46 ve 0.50 üstel değerleri ile uyuşmaktadır. Dendrit uç yarıçapının V ile arasındaki üstel değerler 0.42-0.50 arasındadır. Yine Tablo (5.2)' deki literatür sonuçlarına bakıldığından sırasıyla Çadırlı ve ark. (1999), Seetharaman ve ark. (1989), Trivedi ve ark. (1991), Esaka ve ark. (1985) ve Langer ve ark. (1980) tarafından elde edilen, 0.50, 0.53, 0.47, 0.54, 0.53 ve 0.43 değerleri ile oldukça uyum içindedir.

5.2.4. Yumuşak bölge derinliği ile karşılaştırmalar

Yumuşak bölge derinliği ile G arasındaki üstel değer 0.49' dur. Literatürde bu konu ile ilgili pek çalışma bulunmamasına karşın Çadırlı ve ark. (2000) elde ettikleri değer 0.65' dir. Bu değer biraz büyüktür. Yumuşak bölge derinliği ile V arasındaki üstel değer 0.25' dir. Yine Çadırlı ve ark. (2000) tarafından elde edilen 0.22 değeri ile uyum içindedir.

Tablo 5.2. Farklı malzeme vealaşım sistemlerinde mikroyapı parametrelerinin, katılaştırma hızı ve sıcaklık gradyentine göre değişimini inceleyen deneysel çalışmaların sonuçları.

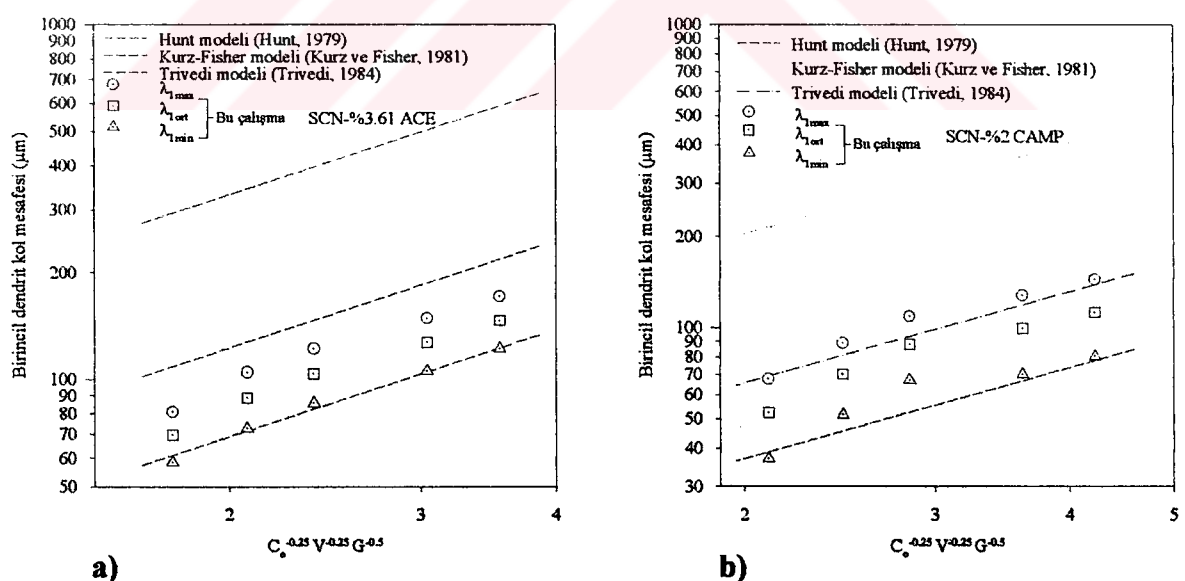
Sistem	Sıcaklık gradyenti G(K/mm)	Katılaştırma hızı, Vx10 ⁻⁴ (cm/s)	Üstel bağımlılığı	Kaynak
KCl-%5 mol CsCl	3	13-130	$\lambda_1 = kV^{-0.42}$	Schmidbauer ve ark., 1993
KCl-%5 mol CsCl	3	5.2-52	$\lambda_1 = kV^{-0.53}$	Schmidbauer ve ark., 1993
SCN-%13 ağı. ACE	2	7.25-11.35	$\lambda_1 = kV^{-0.58}$	Schmidbauer ve ark., 1993
CBr ₄	7	7-100	$\lambda_1 = kV^{-0.55}$	DeCheveigne ve ark., 1985
SCN-%25 ağı. ETH	4.8	3-54	$\lambda_1 = 470V^{-0.42}$	Huang ve ark., 1993
SCN-%2.5 ağı. Benzil	1.6-9.5	56-92	$\lambda_1 = kG^{-0.50} V^{-0.25}$	Taha, 1979
SCN-%(0.15-5) ağı. ACE	3.8	48-225	$\lambda_1 = kG^{-0.50} V^{-0.25}$	Taha, 1979
SCN-%1.4 ağı. Su	6.24	140	$\lambda_1 = kG^{-0.50}$	Gruger ve Zhou, 1989
Salol	5.4	5-75	$\lambda_1 = k(GV)^{-0.50}$	Dey ve Sekhar, 1993
SCN-%(0.001-0.004) mol Salol	6-15	60-160	$\lambda_1 = 0.16G^{-1/3} V^{-1/3} X_o^{-1/3}$	Liu ve Kirkaldy, 1994
SCN-%(0.001-0.004) mol ACE	6-15	60-160	$\lambda_1 = 0.17G^{-1/3} V^{-1/3} X_o^{-1/3}$	Liu ve Kirkaldy, 1994
SCN-%(0.001-0.004) mol ETH	6-18	60-160	$\lambda_1 = 0.25G^{-1/3} V^{-1/3} X_o^{-1/3}$	Liu ve Kirkaldy, 1994
SCN-%4 ağı. ACE	6.7	1-100	$\lambda_1 = kV^{-0.37}$	Billia ve Trivedi, 1993
Camphen	6.94	6.6-116.5	$\lambda_1 = kV^{-0.25}$	Çadırlı ve ark., 2000
Camphen	2.25-6.94	6.6	$\lambda_1 = kG^{-0.47}$	Çadırılı ve ark., 2000
Camphen	2.25-6.94	6.6-116.5	$\lambda_1 = k(GV)^{-0.31}$	Çadırılı ve ark., 2000
PVA	1.638	6.7-85.8	$\lambda_1 = kV^{-0.32}$	Çadırılı ve ark., 1999
PVA	1.638-4.864	19.6	$\lambda_1 = kG^{-0.36}$	Çadırılı ve ark., 1999
PVA	1.638-4.864	6.7-85.8	$\lambda_1 = k(GV)^{-0.34}$	Çadırılı ve ark., 1999
SCN-%4 ağı. ACE	6.7	3.4-5.8	$\lambda_2/V = 2$	Trivedi ve ark., 1984
SCN-%5.5 mol. ACE	---	---	$\lambda_2 \alpha V^{-0.56}$	Somboonsuk ve ark., 1984
CBr ₄ -%10.5 ağı. C ₂ Cl ₆	3	0.2-20	$\lambda_2 \alpha V^{-0.44}$	Seetharaman ve ark., 1989
CBr ₄ -%7.9 ağı. C ₂ Cl ₆	3	0.2-20	$\lambda_2 \alpha V^{-0.45}$	Seetharaman ve ark., 1989
PVA-%0.82 ağı. ETH	0.85-2.26	0.3-80	$\lambda_2 \alpha V^{-0.58}$	Trivedi ve Mason, 1991
SCN-%1.3 ağı. ACE	1.6-9.7	1.6-250	$\lambda_2 \alpha V^{-0.51}$	Esaka ve Kurz, 1985
PVA-%0.91 ağı. ETH	1.5	1-100	$\lambda_2 \alpha V^{-0.58}$	Seetharaman ve ark., 1989
SCN-%4 ağı. ACE	6.7	1-100	$\lambda_2 = kV^{-0.56}$	Billia ve Trivedi, 1993
Camphen	6.94	6.6-116.5	$\lambda_2 = kV^{-0.24}$	Çadırılı ve ark., 2000
Camphen	2.25-6.94	6.6	$\lambda_2 = kG^{-0.48}$	Çadırılı ve ark., 2000
Camphen	2.25-6.94	6.6-116.5	$\lambda_2 = k(GV)^{-0.31}$	Çadırılı ve ark., 2000
PVA	1.638	6.7-85.8	$\lambda_2 = kV^{-0.43}$	Çadırılı ve ark., 1999
PVA	1.638-4.864	19.6	$\lambda_2 = kG^{-0.29}$	Çadırılı ve ark., 1999
PVA	1.638-4.864	6.7-85.8	$\lambda_2 = k(GV)^{-0.42}$	Çadırılı ve ark., 1999
CBr ₄ -%10.5 ağı. C ₂ Cl	3	0.1-100	$R \alpha V^{-0.53}$	Seetharaman ve ark., 1989
CBr ₄ -%7.9 ağı. C ₂ Cl	3	0.1-100	$R \alpha V^{-0.47}$	Seetharaman ve ark., 1989
PVA-%0.82 ağı. ETH	0.85-2.26	0.3-80	$R \alpha V^{-0.54}$	Trivedi ve Mason, 1991
SCN-%1.3 ağı. ACE	1.6-9.7	1.6-250	$R \alpha V^{-0.53}$	Esaka ve Kurz, 1985
SCN-%2 ağı. Su	2.4-3.3	0.76-105	$R \alpha V^{-0.43}$	Langer ve ark., 1980
PVA-%0.91 ağı. ETH	1.5	1-100	$R \alpha V^{-0.54}$	Seetharaman ve ark., 1989
Camphen	6.94	6.6-116.5	$R = kV^{-0.24}$	Çadırılı ve ark., 2000
Camphen	2.25-6.94	6.6	$R = kG^{-0.50}$	Çadırılı ve ark., 2000
Camphen	2.25-6.94	6.6-116.5	$R = k(GV)^{-0.30}$	Çadırılı ve ark., 2000
PVA	1.638	6.7-85.8	$R = kV^{-0.50}$	Çadırılı ve ark., 1999
PVA	1.638-4.864	19.6	$R = kG^{-0.46}$	Çadırılı ve ark., 1999
PVA	1.638-4.864	6.7-85.8	$R = k(GV)^{-0.50}$	Çadırılı ve ark., 1999
Camphen	6.94	6.6-116.5	$d = kV^{-0.22}$	Çadırılı ve ark., 2000
Camphen	2.25-6.94	6.6-116.5	$d = kG^{-0.65}$	Çadırılı ve ark., 2000
Camphen	2.25-6.94	6.6-116.5	$d = k(GV)^{-0.34}$	Çadırılı ve ark., 2000
PVA	1.638	6.7-85.8	$d = kV^{-0.45}$	Çadırılı ve ark., 1999
PVA	1.638-4.864	19.6	$d = kG^{-0.33}$	Çadırılı ve ark., 1999
PVA	1.638-4.864	6.7-85.8	$d = k(GV)^{-0.44}$	Çadırılı ve ark., 1999

5.3. Teorik Modellerle Deneysel Sonuçların Karşılaştırılması

5.3.1. Birincil dendrit kol mesafelerinin teorik modellerle karşılaştırılması

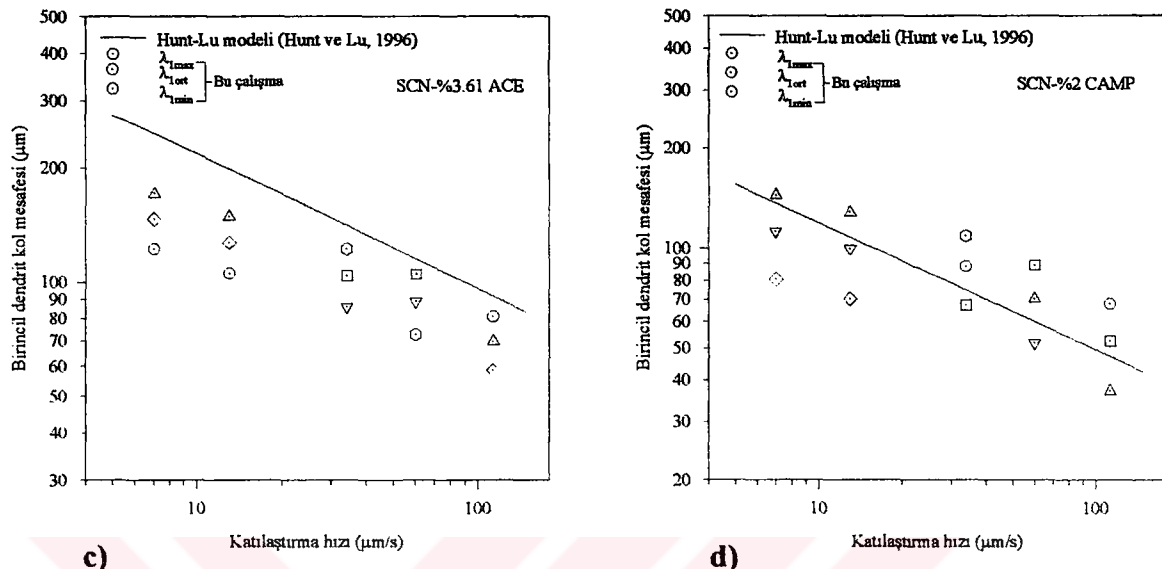
Şekil (5.1a-d)' de, bu çalışmada kullanılan Succinonitrile-%3.61 ağ. Aseton ve Succinonitrile-%2 ağ. Camphor için hesaplanan λ_1 değerleri ile Hunt modeli (Hunt, 1979) , Kurz-Fisher modeli (Kurz ve Fisher, 1981), Trivedi modeli (Trivedi, 1984) ve Hunt-Lu modeli (Hunt ve Lu, 1996)' nin kestirdiği λ_1 değerleri karşılaştırılmıştır. İkinci bölümde detaylı olarak verilen literatürde kabul görmüş bu modeller için λ_1 ve R değerleri hesaplanırken SCN-ACE ve SCN-CAMP ikili alaşımlarının fizikselse parametreleri kullanılmıştır.

Şekil (5.1a-b)' de görüldüğü gibi sırasıyla her iki alaşım sistemi için bu deneysel çalışmada elde edilen λ_1 değerleri Hunt modeli (Hunt, 1979) ve Trivedi modeli (Trivedi, 1984)' nin kestirdiği değerler arasında kalmaktadır. Kurz-Fisher modeli (Kurz ve Fisher, 1981)' nin kestirdiği değerler bizim deneysel değerlerden oldukça büyük çıkmıştır. Benzer bir eğilim son zamanlarda Gündüz ve Çadırlı (2002)' nin Al-Cu alaşım sistemleri içinde görülmektedir.



Şekil 5.1a-b. Deneysel birincil dendrit kol mesafesinin teorik modeller (Hunt, 1979, Kurz ve Fisher, 1981, Trivedi, 1984) ile karşılaştırılması.

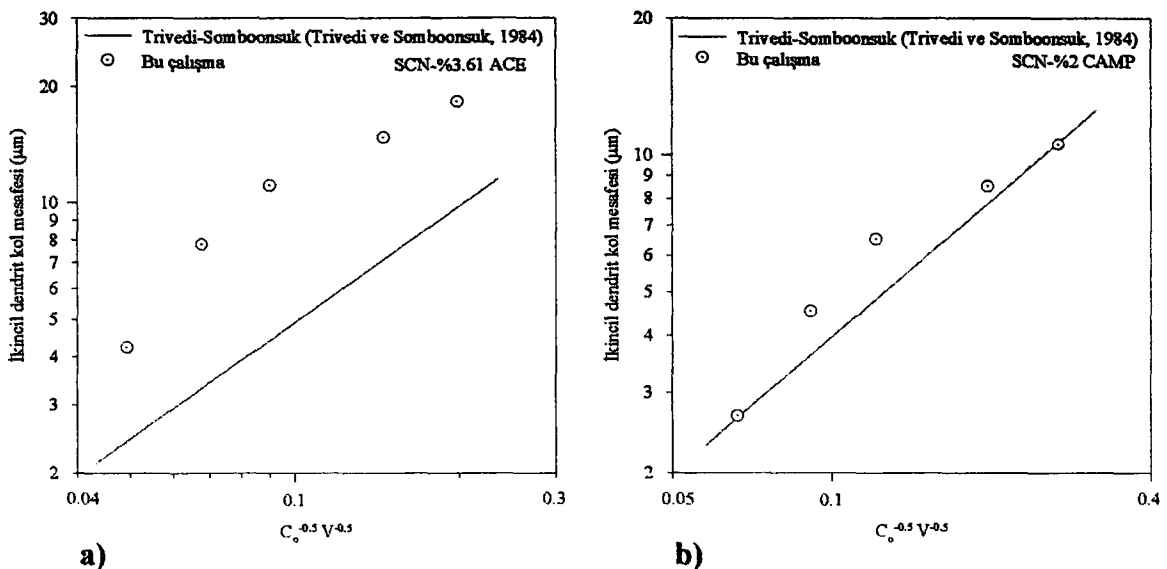
Yine şekil (5.1c-d) Hunt-Lu nümerik modelinin (Hunt ve Lu, 1996) kestirdiği sonuçlar özellikle yüksek katılıştırma hızlarında bizim deneysel sonuçlar ile uyumludur.



Şekil 5.1c-d. Deneysel birincil dendrit kol mesafesinin Hunt-Lu nümerik modeli (Hunt ve Lu, 1996) ile karşılaştırılması

5.3.2. İkincil dendrit kol mesafeleri ile Trivedi-Somboonsuk yaklaşımının karşılaştırılması

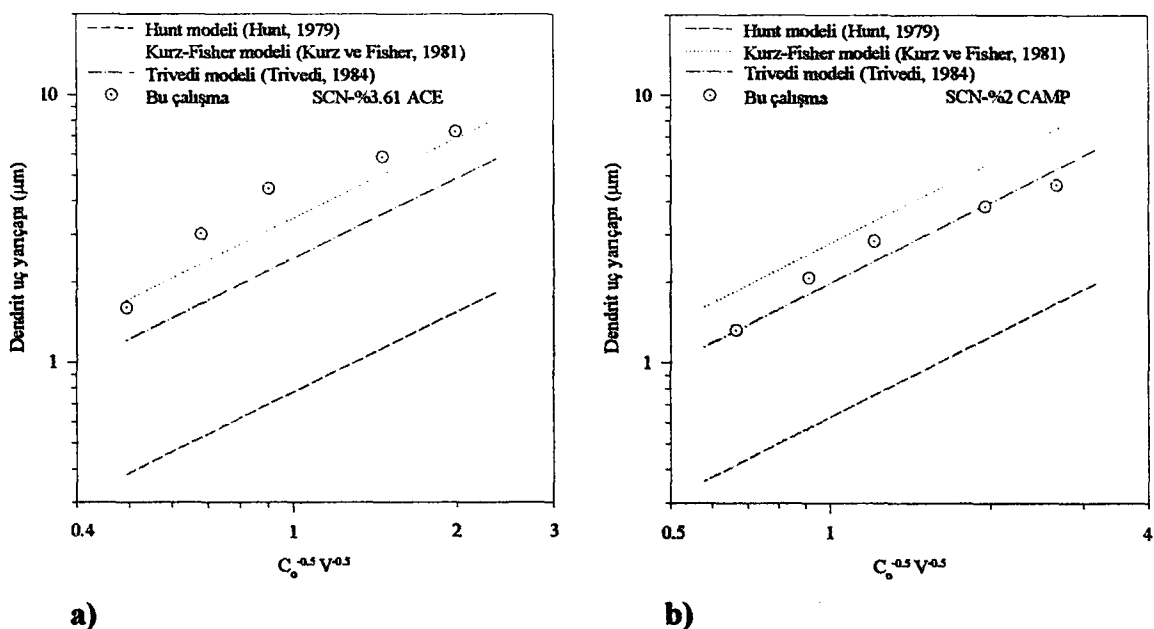
Şekil (5.2)' de ikincil dendrit kol için Trivedi-Somboonsuk (1984) tarafından ileri sürülen yaklaşımıyla bizim elde ettiğimiz deneysel λ_2 değerleri karşılaştırılmıştır. Bu yaklaşımla hesaplanan λ_2 değerleri SCN-%3.61 ağ. ACE alaşımı için hesaplanan λ_2 değerlerinden biraz küçük, SCN-%2 ağ. CAMP alaşımı için hesaplanan λ_2 değerleri ile oldukça uyum içerisindeindir.



Şekil 5.2. Deneysel ikincil dendrit kol mesafesinin Trivedi-Somboonsuk yaklaşımı ile karşılaştırılması.

5.3.3. Dendrit uç yarıçapının teorik modellerle karşılaştırılması

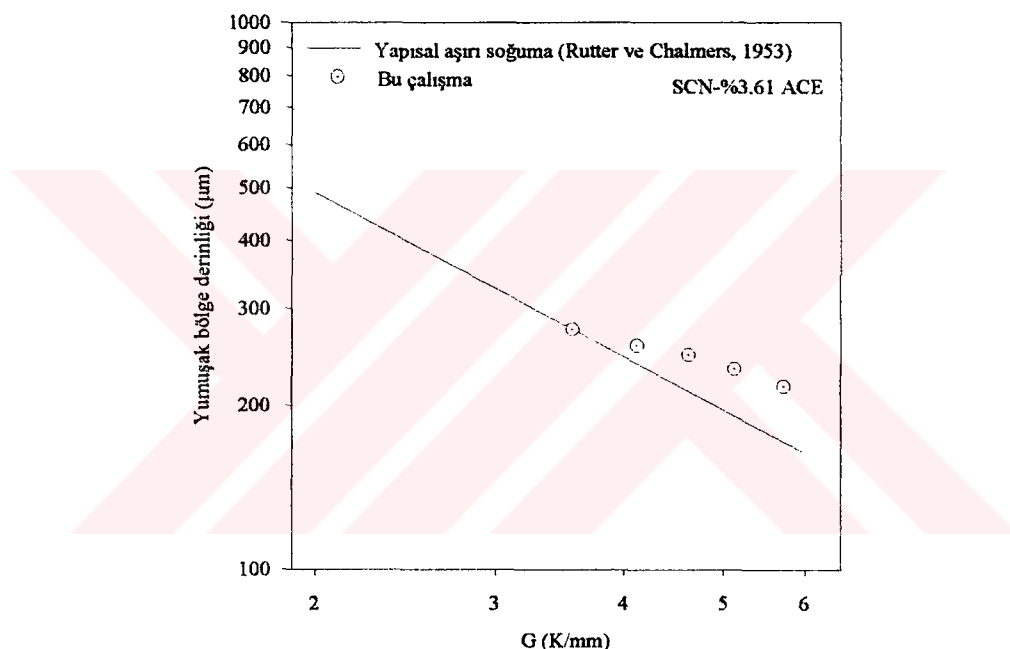
Şekil (5.3)' de görüldüğü gibi her iki合金 içinde elde edilen deneysel R değerleri teorik modeller tarafından hesaplanan R değerleri ile karşılaştırılmıştır. Her iki合金 sistemi için elde edilen deneysel R değerleri, Kurz-Fisher (1981) ve Trivedi (1984) modelleri ile daha uyumludur, Hunt (1979) modeli' nin kestirdiği değerler ise oldukça küçüktür. Yine benzer eğilim son zamanlarda Gündüz ve Çadırlı (2002)' nın Al-Cu metalik合金 sistemleri için yapmış oldukları çalışmada görülmektedir.



Şekil 5.3. Deneysel dendrit uç yarıçapının teorik modellerle karşılaştırılması

5.3.4. Yumuşak bölge derinliğinin yapısal aşırı soğuma kriteri yaklaşımı ile karşılaştırılması

Şekil (5.4)' de yapısal aşırı soğuma kriterine bağlı olarak ($d = \Delta T_o/G$) elde edilen d değerleri SCN-%3.61 ACE alaşımı için elde edilen deneyel d değerleri özellikle düşük sıcaklık gradyent değerlerinde uyum içerisinde olduğu görülmektedir. Ancak yapısal aşırı soğuma kriterine göre d, G' ye daha fazla bağımlı olarak değişim göstermektedir.



Şekil 5.4. Deneyel yumuşak bölge derinliğinin yapısal aşırı soğuma kriteri ile karşılaştırılması

Mikroyapı parametrelerinin kendi aralarında belirli oranlar vardır. Tablo (5.3a, b, c)' de dendrit uç yarıçapının diğer mikroyapı parametrelerine olan etkisi görülmektedir.

5.4. Farklı Malzeme ve Alaşım Sistemleri İçin Oran ve Sabitlerin Karşılaştırılması

Konuya ilgili yapılan çok detaylı literatür araştırması sonucu bir çoğu ikili organikalaşım sistemleri olmak üzere üstel bağıntılarla birlikte bazı orantı ve sabitlerde elde edilmiştir. Bunlar sırasıyla ikincil dendrit kol mesafesinin dendrit uç yarıçapına oranını veren ve teorik değeri 2.1 olarak Langer ve Müller-Krumbhaar (1980) tarafından elde edilmiş λ_2/R

oranıdır. İkinci sabit R^2V değeridir. Bu değer alaşım sistemine bağlı olarak oldukça geniş aralıkta değişim göstermektedir. Üçüncü sabit ise kararlılık sabiti olarak adlandırılan σ^* sabitidir ve teorik değeri Langer ve Müller-Krumbhaar (1980) tarafından 0.02 olarak elde edilmiştir. Tablo (5.3a-c)' de bu sabitler verilmiştir.

Tablo (5.3a)' dan görüldüğü gibi çalışılan sistemler için elde edilen λ_2/R oranları yaklaşık 2.3 ve 2.45' dir. Bu değerler özellikle sırasıyla Trivedi ve ark. (1991), Liu ve ark. (2002) ve Gündüz ve Çadırı' nın (2002) elde ettikleri 2, 2.8 ve 2.8 sabitleriyle uyum içindedir. Tablo (5.3b)' de ise bizim ve diğer araştırmacıların elde ettikleri VR^2 değerleri verilmiştir. Görüldüğü gibi alaşım sistemine bağlı olarak oluşan farklı değerler mevcuttur. Tablo (5.3c)' de ise değişik alaşım sistemleri için elde edilen kararlılık sabitleri verilmiştir, bu sabitlerin teorik değeri 0.02' dir. Bu çalışmada özellikle SCN-Aseton alaşım sistemi için elde edilen 0.018 değeri hem teorik değere oldukça yakın hem de değişik araştırmacılar (Somboonsuk ve ark., 1984, Seetharaman ve ark., 1989, Glicksman ve Sing, 1986, Hansen ve ark., 2002) tarafından sırasıyla değişik alaşım sistemleri için elde edilen 0.020, 0.019, 0.022, 0.022 ve 0.022 değerleriyle çok iyi uyum sağlamaktadır. SCN-Camphor için değer biraz büyütür bunun sebebi literatürde bu alaşım sistemi için çok sayıda ölçülmüş fiziksel sabit değeri bulunmamaktadır.

Tablo 5.3 Farklı malzeme ve alaşım sistemleri için elde edilmiş orantı ve sabitler

a) λ_2/R oran sabitleri

Sistem	Formül	Kaynak
SCN-%3.61 ağ. Aseton	$\lambda_2/R = 2.45$	Bu çalışma
SCN-%2 ağ. Camphor	$\lambda_2/R = 2.275$	Bu çalışma
PVA-%0.82 ağ. Etanol	$\lambda_2/R = 3.8$	Trivedi ve Mason, 1991
SCN	$\lambda_2/R = 3$	Huang ve Glicksman, 1981
PVA	$\lambda_2/R = 7$	Glicksman ve Singh, 1986
SCN-Aseton	$\lambda_2/R = 2$	Trivedi ve ark., 1984
CBr ₄ -%10.5 ağ. C ₂ Cl ₆	$\lambda_2/R = 3.18$	Seetharaman ve ark., 1989
CBr ₄ -%7.9 ağ. C ₂ Cl ₆	$\lambda_2/R = 3.47$	Seetharaman ve ark., 1989
PVA	$\lambda_2/R = 4.64$	Çadırı ve ark., 1999
SCN- %5.6 ağ. H ₂ O	$\lambda_2/R = 2.8$	Liu ve ark., 2002
NH ₄ Cl-%70 H ₂ O	$\lambda_2/R = 4.02$	Hansen ve ark., 2002
SCN	$\lambda_2/R = 3$	Hansen ve ark., 2002
Camphen	$\lambda_2/R = 3.33$	Çadırı ve ark., 2000
Al-%15 ağ. Cu	$\lambda_2/R = 2.8$	Gündüz ve Çadırı, 2002

Tablo 5.3 (Devam) Farklı malzeme vealaşım sistemleri için elde edilmiş orantı ve sabitler

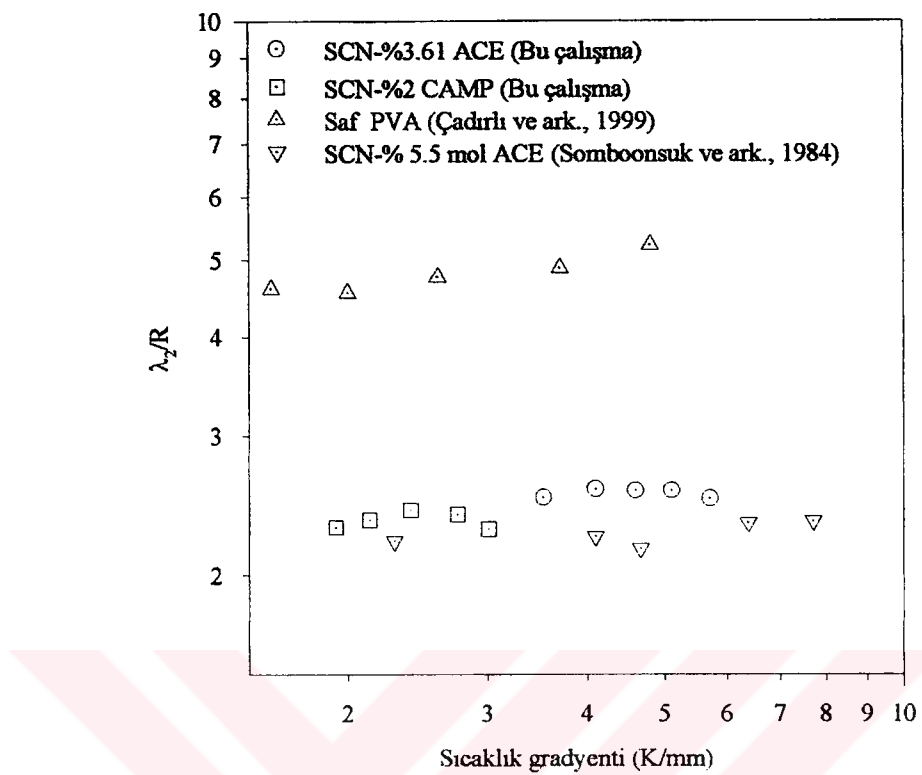
b) VR^2 sabit değerleri

Sistem	Formül	Kaynak
SCN-%3.61 ağ. Aseton	$VR^2 = 452.11 \pm 67.37 \mu\text{m}^3/\text{s}$	Bu çalışma
SCN-%2 ağ. Camphor	$VR^2 = 203.89 \pm 22.83 \mu\text{m}^3/\text{s}$	Bu çalışma
PVA-%0.91 Ethanol	$VR^2 = 257 \pm 75 \mu\text{m}^3/\text{s}$	Trivedi ve Mason, 1991
CBr ₄ -%8 mol C ₂ Cl ₆	$VR^2 = 700 \pm 100 \mu\text{m}^3/\text{s}$	Akamatsu ve ark., 1995
SCN-%5.6 H ₂ O	$VR^2 = 140 \mu\text{m}^3/\text{s}$	Liu ve ark., 2002
NH ₄ Cl-%70 H ₂ O	$VR^2 = 12.6 \pm 2 \mu\text{m}^3/\text{s}$	Hansen ve ark., 2002
SCN-%5.6 ağ. H ₂ O	$VR^2 = 130 \pm 5 \mu\text{m}^3/\text{s}$	Hansen ve ark., 2002

c) σ^* kararlılık sabiti değerleri

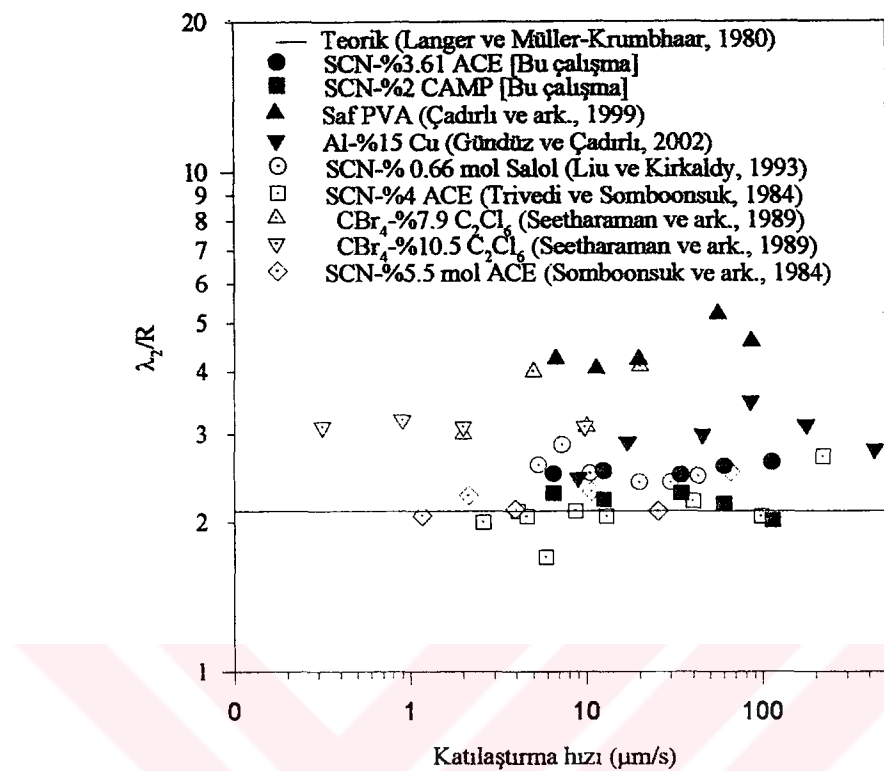
Sistem	Formül	Kaynak
SCN-%3.61 ağ. Aseton	$\sigma^* = 0.018$	Bu çalışma
SCN-%2 ağ. Camphor	$\sigma^* = 0.048$	Bu çalışma
PVA-%0.82 ağ. Ethanol	$\sigma^* = 0.055$	Trivedi ve Mason, 1991
SCN	$\sigma^* = 0.0195$	Huang ve Glicksman, 1981
Camphen	$\sigma^* = 0.022$	Rubinstein ve ark., 1991
Cyclohexanol	$\sigma^* = 0.027$	Singh ve Glicksman, 1989
PVA	$\sigma^* = 0.022$	Glicksman ve Singh, 1989
NH ₄ Cl-H ₂ O	$\sigma^* = 0.08$	Dougherty ve Gollub, 1988
SCN-%5.5 mol Aseton	$\sigma^* = 0.020$	Somboonsuk ve ark., 1984
CBr ₄ -%10.5 ağ. C ₂ Cl ₆	$\sigma^* = 0.019$	Seetharaman ve ark., 1989
SCN-H ₂ O	$\sigma^* = 0.0156$	Marescaa ve ark., 2002
CBr ₄ -%7.9 ağ. C ₂ Cl ₆	$\sigma^* = 0.022$	Seetharaman ve ark., 1989

Şekil (5.5 ve 5.6) ise λ_2/R 'nin sırasıyla sıcaklık gradyentine ve katılaştırma hızına göre değişimini veren farklı araştırmacıların sonuçları görülmektedir. Şekil (5.5)'de görüldüğü gibi saf pivalik asit dışındaki ikili organik alaşım sistemleri için artan sıcaklık gradyent değerlerine göre elde edilen λ_2/R değerleri 2-3 arasında değişim göstermektedir.



Şekil 5.5. SCN-%3.61 ağ. Aseton ve SCN-%2 ağ. Camphor alaşımlarında sıcaklık gradyentine bağlı olarak elde edilen λ_2/R değerlerinin diğer sonuçlarla karşılaştırılması.

Şekil (5.6)' da değişik araştırmacılar tarafından elde edilen λ_2/R oranlarının artan katılıştırma hızlarına göre değişimi verilmiştir. Görüldüğü gibi teorik değerler 2.1' dir. Bizim bu çalışmada her iki alaşım sistemi için elde edilen değerler hem teorik değerlerle hem de grafikte görülen diğer araştırmacıların (Trivedi ve Somboonsuk, 1984, Gündüz ve Çadırlı, 2002, Somboonsuk ve ark., 1984, Seetharaman ve ark., 1989, Liu ve Kirkaldy, 1993) elde ettikleri değerler ile uyum içindedir.



Şekil 5.6. SCN-%3.61 ağ. Aseton ve SCN-%2 ağ. Camphor alaşımlarında katılıştırma hızına bağlı olarak elde edilen λ_2/R değerlerinin diğer sonuçlarla karşılaştırılması.

5.5. Sonuçlar

1. Bu tez kapsamında SCN-Aseton ve SCN-Camphor ikili organik alaşım sistemleri doğrusal olarak katılıştırılarak katılıştırma parametrelerinin (G , V) mikroyapı parametreleri (λ_1 , λ_2 , R , d) üzerine etkileri incelenmiştir. Elde edilen sonuçlardan katılıştırma parametrelerinin artırılmasıyla mikroyapı parametreleri azalma eğilimi göstermiştir.
2. Birincil dendrit kolları arası mesafe hem diğer deneysel çalışmalarla (Grugel ve Zhou, 1989, Çadırlı ve ark., 1999, Taha, 1979, Dey ve Sekhar, 1993, Çadırlı ve ark., 2000) karşılaştırılmış uyum içinde olduğu görülmüş hem de teorik modellerle karşılaştırılarak Hunt modeli (Hunt, 1979), Trivedi modeli (Trivedi, 1984) ve Hunt-Lu numerik modeli (Hunt ve Lu, 1996) ile uyumlu ve bu modelleri desteklediği, ancak Kurz-Fisher modelini (Kurz ve Fisher, 1981) desteklemediği anlaşılmıştır.

- 3.** İkincil dendrit kol mesafeleri de benzer alaşım sistemleri için diğer araştırmacıların (Esaka ve Kurz, 1985, Somboonsuk ve ark., 1984, Seetharaman ve ark., 1989, Trivedi ve Mason, 1991, Çadırlı ve ark., 1999, Billia ve Trivedi, 1993) sonuçları ile benzerdir. Aynı zamanda Trivedi-Somboonsuk (1984) yaklaşımı ile uyumluluk göstermektedir.
- 4.** Dendrit uç yarıçapı için ölçülen değerler bazı araştırmacıların (Esaka ve Kurz, 1985, Langer ve Müller-Krumbhaar, 1977, Seetharaman ve ark., 1989, Trivedi ve Mason, 1991, Çadırlı ve ark., 1999) sonuçları ile oldukça yakın değerlerde ve mevcut teorik modellerle karşılaştırıldığında Kurz-Fisher modeli ve Trivedi modeli ile uyumlu ancak Hunt modeli ile uyumlu olmadığı görülmüştür.
- 5.** Yumuşak bölge derinliği ile ilgili pek teorik yaklaşım ve model bulunmamaktadır. Ancak bizim elde ettiğimiz değerler hem yapısal aşırı soğuma kriteri ile elde edilen değer ile hem de son zamanlarda Gündüz ve Çadırlı (2002)'nın Al-Cu metalik alaşım sistemleri için elde ettikleri değerlerle yakınlık içindedir.
- 6.** λ_2/R oranı bu çalışmada her iki alaşım sistemi için 2.3 ve 2.45 olarak elde edilmiştir. Bu değerler hem teorik olan 2.1 değeri ile hem de diğer araştırmacıların (Gündüz ve Çadırlı, 2002, Trivedi ve Mason, 1991, Liu ve ark., 2002) sonuçları ile uyumludur.
- 7.** VR^2 değerleri alaşım sistemine bağlı olarak çok değişik değerler alabilmektedir. Bu çalışmada SCN-Aseton alaşım sistemi için $452 \mu\text{m}^3/\text{s}$ ve SCN-Camphor alaşım sistemi için $203 \mu\text{m}^3/\text{s}$ elde edilmiştir.
- 8.** Kararlılık sabiti σ^* SCN-Aseton alaşım sistemi için 0.018, SCN-Camphor alaşım sistemi için 0.048 elde edilmiştir. SCN-Aseton için elde edilen 0.018 değeri teorik değer olan 0.020 değeri ile oldukça iyi uyum sağlamaktadır. Ancak SCN-Camphor sistemi için aynı şeyi söylemek biraz zordur. Bunun sebebi bu alaşım sisteminin fiziksel sabitlerinin çok fazla araştırmacı tarafından ölçülmemesinden kaynaklanabilir.

Sonuç olarak bu tez kapsamında ikili organik alaşım sistemleri ile yapılan doğrusal katılaşturma deneyi sonuçları hem diğer deneysel veriler, hem teorik modeller hem de nümerik modellerle karşılaştırıldığında oldukça tutarlı sonuçlar vermektedir. Yani kısaca şunu söyleyebiliriz, mikroyapı parametreleri katılaşturma parametreleri ile kontrol edilebilmektedir. Bu sonuç çok önemlidir, çünkü bu çalışılan sistem tipki metalik alaşım sistemleri gibi katılışma yapısı göstermektedir. Eğer çalışılan sistem metalik bir alaşım sistemi olsaydı, sertlik, çekme dayanımı, basma dayanımı, metal yorgunluğu vs... mekanik özellikler mikroyapı parametrelerine bağlı olduğundan bunlarında katılaşturma parametreleri ile kontrolü sağlanmış olacaktı. Bu konuda çok sayıda çalışmalar yapılmaktadır ve bu çalışmalar endüstriyel ve teknolojik olarak oldukça önemli bir yere sahiptir.

KAYNAKLAR

- Akamatsu, S., Faivre, G., Ihle, T., 1995, Symmetry-Broken Double Fingers and Seaweed Patterns in Thin-Film Directional Solidification of a Nonfaceted Cubic Crystal, Physical Review E, Vol.51, p.4751-4773.
- Askeland, D.R., 1990, The Science and Engineering of Materials, Chapman and Hall.,London, p.218-233.
- Bayender, B., Maraslı, N., Çadırı, E., Şışman, H., Gündüz, M., 1998, Solid-Liquid Surface Energy of Pivalic Acid, Journal of Crystal Growth, Vol.194(1), p.119-124.
- Beckermann, C., Wang, C.Y., 1994, Incorporating Interfacial Phenomena in Solidification Models, JOM, January, p.42-43.
- Bennett, M.J. and Brown, R.A., 1989, Cellular Dynamics During Directional Solidification: Interaction of Multiple Cells, Phys. Rev. B, Vol.39, p.11705.
- Billia, B., Trivedi R., 1993, Pattern Formation in Crystal Growth, Ed.D.T.J. Hurle, Handbook of Crystal Growth, Elsevier Science Publishers B.V.,Amsterdam, Netherlands, p.901-920.
- Billia, B., Trivedi R., 1993, Pattern Formation in Crystal Growth, Ed.D.T.J. Hurle, Handbook of Crystal Growth, Elsevier Science Publishers B.V.,Amsterdam, Netherlands, p.918-929.
- Billia, B., Trivedi R., 1993, Pattern Formation in Crystal Growth, Ed.D.T.J. Hurle, Handbook of Crystal Growth, Elsevier Science Publishers B.V.,Amsterdam, Netherlands, p.1022-1025.
- Billia, B., Trivedi R., 1993, Pattern Formation in Crystal Growth, Ed.D.T.J. Hurle, Handbook of Crystal Growth, Elsevier Science Publishers B.V.,Amsterdam, Netherlands, p.1026-1046.
- Bower, T.F., Brody, H.D., Flemings, M.C., 1966, Trans. A.I.M.E., 236, p.624.
- Burden, M.H., Hunt, J.D., 1974, Cellular and Dendritic Growth II, J. Cryst. Growth, Vol.22, p.109.
- Cattaneo, C.A., Evequoz, O.P, Bertorello, H.R., 1994, Cellular and Dendritic Solidification in Succinonitrile-Water System, Scripta Metall. , Vol.31, No: 4, p.461-466.

- Clyne, T.W., 1984, Materials Science and Engineering, Vol.65 , p.111.
- Çadırlı, E., Maraşlı, N., Bayender, B., Gündüz. M., 1999, Investigation of the Structure Parameters According to the Solidification Parameters for Pivalic Acid, Journal of Materials Science, Vol.34, p.5533-5541.
- Çadırlı, E., Maraşlı, N., Bayender, B., Gündüz. M., 2000, Dependency of the Microstructure Parameters on The Solidification Parameters for Camphene, Materials Research Bulletin, Vol.35, p.985-995.
- De Cheveigne, S., Guthman, C., M Lebrun, M., 1985, Nature of Transition of The Solidification Front of A Binary Mixture From A Planar to A Cellular Morphology, J Crystal Growth, Vol 73, p.242-244.
- Dey, N., Sekhar, J. A., 1993, Interface Configurations During The Directional Growth of Salol-I Morphology, Acta Metall, Vol 41, No:2, p.409-424.
- Dougherty, A., Gollub, J., 1988, Physical Review A, Steady-State Dendrite c Growth of NH₄Br From Solution Vol. 38, pp.3043-3046.
- Edwards, L., Endean, M., 1990, Manufacturing with Materials , The Open University Press, p.86-87.
- Elliott, R., 1983, Eutectic Solidification Processing Crystal Crystalline and Glassy Alloys , Butterworths, London, p.3.
- Elliot, R., 1983, Eutectic Solidification Processing Crystal Crystalline and Glassy Alloys, Butterworths, London, p.60-64.
- Esaka, H., Kurz, W., 1985, Columnar Dendrite Growth: Experiments on Tip Growth, Journal of Crystal Growth, Vol.72, p.578-584.
- Flemings, M.C., 1974, Solidification Processing , Mc. Graw-Hill, New York, p.74.
- Flemings, M.C., 1974, Solidification Processing , M. Graw Hill, ed. 4, p.108–150.
[Türkçesi: Başaran, M., 1976, Döküm ve Katılıştırma Tekniği , İTÜ 3.]
- Fuchs, A., H., 1982, Dedriten Morphologie, Hamburg , p.3 – 13.
- Gandin, C.H., Eshelman, M., Trivedi, R., 1996, Orientation Dependence of Primary Dendrite Arm Spacing, Metall. Trans. A, Vol.27, p.2727-2739.
- Glicksman, M.E., Singh, N.B., 1986, ASTM STP 890, ASTM. Philadelphia, pp.44-61.
- Grugel, R. N., Zhou, Y., 1989, Primary Dendrite Spacing and The Effect of Off-Axis Heat Flow, Met.Trans., Vol.20A, p.969–973.
- Gündüz M., 1984, The Measurement of the Solid-Liquid, Surface Energy, Ph.D. Thesis Oxford University, p.1-3.

- Gündüz, M., Çadırlı, E., 2002, Directional Solidification of Aluminium-Copper Alloys, Materials Science and Engineering A, Vol.327, p.167-185.
- Han, S.H., Trivedi, R., 1994, Primary Spacing selection in Directionally Solidified Alloys, Acta Metall., Vol 42, No:1, 25-41.
- Hansen, G., Liu, S., Lu, S.Z., Hellawell, A., 2002, Dendritic Array Growth in the Systems NH₄Cl-H₂O and [CH₂CN]₂-H₂O: Steady State Measurements and Analysis, Journal of Crystal Growth, Vol.243, 731-739.
- Huang, W., Geying, X., Zhou, Y., 1993, Primary Spacing Selection of Constrained Dendritic Growth, J. Of. Cryst. Growth, Vol.134, p.105–115.
- Huang, S.C., Glicksman, M.E., 1981, Fundamentals of Dendritic Solidification-I. Steady-State Tip Growth, Acta Metall., Vol.29, p.717-734.
- Hughel, T.J., Bolling, G.F., 1971, Solidification, American Society for Metals, Philadelphia, p.312-313.
- Hunt, J.D., 1979, Solidification and Casting of Metals, The Metal Society, London, p.3.
- Hunt, J.D., 1990, A Numerical Analysis of Time Dependent Isolated Dendritic Growth for Conditions Near the Steady State, Acta Metall., Vol.38, p.411.
- Hunt, J.D., 1991, A Numerical Analysis of Dendritic and Cellular Growth of a Pure Material Investigating the Transition From Array to Isolated Growth, Acta Metall., Vol.39, p.2117-2133.
- Hunt, J.D., Lu, S.-Z., 1996, Numerical Modeling/ Dendritic Array Growth: Spacing and Structure Predictions, Metallurgical and Materials Transactions A., Vol.27A, p.611-623.
- Kaplan, B., Şubat 1987, Hücresel ve Dendritik Katılışma, Yüksek Lisans Tezi , p.1 –11.
- Karma, A., Rappel, W.J., 1996, Numerical Simulation of Three-Dimensional Dendritic Growth, Phys. Rev. Lett., Vol.77, p.4050.
- Kurz, W., Fisher, D.J., 1981, Dendritic Growth and Limit of Stability Tip Radius and Spacing, Acta Metall., Vol.29, p.11-20.
- Kurz, W., Fisher, D.J., 1989, Fundamentals of Solidification, Trans Tech Publications, Aedermannsdorf, Switzerland, p.16.
- Langer, J.S., Müller-Krumbhaar, H., 1977, Theory of dendritic Growth-I. Elements of a Stability Analysis, Acta Metall., Vol.26, p.1681-1687.
- Langer, J.S., Müller-Krumbhaar, H., 1980, Sidebranching Instabilities in a Two Dimensional Model of Dendritic Solidification, Acta Metallurgica, Vol 29, pp.145-157.

- Laxmanan, V., 1985, Dendritic Solidification-I. Analysis of Current Theories and Model, *Acta Metall.*, Vol.33, p.1023-1035.
- Laxmanan, V., 1985, Dendritic Solidification-II. A Model for Dendritic Growth Under an Imposed Thermal Gradient, *Acta Metall.*, Vol.33, p.1037.
- Liu L.X. and Kirkaldy J.S., 1993, Relationship Between Free and Forced Velocity or Cellular Dendrites, *Scripta Metallurgica et Metaria*, Crystal Growth, Vol 29, p.801-806.
- Liu, L.X. and Kirkaldy, J.S., 1994, Systematic of Thin Film Cellular-Dendrites and The Cell to Dendrite Transition in Succinonitrile-Salol, Succinonitrile-Acetone, *J. Crystal Growth*, Vol 140, p.115-122.
- Liu, S., Lu, S.Z., Hellawell, A., 2002, Dendritic Array Growth in the Systems $\text{NH}_4\text{Cl}-\text{H}_2\text{O}$ and $[\text{CH}_2 \text{ CN}]_2-\text{H}_2\text{O}$: the Detachment of Dendrite Side Arms Induced by Deceleration, *Journal of Crystal Growth*, Vol 243, p.740-750.
- Makhonen, L., 2000, Spacing in Solidification of Dendritic Arrays, *Journal of Crystal Growth*, Vol.208, p.772-778.
- Maresca, M.J., Perez de Heluaneb, S., Gervasonic, J.L., Bertorello, H.R., 2002, Evaluation of the stability of free dendrites. Applications to water and succinonitrile, *International Journal of Hydrogen Energy*, HE1388, p.1-7.
- McFadden, G.B., Wheeler, A.A., Braun, R.J., Coriell, S.R., and Sekerka, R.F., 1993, *Phys. Rev. E*, Vol.48, p.2016.
- Mullins, W.W., Sekerka, R.F., 1963, Morphological Stability of a Particle Growing by Diffusion or Heat Flow , *J.App.Phys.*, p.34,323.
- Mullins, W.W., Sekerka, R.F., 1963, Morphological Stability of a Particle Growing by Diffusion or Heat Flow , *J.App.Phys.*, Vol.34, p.323-329.
- Pines, V., Zlatkowski, M. And Chait, A., 1990, Time Development of a Perturbed-Spherical Nucleus in a Pure Supercooled Liquid II. Nonlinear Development, *Phys. Rev. A*, Vol.42, p.6137.
- Porter, A.D., Easterling, K.E., 1984, Phase Transformations in Metals and Alloys, New York, p.1-17 .
- Porter, D.A., Easterling, K.E., 1984, Phase Transformations in Metals and Alloys, Van Nostrand Reinhold Co.Ltd, U.K., p.217-223.
- Porter, D.A., Easterling, K.E., 1992, Phase Transformations in Metals and Alloys, Chapman and Hall, 2nd Ed., London, p.1-11.
- Robert, M.B., Robert, B.G., Arthur, P., 1965, Structure and Properties of Alloys, , Mc Graw- Hill, New York, p.68-73.

- Rubinstein, E.R., Glicksman, M.E., 1991, Dendritic Growth Kinetics and Structure I. Pivalic Acid, *J. Crystal Growth*, Vol.112, p.84-96.
- Rutter, J.W., Chalmers, B.A., 1953, Prismatic Substructure Formed During Solidification of Metals, *Can. J. Physics*, Vol.31, p.15-39.
- Sato, By T., Kurz, W., Ikawa, K., 1987, Experiments on Dendrite Branch Detachment in The Succinonitrile-Camphor Alloy, *Transaction of Japan Institute of Metals*, Vol.28, p.1012-1021.
- Seetharaman, V., Fabietti, L.M., Trivedi, R., 1989, Dendritic Growth in The Carbon Tetra Bromide and Hexachlorethane System , *Met. Trans.* Vol.20, p.2567–2570.
- Sekerka, R.F., Seidensticker, R.G., Hamilton, D.R., 1967, Investigation of Desalination by Freezing, *Westinghouse Research Laboratory Report*, Ch.3.
- Schmidbauer, W., Wilke, T., Asmuss, W., 1993, In Situ Observation of Growth Morphologies in Systems With High Melting Temperatures, *J. Crystal Growth*, Vol.128, p.240-246.
- Singh, N.B.,Glicksman, M.E., 1989, Free Dendritic Growth in Viscous Melts: Cylohexanol, *Journal of Crystal Growth*, Vol 98, p.534-40.
- Somboonsuk, K., Mason, J.T., Trivedi, R., 1984, Interdendritic Spacings; Part1: Experimental Studies, *Metallurgical Transaction A*, Vol.15A, p.967–975.
- Taha, M.A., 1979, Some Observations on The Dendritic Morphology and Dendrite Arm Spacings, *Metall. Science*, Vol 1, p.9.
- Taha, M. A., 1979, Some Observations on The Dendritic Morphology and Dendrite Arm Spacings, *Metall Science*, Vol.9, p.9–12.
- Tewari, S.N., Shah, R., Song, H., 1994, Effect of Magnetic Field on The Microstructure, *Metall. Trans.* Vol.25A , p.1535-1544.
- Tiller, W.A., Jackson, K.A., Rutter, J.W., Chalmers, B., 1953, *Acta Metall.*, Vol.1, p.428.
- Trivedi, R., 1984, Interdendritic Spacing: Part II. A. Comparison of Theory and Experiment, *Metallurgical Transactions A*, 15A, p.977.
- Trivedi, R., Somboonsuk, K., 1984, Constrained Dendritic Growth and Spacing, *Materials Science and Engineering*, Vol.65, p.65-74.
- Trivedi, R., Somboonsuk, K., 1984, Constrained Dendritic Growth and Spacing, *Materials Science Eng.*, Vol.65, 967.
- Trivedi, R., Somboonsuk, K., 1985, Pattern Formation During The Directional Solidification of Binary Systems, *Acta Metall.*, Vol.33, No.6, p.1061-1068.

- Trivedi, R., 1990, Directional Solidification of Alloys, Principles of Solidification and Materials Processing, Ed. Trivedi, R., Sekhar, J.A., Mazumdar, J., Proceedings of Indo-US Workshops, Hyderabad, India, Vol.1, p.33-65.
- Trivedi, R., Mason, J.T., 1991, The Effect of Interface Attachment Kinetics on Solidification Interface Morphologies, Met.Trans., Vol.22A, p.235–249.
- Verhoeven, D.J., 1975, Fundamentals of Physical Metallurgy, New York., p.217-229.
- Walker, D.J., Mullis, A.M., 2001, A Mechanism for the Equalisation of Primary Spacing During Cellular and Dendritic Growth, J.Materials Science, Vol.36, p.865.
- Woodruff, D.P., 1973, The solid- liquid interface, Cambridge Solid State Science Series, London, p.21-31.

EK. 1

K-Tipi (Nikel-Krom/Nikel-Alüminyum) Termal Çiftin Uluslararası Referans Tablosu (μV), (Referans sıcaklık, $^{\circ}\text{C}$)

$^{\circ}\text{C}$	0	1	2	3	4	5	6	7	8	9
-270	-6458									
-260	-6441	-6444	-6446	-6448	-6448	-6450	-6452	-6453	-6456	-6457
-250	-6404	-6408	-6413	-6417	-6421	-6425	-6429	-6432	-6435	-6438
-240	-6344	-6351	-6358	-6364	-6371	-6377	-6382	-6388	-6394	-6399
-230	-6262	-6271	-6280	-6289	-6297	-6306	-6314	-6322	-6329	-6337
-220	-6158	-6170	-6181	-6192	-6202	-6213	-6223	-6233	-6243	-6253
-210	-6035	-6048	-6061	-6074	-6087	-6099	-6111	-6123	-6135	-6147
-200	-5891	-5907	-5922	-5936	-5951	-5965	-5980	-5994	-6007	-6021
-190	-5730	-5747	-5763	-5780	-5796	-5813	-5829	-5845	-5860	-5876
-180	-5550	-5569	-5587	-5606	-5624	-5642	-5660	-5678	-5695	-5712
-170	-5334	-5374	-5394	-5414	-5434	-5454	-5474	-5493	-5512	-5531
-160	-5141	-5163	-5185	-5207	-5228	-5249	-5271	-5292	-5313	-5333
-150	-4912	-4936	-4959	-4983	-5006	-5029	-5051	-5074	-5097	-5119
-140	-4669	-4694	-4719	-4743	-4768	-4792	-4817	-4841	-4865	-4889
-130	-4410	-4437	-4463	-4489	-4515	-4541	-4567	-4593	-4618	-4644
-120	-4138	-4166	-4193	-4221	-4248	-4276	-4303	-4330	-4357	-4384
-110	-3852	-3881	-3910	-3939	-3968	-3997	-4025	-4053	-4082	-4110
-100	-3553	-3584	-3614	-3644	-3674	-3704	-3734	-3764	-3793	-3823
-90	-3242	-3274	-3305	-3337	-3368	-3399	-3430	-3461	-3492	-3523
-80	-2920	-2953	-2985	-3018	-3050	-3083	-3115	-3147	-3179	-3211
-70	-2586	-2620	-2654	-2687	-2721	-2754	-2788	-2821	-2854	-2887
-60	-2243	-2277	-2312	-2347	-2381	-2416	-2450	-2484	-2518	-2552
-50	-1889	-1925	-1961	-1996	-2032	-2067	-2102	-2137	-2173	-2208
-40	-1527	-1563	-1600	-1636	-1673	-1709	-1745	-1781	-1817	-1853
-30	-1156	-1193	-1231	-1268	-1305	-1342	-1379	-1416	-1453	-1490
-20	-777	-816	-854	-892	-930	-968	-1005	-1043	-1081	-1118
-10	-392	-431	-469	-508	-547	-585	-624	-662	-701	-739
0	0	-39	-79	-118	-157	-197	-236	-275	-314	-353
10	397	437	477	517	557	597	637	677	718	758
20	798	838	879	919	960	1000	1041	1081	1122	1162
30	1203	1244	1285	1325	1366	1407	1448	1489	1529	1570
40	1611	1652	1693	1734	1776	1817	1858	1899	1940	1981
50	2022	2064	2105	2146	2188	2229	2270	2312	2353	2394
60	2436	2477	2519	2560	2601	2643	2684	2726	2767	2809
70	2850	2892	2933	2975	3016	3058	3100	3141	3183	3224
80	3266	3307	3349	3390	3432	3473	3515	3556	3598	3639
90	3681	3722	3764	3805	3847	3888	3930	3971	4012	4054
100	4095	4137	4178	4219	4261	4302	4343	4384	4426	4467
110	4508	4549	4590	4632	4673	4714	4755	4796	4837	4878
120	4919	4960	5001	5042	5083	5124	5164	5205	5246	5287
130	5327	5368	5409	5450	5490	5531	5571	5612	5652	5693
140	5733	5774	5814	5855	5895	5936	5976	6016	6057	6097

Ek.1 (devamı)

<i>°C</i>	0	1	2	3	4	5	6	7	8	9
150	6137	6177	6218	6258	6298	6338	6378	6419	6459	6499
160	6539	6579	6619	6659	6699	6739	6779	6819	6859	6899
170	6939	6979	7019	7059	7099	8139	7179	7219	7259	7299
180	7338	7378	7418	7458	7498	7538	7578	7618	7658	7697
190	7737	7777	7817	7857	7897	7937	7977	8017	8057	8097
200	8137	8177	8216	8256	8296	8336	8376	8416	8456	8497
210	8537	8577	8617	8657	8697	8737	8777	8817	8857	8898
220	8938	8978	9018	9058	9099	9139	9179	9220	9260	9300
230	9341	9381	9421	9462	9502	9543	9583	9624	9664	9705
240	9745	9786	9826	9867	9907	9948	9989	10029	10070	10111
250	10151	10192	10233	10274	10315	10355	10396	10437	10478	10519
260	10560	10600	10641	10682	10723	10764	10805	10846	10887	10928
270	10969	11010	11051	11093	11134	11175	11216	11257	11298	11339
280	11381	11422	11463	11504	11546	11587	11628	11669	11711	11752
290	11793	11835	11876	11918	11959	12000	12042	12083	12125	12166
300	12207	12249	12290	12332	12373	12415	12456	12498	12539	12581
310	12623	12664	12706	12747	12789	12831	12872	12914	12955	12997
320	13039	13080	13122	13164	13205	13247	13289	13331	13372	13414
330	13456	13497	13539	13581	13623	13665	13706	13748	13790	13832
340	13874	13915	13957	13999	14041	14083	14125	14167	14208	14250
350	14292	14334	14376	14418	14460	14502	14544	14586	14628	14670
360	14712	14754	14796	14838	14880	14922	14964	15006	15048	15090
370	15132	15174	15216	15258	15300	15342	15384	15426	15468	15510
380	15552	15594	15636	15679	15721	15763	15805	15847	15889	15931
390	15974	16016	16058	16100	16142	16184	16227	16269	16311	16353
400	16395	16348	16480	16522	16564	16607	16649	16691	16733	16776
410	16818	16860	16902	16945	16987	17029	17072	17114	17156	17199
420	17241	17283	17326	17368	17410	17453	17495	17537	17580	17622
430	17664	17707	17749	17792	17834	17876	17919	17961	18004	18046
440	18088	18131	18173	18216	18258	18301	18343	18385	18428	18470
450	18513	18555	18598	18640	18683	18725	18758	18810	18853	18895
460	18938	18980	19023	19065	19108	19150	19193	19235	19278	19320
470	19363	19405	19448	19490	19533	19576	19618	19661	19703	19746
480	19788	19831	19873	19916	19959	20001	20044	20086	20129	20172
490	20214	20257	20299	20342	20385	20427	20470	20512	20555	20598
500	20640	20683	20725	20768	20811	20853	20896	20938	20981	21024
510	21066	21109	21152	21194	21237	21280	21322	21365	21407	21450
520	21493	21535	21578	21621	21663	21706	21749	21791	21834	21876
530	21919	21962	22004	22047	22090	22132	22175	22218	22260	22303
540	22346	22388	22431	22473	22516	22559	22601	22644	22687	22729
550	22772	22815	22857	22900	22942	22985	23028	23070	23113	23156
560	23198	23241	23284	23326	23369	23411	23454	23497	23539	23582
570	23624	23667	23710	23752	23795	23837	23880	23923	23965	24008
580	24050	24093	24136	24178	24221	24263	24306	24348	24391	24434
590	24476	24519	24561	24604	24646	24689	24731	24774	24817	24859
600	24902	24944	24987	25029	25072	25114	25157	25199	25242	25284
610	25327	25369	25412	25454	25497	25539	25582	25624	25666	25709
620	25751	25794	25836	25879	25921	25964	26006	26048	26091	26133
630	26176	26218	26260	26303	26345	26387	26430	26472	26515	26557
640	26599	26642	26684	26726	26769	26811	26853	26896	26938	26980

Ek.1 (devamı)

<i>°C</i>	0	1	2	3	4	5	6	7	8	9
650	27022	27065	27107	27149	27192	27234	27276	27318	27361	27403
660	27445	27487	27529	27572	27614	27656	27698	27740	27783	27825
670	27867	28909	27951	27993	28035	28078	28120	28162	28204	28246
680	28288	28330	28372	28414	28456	28498	28540	28583	28625	28667
690	28709	28751	28793	28835	28877	28919	28961	29002	29044	29086
700	29128	29170	29212	29254	29296	29338	29380	29422	29464	29505
710	29547	29589	29631	29673	29715	29756	29798	29840	29882	29924
720	29965	30007	30049	30091	30132	30174	30216	30257	30299	30341
730	30383	30424	30466	30508	30549	30591	30632	30674	30716	30757
740	30799	30840	30882	30924	30965	31007	31048	31090	31131	31173
750	31214	31256	31297	31339	31380	31422	31463	31504	31546	31587
760	31629	31670	31712	31753	31794	31836	31877	31918	31960	32001
770	32042	32084	32125	32166	32107	32249	32290	32331	32372	32414
780	32455	32496	32537	32578	32619	32661	32702	32743	32784	32825
790	32866	32907	32948	32990	33031	33072	33113	33154	33195	33236
800	33277	33318	33359	33400	33441	33482	33523	33564	33604	33645
810	33686	33727	33768	33809	33850	33891	33931	33972	34013	34054
820	34095	34136	34176	34217	34258	34299	34339	34380	34421	34461
830	34502	34543	34583	34624	34665	34705	34746	34787	34827	34868
840	34909	34949	34990	35030	35071	35111	35152	35192	35233	35273
850	35314	35354	35395	35435	35476	35516	35557	35597	35637	35678
860	35718	35758	35799	35839	35880	35920	35960	36000	36041	36081
870	36121	36162	36202	36242	36282	36323	36363	36403	36443	36483
880	36524	36564	36604	36644	36684	36724	36764	36804	36844	36885
890	36925	36965	37005	37045	37085	37125	37165	37205	37245	37285
900	37325	37365	37405	37445	37484	37524	37564	37604	37644	37684
910	37724	37764	37803	37843	37883	37923	37963	38002	38042	38082
920	38122	38162	38201	38241	38281	38320	38360	38400	38439	38479
930	38519	38558	38598	38638	38677	38717	38756	38796	38836	38875
940	38915	38954	38994	39033	39073	39112	39152	39191	39231	39270
950	39310	39349	39388	39428	39467	39507	39546	39585	39625	39664
960	39703	39743	39782	39821	39861	39900	39939	39979	40018	40057
970	40096	40136	40175	40214	40253	40292	40332	40371	40410	40449
980	40488	40527	40566	40605	40645	40684	40723	40762	40801	40840
990	40879	40918	40957	40996	41035	41074	41113	41152	41191	41230
1000	41269	41308	41347	41385	41424	41463	41502	41541	41580	41619
1010	41657	41696	41735	41774	41813	41851	41891	41929	41968	42006
1020	42045	42084	42123	42161	42200	42239	42277	42316	42355	42393
1030	42432	42470	42509	42548	42586	42625	42663	42702	42740	42779
1040	42817	42856	42894	42933	42971	43010	43048	43087	43125	43164
1050	43202	43240	43279	43317	43356	43394	43432	43471	43509	43547
1060	43585	43624	43662	43700	43739	43777	43815	43853	43891	43930
1070	43968	44006	44044	44082	44121	44159	44197	44235	44273	44311
1080	44349	44387	44425	44463	44501	44539	44577	44615	44653	44691
1090	44729	44767	44805	44843	44881	44919	44957	44995	45033	45070
1100	45108	45146	45184	45222	45260	45297	45335	45373	45411	45448
1110	45486	45524	45561	45599	45637	45675	45712	45750	45787	45825
1120	45863	45900	45938	45975	46013	46041	46088	46126	46163	46201
1130	43238	46275	46313	43350	46388	46425	46463	46500	46537	46575
1140	46612	46649	46687	46724	46761	46799	46836	46873	46910	46948

Ek.1 (devamı)

<i>°C</i>	<i>0</i>	<i>1</i>	<i>2</i>	<i>3</i>	<i>4</i>	<i>5</i>	<i>6</i>	<i>7</i>	<i>8</i>	<i>9</i>
<i>1150</i>	46985	47022	47059	47096	47134	47171	47208	47245	47282	47319
<i>1160</i>	47356	47393	47430	47468	47505	47542	47579	47616	47653	47689
<i>1170</i>	47726	47763	47800	47837	47874	47911	47948	47985	48021	48058
<i>1180</i>	48095	48132	48169	48205	48242	48279	48316	48352	48389	48426
<i>1190</i>	48462	48499	48536	48572	48609	48645	48682	48718	48755	48792
<i>1200</i>	48828	48865	48901	48937	48974	49010	49047	49083	49120	49156
<i>1210</i>	49192	49229	49265	49301	49338	49374	49410	49446	49483	49519
<i>1220</i>	49555	49591	49627	49663	49700	49736	49772	49808	49844	49880
<i>1230</i>	49916	49952	49988	50024	50060	50096	50132	50168	50204	50240
<i>1240</i>	50276	50311	50347	50383	50419	50455	50491	50526	50562	50598
<i>1250</i>	50633	50669	50705	50741	50776	50812	50847	50883	50919	50954
<i>1260</i>	50990	51025	51061	51096	51132	51167	51203	51238	51274	51309
<i>1270</i>	51344	51380	51415	51450	51486	51521	51556	51592	51627	51662
<i>1280</i>	51697	51733	51768	51803	51838	51873	51908	51943	51979	52014
<i>1290</i>	52049	52084	52119	52154	52189	52224	52259	52294	52329	52364
<i>1300</i>	52398	52433	52468	52503	52538	52573	52608	52642	52677	52712
<i>1310</i>	52747	52781	52816	52851	52886	52920	52955	52989	53024	53059
<i>1320</i>	53093	53128	53162	53197	53232	53266	53301	53335	53370	53404
<i>1330</i>	53439	53473	53507	53542	53576	53611	53645	53679	53714	53748
<i>1340</i>	53782	53817	53851	53885	53920	53954	53988	54022	54057	54091
<i>1350</i>	54125	54159	54193	54228	54262	54296	54330	54364	54398	54432
<i>1360</i>	54466	54501	54535	54569	54603	54637	54671	54705	54739	54773
<i>1370</i>	54807	54841	54875							